

۳۶



جمهوری اسلامی ایران

وزارت معادن و فلزات

گزارش نهایی

طرح اکتشاف مقدماتی خاک صنعتی

نگار من

مجری

اداره کل معادن و فلزات استان سمنان

مشاور

شرکت معدن نگار نوبن

کتابخانه ملی اسناد و

اکتشاف معدن نگار

کتابخانه

تاریخ:

شماره پیش

۱۰۹۳۲

اسفند ۱۳۷۸



پیشگفتار

بر اساس قرارداد منعقده بین اداره کل معدن و فلزات استان سمنان و شرکت معدن نگار نوین به شماره ۷۸/۹/۲۵ با عنوان طرح اکتشاف مقدماتی خاک صنعتی نکارمن ، عملیات اکتشافی در محدوده تعیین شده آغاز گردید .

مسئولیت اجرایی این پژوهه به عهده آقایان مهندس مهدی دهقان و مهندس رضا قوامی و مسئولیت فنی پژوهه به عهده آقای مهندس رضا قوامی بوده است . در این راستا از همکاریهای آقایان مهندسین محمد تقی رحیم اف و مهران سیف‌هاشمی در مراحل مختلف عملیات صحرایی برخوردار بوده ایم . جناب آقای مهندس عزیزا... طاهری در مراحل مختلف مطالعات زمین شناسی ، چینه شناسی و مطالعه مقاطع میکروسکوپی رسوبی و مهندس حسین قوامی مطالعه مقاطع میکروسکوپی آذین منطقه مورد مطالعه را به عهده داشته اند . آقای ابوالفضل اکبری در تایپ متن گزارش همکاری بی شایه‌ای داشته اند . در ضمن لازم است که از همکاریها و راهنمایی‌های ارزشمند آقای مهندس مس فروش مدیر کل محترم ، آقای مهندس استشاره معاونت محترم ، آقای مهندس هاشمی مدیر محترم بخش اکتشاف و دیگر بزرگواران اداره اکتشاف و امور مالی اداره کل معدن و فلزات استان سمنان تشکر و قدردانی به عمل آید . امیدواریم که انجام این پژوهش ، آغازی بر انجام خدمات گستره‌تر نیروهای متعدد و متخصص دانشگاهی در عرصه‌های سازندگی میهن اسلامیمان باشد .

شرکت معدن نگار نوین

فهرست مطالب

صفحه

عنوان

فصل اول : کلیاتی راجع به منطقه مورد مطالعه

۱	موقعیت جغرافیایی منطقه
۲	رااههای دسترسی به منطقه
۴	اقلیم منطقه
۵	جمعیت و اشتغال
۸	وضعیت آبهای سطحی و زیرزمینی منطقه

فصل دوم : کلیاتی در خصوص موقعیت زمین شناسی ، چینه شناسی ،

تکتونیک منطقه مورد مطالعه

۱۱	۱-۲ مقدمه
۱۱	۲- موقعیت زمین شناسی عمومی منطقه
۱۴	۳- شرح واحدهای لیتوگرافی منطقه
۲۳	۴- زمین شناسی ساختمانی و تکتونیک منطقه
۲۵	۵- نیروهای وارد بر سازندها

صفحه	عنوان
------	-------

۲۵ ۱-۵-۲ نیروهای وارد بر عضو پنج میلا (طاقدیس آب استاش)

۲۷ ۲-۵-۲ نیروهای وارد بر عضو پنج میلا سازند سلطان میدان

۲۸ ۳-۵-۲ نیروهای وارد بر عضو پنج میلا سازند خوش بیلاق

۲۹ ۴-۶ بررسی نمودار خطوط تراز

فصل سوم : شرح عملیات صحرایی

۳۴ ۱-۳ مقدمه

۳۵ ۲-۳ شرح عملیات صحرایی دره اطراف ابرسج

۴۳ ۳-۳ شرح عملیات صحرایی دره آب استاش

۵۱ ۴-۳ شرح عملیات صحرایی دره اطراف نکارمن

فصل چهارم : مطالعات پترولوزی و پتروگرافی

۶۴ ۱-۴ مطالعه مقاطع رسوی

۶۴ ۱-۱-۴ مقدمه

۶۴ ۲-۱-۴ نتایج مطالعه مقاطع رسوی

صفحه	عنوان
۷۱	۴-۲ مطالعه مقاطع آذرین
۷۳	۴-۳ بررسی ژئوشیمیایی نمونه آذرین Nak ₁₇
فصل پنجم : تحلیل ژئوشیمیایی اطلاعات منطقه مورد مطالعه	
۷۸	۱-۵ مقدمه
۷۸	۲-۵ تخمین مقادیر سنسورد
۷۹	۳-۵ جذایش جوامع همگن
۸۰	۴-۵ روش بررسی هاله های مرکب
۸۲	۵-۵ تجزیه و تحلیل ژئوشیمیایی آماری خاکهای سخ منطقه
۸۲	۱-۵-۵ روش بررسی هاله های مرکب
۸۳	۲-۵-۵ روشهای تخمین مقدار زمینه و حد آستانه ای
۸۵	۳-۵-۵ توصیف تجربی نتایج آنالیزهای XRF و XRD
۸۹	۴-۵-۵ روش $\bar{X} + 2S$
۹۱	۵-۵-۵ روش آنالیز فاکتوری
۹۴	۶-۵ تجزیه و تحلیل ژئوشیمیایی آماری ماسه سنگهای سیلیسی منطقه

صفحه	عنوان
۹۴	۵-۶-۱ روش بررسی هاله های مرکب
۹۵	۵-۶-۲ روش های تخمین مقدار زمینه و حد آستانه ای
۹۶	۵-۶-۳ توصیف تجربی نتایج آنالیزهای XRD و XRF
۹۷	۵-۶-۴ روش $\bar{X} + 2S$
۱۰۱	۵-۶-۵ روش آنالیز فاکتوری

فصل ششم : تخمین ذخیره منطقه مورد مطالعه

۱۰۵	۱-۶ مقدمه
۱۰۷	۲-۶ محاسبه ذخیره واحدهای سیلیسی
۱۰۸	۱-۲-۶ محاسبه ذخیره ماسه سنگی نزدیک روستای ابرسج
۱۰۹	۲-۶ محاسبه ذخیره واحد ماسه سنگی نزدیک روستای نکارمن (شمال شرق نکارمن)
۱۱۰	۳-۶ محاسبه ذخیره واحد ماسه سنگی خوش یلاق - دره ابرسج
۱۱۰	۱-۳-۶ ممبر ۱ خوش یلاق
۱۱۰	۲-۳-۶ ممبر ۴ خوش یلاق

عنوان

صفحه

- ۱۱۱ ۴-۲- ذخیره ماسه سنگی نزدیک مزرعه کلانه
- ۱۱۲ ۶-۳- محاسبه ذخیره خاک سرخ (خاک رس ؟) موجود در منطقه
- ۱۱۳ ۶-۳-۱- محاسبه ذخیره خاک سرخ تپه های غرب روستای نکارمن
- ۱۱۴ ۶-۳-۲- محاسبه ذخیره خاک سرخ نزدیک مزرعه کلانه

فصل هفتم: کلیاتی در خصوص خاکهای صنعتی

- ۱۱۵ ۱-۷- مقدمه
- ۱۱۶ ۲-۷- تعریف خاک صنعتی
- ۱۱۷ ۳-۷- کائولن
- ۱۱۸ ۴-۷- بوکسیت
- ۱۱۹ ۵-۷- بتونیت
- ۱۲۰ ۶-۷- سیلیس
- ۱۲۱ ۱-۶- کانسارهای سیلیسی رسوی یا کوارتز آرناتیت ها (Quartz Arenates)
- ۱۲۲ ۲-۶-۱- کانسارهای آدرین
- ۱۲۳ ۳-۶-۲- کانسارهای دگرگونی

صفحه	عنوان
۱۲۷	۴-۶-۴ کانسارهای پگماتیتی (Pegmatitic Ores)
۱۲۷	۵-۶-۵ کانسارهای هیدرو ترمال (Hydrothermal Ores)
۱۲۸	۶-۶-۶ کانسارهای سیلیسی از خاستگاه دگرسانی
۱۲۸	۷-۶-۷ ذخایر پلاسرب (Palaser Deposites)
۱۲۹	۷-۷-۷ ذخایر سیلیس در ایران
۱۳۰	۱-۷-۷ کانسارهای رسوی

فصل هشتم : پتانسیل های موجود در منطقه

۱۳۵	۱-۸ مقدمه
۱۳۶	۲-۸ ماسه سنگهای سیلیسی
۱۳۷	۳-۸ خاک سرخ
۱۳۹	۴-۸ ولکانیکهای بازیک - حدواست

فصل نهم : نتیجه گیری و پیشنهادات

۱۴۲	۱-۹ نتیجه گیری
۱۴۵	۲-۹ پیشنهادات

عنوان

صفحه

پیوست یک : گزارش زمین شناسی و تکتونیک نقشه منطقه

۱۴۸ مقدمه

۱۴۸ گزارش نقشه زمین شناسی منطقه

۱۵۱ گزارش تکتونیک نقشه

پیوست دو : نتایج آنالیز XRD و XRF نمونه ها

۱۵۵ منابع و مراجع

فهرست جداول

عنوان	صفحه
جدول ۱-۱ وضعیت میانگین دما ، بارندگی و رطوبت نسبی مناطق اطراف شهرود ۵	
جدول ۲-۱ آمار سر شماری سال ۱۳۶۵ شهرستان شهرود ۶	
جدول ۳-۱ جمعیت فعال ۱۰ ساله و بیشتر شهرستان شهرود در سال ۱۳۷۰ و ۱۳۷۵ ۶	
جدول ۴-۱ افراد جویای کار و به کار گمارده شده در شهرستان شهرود - برآورد سال ۱۳۷۷ ۷	
جدول ۵-۱ وضعیت اشتغال در روستاهای نکارمن و ابرسج در تابستان ۷	
جدول ۶-۱ افراد جویای کار شهرستان شهرود بر حسب گروه سنی ۸	
جدول ۷-۱ شب و امدادهای برداشت شده از درزه و شکافهای طاقدیس آب استاش - مزرعه کلاته ۲۶	
جدول ۷-۲ مختصات شکستگیهای موجود در سنگهای آتشفسانی سلطان میدان ۲۸	
جدول ۸-۲ مختصات شکستگیهای سازند خوش بیلاق ۳۰	
جدول ۹-۵ ماتریس همبستگی بین عناصر در هفت نمونه برداشته شده از خاکهای سرخ منطقه نکارمن - ابرسج . هرچقدر دترمینان ماتریس همبستگی کوچکتر باشد ، انجام تحلیل فاکتوری معتبرتر است ۸۳	

عنوان

صفحه

جدول ۲-۵ آنالیز XRF نمونه برداشته شده از خاکهای قرمز - قهوه ای منطقه

۸۵ مورد مطالعه

جدول ۳-۵ نتایج آنالیز شیمیابی رس های آباده ، لالجین و دامنه تغییرات مواد رسی به

۸۶ عنوان نسوز (قربانی) - منصور و ارزانی - کاوه ، ۱۶ - (۱۳۷۳)

جدول ۴-۵ آنالیز بوکسیت Cap Baugainville استرالیا

جدول ۵-۵ ترکیب شیمیابی برخی از معادن بتونیت ایران (کریم پور ، ۱۳۷۳

۸۷ - حجازی ، ۱۳۷۳)

جدول ۶-۵ داده های سه فاکتور جامع آماری خاک سرخ

جدول ۷-۵ مقادیر میانگین ، انحراف معيار از سایر پارامترهای آماری خاک سرخ

۹۰ نکارمن - ابرسج

جدول ۸-۵ انواع آنومالی های جوامع سه گانه که توسط روش $\bar{X} + 2S$ بدست

۹۱ آمده اند

جدول ۹-۵ نتایج آنالیز مؤلفه های اصلی (PCI) بر روی نمونه های برداشته شده از

۹۲ خاکهای سرخ

جدول ۱۰-۵ تفکیک ترکیبات آنالیزهای شیمیابی نمونه های منطقه نکارمن - ابرسج به

۹۲ سه فاکتور

صفحه	عنوان
۹۳	جدول ۱۱-۵ ماتریس نتایج آنالیز فاکتوری
۹۳	جدول ۱۲-۵ نتایج نهایی روش آنالیز فاکتوری
۹۴	جدول ۱۳-۵ ماتریس همبستگی بین عناصر در هفت نمونه برداشته شده از ماسه سنگهای سیلیسی منطقه نکارمن - ابرسچ
۹۶	جدول ۱۴-۵ نتایج آنالیز XRF واحدهای ماسه سنگ سیلیسی منطقه مورد مطالعه
۹۷	جدول ۱۵-۵ طبقه بندی ماسه سنگهای سیلیسی منطقه به چهار گروه با توجه به عیار SiO ₂
۹۸	جدول ۱۶-۵ داده های سه فاکتور جامعه آماری ماسه سنگهای سیلیسی
۹۸	جدول ۱۷-۵ مقدار میانگین ، انحراف معیار و سایر پارامترهای آماری ماسه سنگ سیلیسی نکارمن - ابرسچ
۹۹	جدول ۱۸-۵ انواع آنومالی های جوامع چهارگانه که توسط روش $\bar{X} + 2S$ بدست آمده اند
۱۰۰	جدول ۱۹-۵ ماتریس اولیه آنالیز ویژگی
۱۰۰	جدول ۲۰-۵ نتایج آنالیز ویژگی
۱۰۱	جدول ۲۱-۵ نتایج آنالیز مؤلفه های اصلی (PCI) بر روی نمونه های برداشته شده از ماسه سنگهای سیلیسی

عنوان

صفحه

جدول ۲۲-۵ تکییک ترکیبات آنالیزهای شیمیایی نمونه های نکارمن - ابر سج به	صفحه
۱۰۲ دو فاکتور	عنوان
جدول ۲۳-۵ نتایج آنالیز فاکتوری	۱۰۲
جدول ۲۴-۵ نتایج نهایی روش آنالیز فاکتوری	۱۰۳
جدول ۱-۶ نتایج تعیین عیار نمونه های ماسه سنگ سیلیسی منطقه مورد	۱۰۸
جدول ۲-۶ نتایج محاسبه ذخیره واحدهای ماسه سنگی منطقه مورد مطالعه	۱۱۲
جدول ۳-۶ درصد آلومینا و سیلیس خاکهای قرمز - قهوه ای منطقه مورد مطالعه	۱۱۳
جدول ۴-۶ نتایج محاسبه ذخیره خاکهای قرمز - قهوه ای موجود در	۱۱۴
جدول ۱-۷ برخی از عمدۀ ترین شرایط اقتصادی بودن بوکسیت	۱۲۳
جدول ۲-۷ دو مثال از ذخایر بوکسیت اقتصادی در استرالیا و غنا	۱۲۴
جدول ۳-۷ ترکیب شیمیایی سیلیس مصرفی در صنایع مختلف کشور	۱۳۳
جدول ۱-۸ نتایج آنالیز XRF واحدهای ماسه سنگ سیلیسی منطقه مورد مطالعه	۱۳۶
جدول ۲-۸ نتایج آنالیز XRD واحدهای ماسه سنگ سیلیسی منطقه	۱۳۷
مورد مطالعه

صفحه	عنوان
جدول ۳-۸ آنالیز XRF نمونه های برداشت شده از خاکهای قرمز - قهوه ای منطقه ۱۳۸	مورد مطالعه
جدول ۴-۸ آنالیز XRD نمونه های خاک سرخ منطقه ۱۳۹	
جدول ۵-۸ آنالیز XRF نمونه Nak_{17} ولکانیکهای منطقه نکارمن - ابرسج ۱۴۰	
جدول ۶-۸ آنالیز XRD نمونه Nak_{17} ولکانیکهای منطقه نکارمن - ابرسج ۱۴۰	
جدول پ - ۱-۲ نتایج XRD کلیه نمونه های برداشت شده از منطقه ۱۵۳	
جدول پ - ۲-۲ نتایج XRF کلیه نمونه های برداشت شده از منطقه ۱۵۴	

فهرست اشکال

عنوان	صفحة
شکل ۱-۱ راههای دسترسی به منطقه از دو مسیر A و B	۳
شکل ۱-۲ تقسیم بندی ساختمانی ایران - اقتباس از اشتولکلین و روتنر	۱۲
شکل ۲-۱ رسوبات اردویسین زیرین حاوی ایگنوفسیل کروزیانا - روستای نکارمن	۱۵
شکل ۲-۲ رسوبات اردویسین پالئو دیکتیون در رسوبات اردویسین روستای نکارمن	۱۶
شکل ۴-۲ ایگنو فسیل احتمالی پالئوفیکوس در رسوبات اردویسین روستای نکارمن	۱۷
شکل ۵-۲ رسوبات اردویسین حاوی ایگنوفسیل فراوان (زیست آشفتگی شدید)	۱۷
شکل ۶-۲ آهکهای حاوی تانتاکولیتس، ساقه کرینوئید و قطعات مختلف تریلویت متعلق به ممبر ۴ خوش بیلاق (دونین بالابی) در دره ابرسج	۱۹
شکل ۷-۲ آهکهای بریوزوئردار (فسستلا) و برآکیوپود دار (پرودوکتیدا) به سن کربونیفر زیرین، سازند مبارک - شمال نکارمن	۲۰
شکل ۸-۲ آهک کلارایا دار الیکا به سن تریاس زیرین - میانی، نکارمن - ابرسج	۲۱
شکل ۹-۲ نیروهای وارد بر عضو ۵ سازند میلا - دره مزرعه کلاته	۲۷

عنوان	صفحة
شکل ۱۰-۲ نیروهای وارد بر ولکانیکهای سلطان میدان	۲۹
شکل ۱۱-۲ نیروهای وارد بر ولکانیکهای خوش بیلاق	۳۰
شکل ۱۳ آهکهای حاوی دو کفه ای کلاریا در سازند الیکا - بخش شرقی دره روستای ابرسج	۳۶
شکل ۲-۳ کن tact بین اسپلیت‌های سلطان میدان با خوش بیلاق در شروع دره ابرسج	۳۷
شکل ۳-۳ گسترش ممبر ۳ خوش بیلاق در امتداد ۱۲۰ درجه دره ابرسج	۳۸
شکل ۴-۳ فسیل های تریلویت (احتمالاً استروبیٹ)، تاتاکولیتس و اسپریفر در ممبر ۴ سازند خوش بیلاق - دونین میانی - بالایی - دره ابرسج	۳۹
شکل ۵-۳ نیمرخ ترسیم شده از پروفیل 'BB' به همراه جانمایی نمونه های برداشت شده در رودخانه ابرسج	۴۱
شکل ۶-۳ تصویری از ترانشه T ₁ بر روی واریزه های ماسه سنگ کواترز آرنایتی عدسی شکل در امتداد ۲۹۵°-نzdیک روستای ابرسج در عرض جغرافیایی " ۱۵ ۳۶° و طول جغرافیایی " ۴۵ ۵۴°	۴۲
شکل ۷-۳ مقطع ترانشه T ₁ و جانمایی نمونه برداریهای انجام شده در راستای ۲۹۵°-نzdیک روستای ابرسج در موقعیت عرض جغرافیایی " ۱۵ ۳۶° و طول جغرافیایی " ۴۵ ۵۴°	۴۴

عنوان	صفحه
شکل ۸-۳ مقطع طاقدیس آب استاش	۴۵
شکل ۱۰-۳ گسترش واحد خاک قرمز - قهوه ای و باند ماسه سنگ سفید رنگ کوارتز آرنایتی در نزدیک مزرعه کلاته به سمت روستای نکارمن - آزمیوت امتداد عکس	۴۶
درجه ۳۲۰	
شکل ۹-۳ نیمrix پروفیل 'CC در دره آب استاش - بالای مزرعه کلاته	۴۸
شکل ۱۱-۳ تصویری از ترانشه T_2 در راستای 330° واقع در نزدیک مزرعه کلاته به سمت روستای نکارمن بر روی افق خاک قرمز - قهوه ای	۴۹
شکل ۱۲-۳ نیمrix ترانشه T_2 در راستای 330° به همراه جانمایی و نمونه برداریهای آنها	۵۰
شده نزدیک مزرعه کلاته به سمت روستای نکارمن	
شکل ۱۳-۳ گسترش رخمنون ماسه سنگ سفید رنگ کوارتز آرنایت در محل ترانشه T_3 و راستای 320° - نزدیک مزرعه کلانه به سمت روستای نکارمن	۵۱
شکل ۱۴-۳ ترانشه T_3 در راستای 320° نکارمن به همراه جانمایی نمونه برداریهای نزدیک مزرعه کلاته به سمت روستای نکارمن	۵۲
شکل ۱۵-۳ تصویری از گسترش دو باند خاک سرخ در تپه های قسمت جنوبی قبل از روستای نکارمن - آزمیوت امتداد عکس	۱۶۵ ^۰
شکل ۱۶-۳ گسترش رسوبات پرمین در شمال نکارمن - آزمیوت امتداد 110°	۵۴

عنوان

صفحه

شکل ۱۷-۳ آهکهای فسیل دار رسوبات پرمین انکوئید و شواگرینا دار ۵۴

شکل ۱۸-۳ نمونه هایی از فسیلهای مرجان، برآکیوپود متعلق به راسته ارتیدا، ارکوگاستروپودا و بخشهایی از تریلوپیت تشکیلات اردوبیسین میانی - بالایی، شمال روستای نکارمن ۵۵

شکل ۱۹-۳ پانوراما می از کنتاکت بین اردوبیسین - سیلورین - دونین در موقعیت جغرافیایی ۵۶

شکل ۲۰-۳ تصویر پانوراما می از شیل های ارغوانی، ماسه سنگ سفید رنگ کواترز آرنایتی و رسوبات کربونیفر در راستای ۱۲۵° تا ۲۴۵° نزدیک روستای نکارمن ۵۷

شکل ۲۱-۳ تصویر پروفیل 'AA' نزدیک روستای نکارمن ۵۹

شکل ۲۲-۳ تصویری از ترانشه T_4 ، دره شمالی نزدیک روستای نکارمن - آزمود امتداد تهیه عکس ۸ درجه ۶۰

شکل ۲۳-۳ مقطع ترانشه T_4 در راستای $(۵-۱۰)^{\circ}$ ۶۲

شکل ۲۴-۱ قطعات اسکلتی کربنئید، برآکیوپود و شواگرینا در بایوکلاستیک گرینستون (دانهام) - بایوسپاریت (فولک) ۶۵

شکل ۲۴-۲ تصویر مقطع میکروسکوپی آهک نازک لایه فسیل دار میکراتی سازند مبارک در نور پلاریزه نمونه Nak₁₃ دره نکارمن ۶۶

شکل ۳-۴ تصویر مقطع میکروسکوپی آهک فسیل دار په های نزدیک روستای ابرسج به

سمت مزرعه کلاته در نور پلاریزه - نمونه Nak_{18.2} ۶۷

شکل ۴-۴ تصویر مقطع میکروسکوپی در نور پلاریزه ماسه سنگ متوسط دانه ساب لیت

آرنایت نمونه Nak₁₁ - دره نکارمن ۶۸

شکل ۴-۵ تصویر مقطع میکروسکوپی در نور پلاریزه ماسه سنگ کوارتز آرنایت با بافت

ساب مچور تا مچور نمونه Nak₂₇ - دره آب استاش ۶۹

شکل ۴-۶ تصویر مقطع میکروسکوپی در نور پلاریزه سندي بايوکلاستيک پکستون

(دانهام) و سندي بايو ميكرايت (فولك) متعلق به سازند خوش يلاق - مقاطع Nak_{18.1} و

نمونه Nak_{18.3} - نزدیک روستای ابرسج به سمت مزرعه کلاته ۷۰

شکل ۴-۷ تصویر مقطع میکروسکوپی در نور پلاریزه ليتیک آرنایت بصورت ايمچور حاوي

قطعات ولکانيکي و آهکي متعلق به ممبر ۳ خوش يلاق - نمونه Nak₁₅ - دره ابرسج ۷۱

شکل ۴-۸ کانی های تشکیل دهنده سنگ عبارتند از : پلازیو کلاز + هورنبلند + کلریت +

کانی های اپاک ، نام سنگ آندزیت ۷۲

شکل ۴-۹ کانی های تشکیل دهنده سنگ عبارتند از : پلازیو کلاز + پیروکسن + کانی های

اپاک + الیوین تجزیه شده ، نام سنگ بازالت ۷۲

شکل ۴-۱۰ طبقه بندی ژئو شیمیایی نمونه Nak₁₇ منطقه ابرسج (میدل موست

۷۴ (۱۹۸۰)

صفحة	عنوان
٧٥	شکل ۱۱-۴ نمودار نامگذاری نمونه سنگ آتشفشنای Nak_{17} و تعیین سری ماقمابی آن - منطقه ابرسج (کوکس ۱۹۷۹)
٧٥	شکل ۱۲-۴ نمودار تفکیک سنگهای آذرین آلکالن سدیک از پتاسیک نمونه Nak_{17} منطقه ابرسج
٨١	شکل ۱-۵ نمودار خوشه ای کلیه نمونه های منطقه نکارمن - ابرسج
٨٣	شکل ۲-۵ نمودار خوشه ای ۷ نمونه برداشته شده از خاکهای سرخ منطقه نکارمن - ابرسج
٨٧	شکل ۳-۵ دیاگرام مثلثی $Al_2O_3 - Fe_2O_3 - SiO_2$ خاکهای قرمز - قهوه ای منطقه مورد مطالعه
٩٥	شکل ۴-۵ نمودار خوشه ای ۷ نمونه برداشته شده از ماسه سنگهای سیلیسی منطقه نکارمن - ابرسج
۱۳۲	شکل ۱-۷ مناطق هشتگانه ذخایر سیلیس بررسی شده در ایران

چکیده

گزارش حاضر بر اساس قرارداد منعقده بین اداره کل معدن و فلزات استان سمنان و

شرکت معدن نگار نوین تهیه شده است. چکیده فصول گزارش مذکور به شرح زیر است:

در فصل اول کلیاتی راجع به منطقه مورد مطالعه آورده شده است. فصل دوم به بررسی

زمین شناسی عمومی و چینه شناسی منطقه اختصاص دارد. شرح چگونگی انجام عملیات

صرحایی در فصل سوم ارائه شده است. نتایج آنالیز های XRD و XRF نمونه های برداشت

شده از منطقه در فصل پنجم مورد تجزیه و تحلیل قرار گرفته است. برآورد ذخیره مواد معدنی

موجود در منطقه در فصل ششم صورت پذیرفته است. کلیاتی در خصوص خاک صنعتی در

فصل هفتم ذکر شده است و پتانسیل های معدنی موجود در منطقه مورد مطالعه و نتایج

آنالیز های XRD و XRF نمونه های برداشت شده از آنها در فصل هشتم آورده شده اند. جمع

بندی نتایج مطالعات و پیشنهاداتی چهت بررسی اداره کل در فصل نهم ذکر شده است. گزارش

زمین شناسی و تکتونیک نقشه منطقه مورد مطالعه در پیوست یک و نتایج آنالیز XRD و XRF

کلیه نمونه ها در پیوست دو ارائه گردیده اند.

شرکت معدن نگار نوین

۲۵

مکالمہ

فصل اول

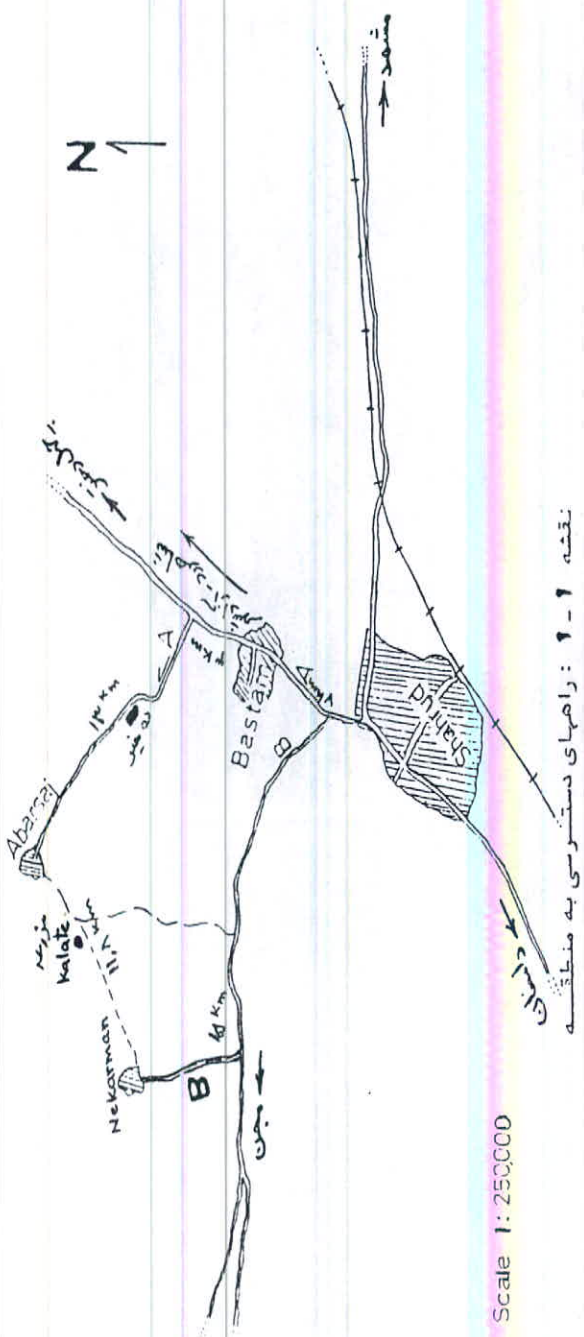
کلیاتی راجح بہ منطقہ مورد مطالعہ

۱-۱ موقعیت جغرافیایی منطقه

منطقه مورد مطالعه جزء شهرستان شاهروд، بخش مرکزی، شهر بسطام، دهستان خرقان محسوب می‌گردد و در شمال غرب شهرستان شاهرود، بین روستای نکارمن و ابرسج واقع شده است. از نظر جغرافیایی بین طولهای جغرافیایی 50° ، 54° و $55/5^{\circ}$ و عرضهای جغرافیایی 32° ، 36° و 37° و 36° واقع و از میانگین ارتفاع ۱۸۳۵ متر در ابرسج تا ۲۲۶۴ متر در نکارمن از سطح دریا برخوردار است.

۱-۲ راههای دسترسی به منطقه

به منظور دسترسی به منطقه از دو مسیر A و B مطابق شکل ۱-۱ می‌توان استفاده کرد.



شکل ۱-۱ راههای دسترسی به منطقه از دو مسیر A و B

مسیر A : یکی از راههای دسترسی به منطقه از طریق طی ۱۰ کیلومتر جاده اصلی شاهروд به آزادشهر و پیمودن ۱۳ کیلومتر جاده فرعی مسیر روستای ابرسج که از سمت غرب جاده اصلی منشعب می شود . در طی مسیر فرعی روستای ابرسج از روستای ده خیر عبور می کنیم .

مسیر B : بعد از طی ۱/۲ کیلومتر از مسیر جاده اصلی شاهرود - آزادشهر از سمت غرب از جاده اصلی جدا شده و با پیمودن ۱۸ کیلومتر (جاده مجن) راه آسفالتی به نکارمن می رسیم .

در حدفاصل دو روستای نکارمن و ابرسج نیز حدود ۱۲ کیلومتر جاده خاکی وجود دارد که از مزرعه کلاته نیز عبور می کند .

۱-۳ اقلیم منطقه

بطور کلی نواحی شمال شهرستان شاهرود از آب و هوای نسبتاً سرد و خشک ، قسمت مرکزی و نواحی شرقی آن از آب و هوایی معتدل و بخش جنوبی که در مجاورت کویر است از آب و هوای نسبتاً گرم و خشک برخوردارند .

منطقه ابرسج و نکارمن با توجه به دامنه های کوهستانی دارای اقلیم کوهستانی است و با توجه به مرتفع بودن منطقه نسبت به اطراف دارای زمستانهای سرد و تابستانهای معتدل می باشد . فصل زمستان منطقه زود رس و طولانی تر است که گاهها تا اواخر بهار و حتی اوایل تابستان نیز ادامه می یابد .

وضعیت میانگین دما ، بارندگی و رطوبت نسبی مناطق اطراف شاهروд در جدول ۱-۱

آورده شده است .

جدول ۱-۱ وضعیت میانگین دما ، بارندگی و رطوبت نسبی مناطق اطراف شاهرود

میانگین بارندگی	میانگین حداکثر دما	میانگین حداقل دما	متوسط دما	میانگین دما
%۴۹/۹	۱۷۸/۱ میلیمتر	۱۴/۳ درجه سانتیگراد	-۳/۹ درجه سانتیگراد	۳۴/۳ درجه سانتیگراد

در منطقه مورد مطالعه به دلیل برف گیر بودن قلل ، دمای نسبی هوا در تابستان پاییزتر

است و سبب دیر رس بودن میوه های باغات منطقه می گردد . البته بارندگی های شدید

تابستانی هم در منطقه دیده شده است .

به لحاظ پوشش گیاهی در دشت گیاهان کوتاه قد و خاردار مانند کتیرا (پوشش استپ

ییابانی) و در کوهستان بیشتر درختچه است . در مسیر رودخانه ابرسج ، آب استاش و نکارمن به

دلیل وجود چشمه های نسبتاً دائمی و فراوان آب درختان میوه و باغات (سیب ، گیلاس ، آبلالو ،

زرآلو و ...) ملاحظه می شوند .

۴-۱ جمعیت و اشتغال

بر اساس سرشماری انجام شده در سال ۱۳۶۵ وضعیت جمعیت شهرستان شاهرود در

جدول ۲-۱ آورده شده است .

جدول ۲-۱ آمار سرشماری سال ۱۳۶۵ شهرستان شاهروود

درصد با سواد	ساکنین نقاط روستایی	تعداد مرد	تراکم	تعداد (نفر)	تعداد (خانوار)	سرشماری مرکز آمار ۱۳۶۵
۶۶/۹ درصد	۹۲۶۷۳	۹۳۲۴۸	۳/۵ درصد	۱۸۳۸۲۳	۳۸۵۵۱	شاهروود

وضعیت جمعیت فعال ۱۰ ساله و بیشتر شهرستان شاهروود در سال ۱۳۷۰ و ۱۳۷۵ در

جدول ۳-۱ آورده شده است.

جدول ۳-۱ جمعیت فعال ۱۰ ساله و بیشتر شهرستان شاهروود در سال ۱۳۷۰ و ۱۳۷۵

سال ۱۳۷۵		سال ۱۳۷۰		سال	تعداد و درصد
درصد		درصد		جمع کل	
۱۰۰	۴۱۶۵۶	۱۰۰	۳۱۱۵۷		
۹۸/۸	۳۷۴۰۷	۹۰/۶	۲۸۲۳۷	مرد	

افراد جویای کار و بکار گمارده شده استان در شهرستان شاهروود به تفکیک بخش‌های

اقتصادی و جنس - برآورد سال ۱۳۷۷ مطابق جدول ۱-۴ می باشد که در مجموع ۸۰٪ جمعیت

را افراد جویای کار تشکیل می دهد که از میان افراد بکار گمارده شده بخش اعظم آنها در

کارهای خدماتی سپس صنعتی و نهایتاً بخش جزئی در کشاورزی مشغول بکار شده اند.

جدول ۱-۴ افراد جویای کار و بکار گمارده شده در شهرستان شاهروود-برآورد سال ۱۳۷۶

افراد بکار گمارده شده								افراد جویای کار		
خدمات	کشاورزی	کشاورزی	صنعت	تعاونی	خصوصی	دولتی	مرد	جمع	مرد	جمع
۱۰۸	۵	۸۷	۲	۱۱۸	۸۰	۱۴۷	۲۰۰	۴۴۱	۷۷۵	شاهروود
۵۶	۲/۵	۴۳/۵	۱	۵۹	۴۰	۱۵	۲۰/۵	۵۴/۲	۷۹/۵	درصد

بیشترین زمینه اشتغال ساکنین روستاهای نکارمن و ابرسج در فصول خاصی در بخش کشاورزی و دامداری مطابق جدول ۱-۵ می باشد، بگونه ای که در فصل برداشت محصولات باغی امکان دسترسی به کارگر وجود ندارد.

جدول ۱-۵ وضعیت اشتغال در روستاهای نکارمن و ابرسج در تابستان

روستا یا مزرعه	وضعیت اشتغال در تابستان	جمعیت (نفر)
نکارمن	کشاورزی : زراعت و باغداری (باغات سیب ، گیلاس ، زردآلو و آبلالو) ، کثیرا گیری	۱۵۷
مزرعه کلاتنه	کثیرا گیری	مزرعه
ابرسج	کشاورزی : باغداری و زراعت (باغات گیلاس ، آبلالو ، آنگور ، زردآلو و بادام) ، دامپروری (مرغداری و گاوداری)	۲۲۶۴

بخش اعظم افراد جویای کار شهرستان شاهروود مطابق جدول ۱-۶ در فاصله سنی

۲۴ - ۱۵ سال قرار می گیرند.

جدول ۱-۶ افراد جویای کار شهرستان شاهروд بر حسب گروه سنی

الله					شهرستان	جمع
۴۵ - ۵۴	۳۵ - ۴۴	۲۵ - ۳۴	۱۵ - ۲۴		شاهرود	
۴	۲۲	۲۰۵	۵۴۴	۷۷۵		
۰/۵	۲/۸	۲۴/۴۵	۷۰/۲			درصد

۱-۵ وضعیت آب های سطحی و زیرزمینی منطقه



الف) وضعیت آبهای سطحی

با توجه به کوهستانی بودن منطقه در اغلب دره ها رودخانه های آب شور و یا شیرین

کوچک و بزرگ ملاحظه می شود که به برخی از آنها اشاره می گردد :

رودخانه رودبار/برسج : این رودخانه در قسمت شمال شرق منطقه و خارج از

محدوده نقشه واقع می شود . رودخانه مذکور از رودخانه های مهم استان سمنان محسوب

می شود و در حال حاضر مقدار دبی آب آن افت نموده است .

رودخانه دره آباندر : رودخانه این دره فصلی بوده ، شیب آن حدود ۴ درجه و دره

مذکور بسته می باشد .

رودخانه دره ابرسج : همانگونه که از نامش پیداست این رودخانه در بالای ابرسج

جريان دارد و در انتهای به در شاخه اصلی تبدیل می شود . آب آن اکثر اوقات گل آلود است . شیب

دره ۴ - ۲ درجه بوده و در مسیر آن درختان متعدد جنگلی وجود دارند . دره مذکور بسته است .

چشمه پلنگ دره : این دره چشمه های آب شور داشته و در اغلب نقاط کف دره
حالت شوره زده دارد و پوشیده از نمک است . شیب کف ۵ - ۴ درجه و در بعضی نقاط به ۳۰
درجه هم می رسد .

رودخانه دره نکارمن : این رودخانه از آب قابل شرب نسبتاً زیادی برخوردار است و
حالت تفریح گاه مانند را پیدا کرده است . در مسیر رودخانه باغات و زمین زراعی ایجاد شده
است . این رودخانه فصلی می باشد .

ب) وضعیت آبهای زیرزمینی
رودخانه دره آب استاش : ابتدای دره حاصل گسل و ادامه آن احتمالاً عملکرد
رودخانه است . آب رودخانه در کف گل آلود و قرمز است . چشمه های متعدد از آب زلال و
صفاف که منشاء آنها از آبهای زیرزمینی اند نیز در آن جریان دارند که آب آنها از طریق کنال
سیمانی به سمت دشت هدایت می شود .

اغلب چاهها و قنوات دهستان خرقان متعلق به بسطام می باشد .

فصل دوم

کلیاتی در خصوص موقعیت زمین شناسی،

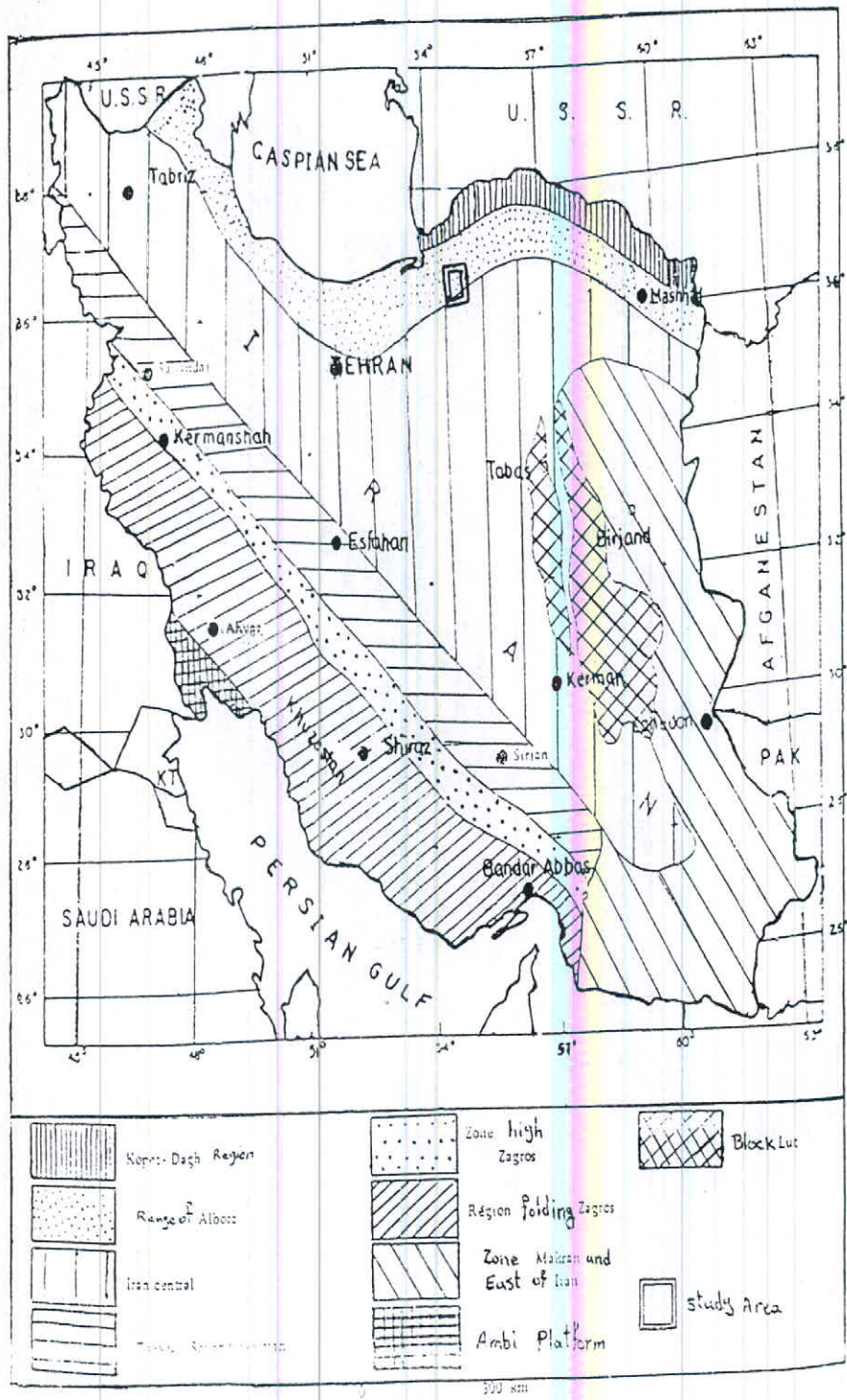
چیزه شناسی و تکنیک منطقه مورد مطالعه

۱-۲ مقادیر

منطقه مورد مطالعه مطابق شکل ۱-۲ بخشی از زون البرز شرقی محسوب می‌شود که سرگذشت زمین شناسی آنرا باید در ارتباط با این زون مطالعه نمود.

۲-۲ موقعیت زمین شناسی عمومی منطقه

کوههای البرز قسمتی از کمربند کوهزایی آلب - هیمالیا است که در شمال فلات ایران قرار گرفته است (اشتوکلین، ۱۹۷۴a). زون البرز حداقل تا تریاس میانی جزئی از زون ایران مرکزی بوده است، بطوری که از کامبرین تا اواسط تریاس رسوباتی با رخساره پلاتفرمی در یک پهنه وسیع که سرتا سر ایران مرکزی و ناحیه البرز را در بر گرفته، ته نشین شده است. در نتیجه واحدهای سنگی و سازندهای همزمان در ایران مرکزی و البرز به ویژه سازندهای شرق



شکل ۱-۲ تقسیم بندی ساختمانی ایران (اقتباس از علوی - ۱۹۷۳ با اندکی تغییر توسط نگارنده)

ایران مرکزی و شرق البرز از نظر سنگ شناسی شباهت زیادی به یکدیگر دارند (Stocklin 1968, 1974a, 1974b) و تفاوت‌هایی که در بین آنها مشاهده می‌شود با توجه به گستردگی پلاتفرم مذبور پدیده‌ای دور از ذهن به نظر نمی‌رسد. در عین حال می‌توان ناحیه البرز را قسمتی از حاشیه پلاتفرمی در نظر گرفت که در بخش‌های خارجی ابر قاره گندوانا قرار داشته است (Stocklin, 1974b) و دریابی که حداقل در طی اوخر پالئوزوئیک و اوایل تا اواسط تریاس در بین دو پلیت ایران و توران گستردۀ شده بود با نزدیک شدن دو قاره مذکور و فرو رفتن پوسته اقیانوسی میان آن دو به زیر قاره توران، به تدریج شروع به باریک شدن می‌کند که چین خوردگی و ماقماتیسم بخش‌های جنوبی توران محصول فرورانش مذبور است (افتخار تزاد و بهروزی، ۱۳۶۷؛ Stocklin, 1974b, Kazmin, 1986).

در اواخر تریاس پس از برخورد حواشی پلیت‌های ایران و توران زمین‌های هر دو قاره متحمل چین خوردگی، شکستگی و بالا آمدگی مهمی می‌شود که به همراه این تغییرات ماقماتیسم گستردۀ ای نیز وجود دارد (Berberian, 1981). به همین دلیل در ابتدای تریاس بالایی در کل زون البرز تغییر اساسی در رسوب گذاری مشاهده می‌گردد و رسوبات کربناته تریاس زیرین و میانی که دارای رخساره کربناته دریابی هستند جای خود را به ماسه سنگ و شیل سازند شمشک با رخساره آواری می‌دهند. این رسوبات در یک حوضه فورلاند راسپ شده اند و تغییر کلی در رسوب گذاری را می‌توان مربوط به حرکات تکتونیکی دانست که بین تریاس میانی و بالایی به وقوع پیوسته است. فاز تکتونیکی مذکور احتمالاً مربوط به فاز کیمیرین پیشین می‌باشد (Berberian & King, 1981).

کمبود لایه آهکی، فسیلهای جانوری و وجود لایه‌های ذغالی همراه با فسیلهای گیاهی ثابت می‌کنند که رسوبات این سازند در یک محیط دلتایی رسوب کرده اند (Rad, 1986).

رسوبات سازند شمشک در ایران و توران پیامد فرسایشی است که در برآمدگی مذبور رخ می دهد. پس از آرامش نسبی و فرسایش زمین های بالا آمده یک رژیم رسوبگذاری کربناته در ژوراسیک میانی در قسمتی از البرز و ایران مرکزی حاکم می شود و تا پایان کرتاسه ادامه می یابد.

با خروج ارتفاعات اولیه البرز از آب در اوایل پالئوسن در شمال و جنوب این ارتفاعات دو حوضه رسوبی متفاوت تشکیل می شود که هر یک دارای سرگذشت زمین شناسی خاص خود هستند. گسترش حوضه شمالی که به پاراتیس معروف است از دره رودخانه رن در فرانسه تا ترکمنستان شوروی قابل پیگیری است ان دو حوضه دارای سنگواره های جانوری خاصی است که آن را از حوضه جنوبی (حوضه تیتس) متمایز می کند (یاسینی، ۱۳۶۰).

۳-۲ شرح واحدهای لیتواستراتیگرافی منطقه

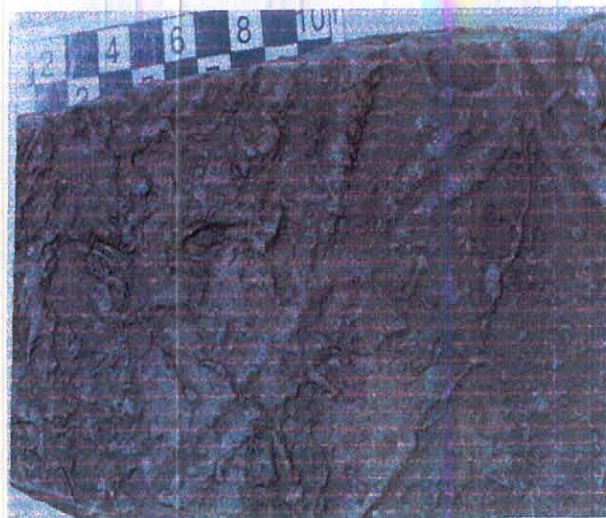
الف - رسوبات اردوبیسین

رسوبات اردوبیسین در منطقه به سه گروه از جمله رخساره های آهکی، تخریبی، آذرآواری و آذرین قابل تقسیم می باشند. رخساره های آهک به صورت پکستون و وکستون و سنگهای تخریبی به صورتهای کوارتز آرنیات، ولکانیک آرنیات، سیلتستون و شیل دیده می شوند.

رخساره های آهکی در یک محیط کربناته دریایی باز با نرخ رسوبگذاری زیاد و فرونشینی بسیار زیاد که غالباً تحت تأثیر طوفان قرار داشته اند ته نشست پیدا کرده اند. این حالت با وجود توالی طوفانی و ساختمنهای فرار مشخص می شوند علاوه بر رخساره های رسوبی،

رخساره‌های آذرآواری و آذرین در برخی از افقها وجود دارند که حضور آنها احتمالاً معرف آغاز ریفت قاره‌ای در ناحیه می باشند که با فورانهای بازالتی دریایی همراه بوده است.

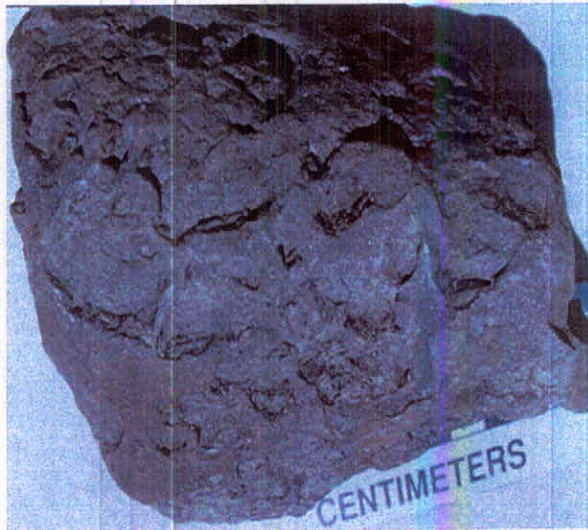
بخش زیرین روسوبات اردوبیسین متشکل از آهکهای قهوه‌ای استروماتولیتی و لامینه‌هایی از چرت می باشد. رسوبات آهکی دارای لایه بندی منظم و آثار فسیلی (مطابق شکل ۲-۲) می باشد. براساس مطالعات پالینولوژیکی سن آنها اردوبیسین زیرین بوده و معادل سازند لشکرک می باشد (حسینی، ۱۳۷۶).



شکل ۲-۲ رسوبات اردوبیسین زیرین حاوی ایگنو فسیل کروزیانا - رستای نکارمن

بخش میانی و بالایی متشکل از تناب و سیلت و شیل، ماسه سنگ نقره‌ای و در قسمت انتهایی شامل ضخامت زیادی از شیل‌های سبز با میان لایه‌هایی از ماسه سنگ می باشد. حسینی (۱۳۷۶) سن آنها را به اردوبیسین میانی - بالایی نسبت داده و معادل سازند قلی در نظر گرفته است.

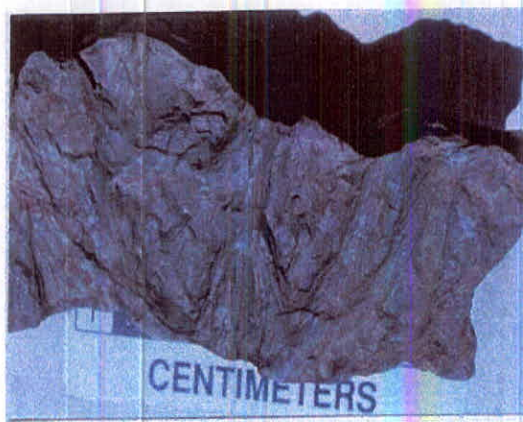
در کل منطقه البرز در گذر از کامبرین به اردویسین تغییر مشخصی در نوع رسوبات مشاهده می شود. این تغییر در نوع رسوبات مربوط به بالا رفتن حاشیه حوضه بر اثر عملکرد گسله های نرمال می باشد که از تخریب و فرسایش آنها رسوبات توربیدیته در یک محیط عمیق دریابی راسپ شده اند. در این توالی (به خصوص رسوبات اردویسین بالایی) ساختمانهای رسوبی اولیه از قبیل فلوت کست، گریدد بدینگ و ایگنو فسیلهایی از قبیل پالئودیکتیون (شکل ۳-۲، پالئوفیکوس (شکل ۴-۲) و پلانولیتس مشاهده می شوند که همگی شاخص رسوبات حاصله از جریانهای توربیدیته می باشند. زیست آشفتگی در بعضی بخشها از شدت بالای برخوردار می باشد (مطابق شکل ۵-۲).



شکل ۳-۲ فسیل پالئودیکتیون در رسوبات اردویسین روستای نکارمن

در اواخر اردویسین حرکات خشکی زایی کالدونین منطقه البرز را از آب خارج نموده و به

این دلیل رسوبات مربوط به سیلورین، دونین زیرین و میانی در منطقه مشاهده نشده است.



شکل ۴-۲ ایگنو فسیل احتمالی پالئوفیکوسن در رسوبات اردوبیسین روستای نکارمن



شکل ۵-۲ رسوبات اردوبیسین حاوی ایگنو فسیل فراوان (زیست آشفته شدید) روستای نکارمن

کاملترین رخنمون مربوط به رسوبات اردوبیسین در دره آب استاش مشاهده می‌شود. در

این ناحیه آهکها متوسط تا ضخیم لایه اردوبیسین زیرین ضخامت قابل توجهی از خود نشان

می‌دهند.

قاعده رسوبات اردویسین دقیقاً مشخص نمی باشد زیرا در بعضی از بخش ها به دلیل راندگی، گسله می باشد و یا اینکه توسط آبرفت پوشیده شده است. این رسوبات در کل منطقه دارای روند شرقی - غربی بوده و توسط اسپلیت ها پوشیده می شوند.

ب) رسوبات دونین میانی(؟) - بالای

رسوبات دونین میانی(؟) - بالای با سازند خوش بیلاق مشخص می شوند. این سازند از نظر لیتلولژی متشكل از کنگلومرا، ماسه سنگ، شیل و آهک می باشد. به جز واحد ماسه سنگی که دارای فسیل محدود است بقیه بخشها غنی از فسیل می باشند. برآکیوپودها در این سازند فراوانترین گروه فسیلی را تشکیل می دهند، فسیل مرجانها و تنتاکولیتس از نظر فراوانی در مرحله بعدی جای دارند و بالاخره فسیل بریوزوئر و تریلویست به مقدار کمی یافت می شوند. مطالعات چینه شناسی خوش بیلاق، تا کنون بر اساس الگهای میکروسکپی و برآکیوپودها، برآکیوپودها و کنودونت ها، کنودونت و ماهی ها و پالینومرفها انجام گرفته است.

در این میان بیشترین اختلاف آرا به تعیین سن ممبر یک مربوط است، سن های دونین پائینی، دونین میانی و دونین بالایی تا کنون برای آن عنوان شده است. بخش های میانی و بالایی این سازند متعلق به دونین بالایی می باشند. این سازند در منطقه در اکثر موارد روی اسپلیت ها قرار گرفته ولی بطور محلی در غرب و شرق روستای ابرسج با کتناکت گسله در زیر رسوبات اردویسین قرار گرفته است.

در برش زمین شناسی دره ابرسج، سازند فوق رخمنون وسیعی از خود نشان داده و

براساس مشخصات سنگ شناسی قابل تفکیک به ممبرهای زیر است:

۱- آهک بایوکلاستیک و شیل متوسط لایه، یک افق ماسه سنگی و آهک با لایه بندی

متوسط (شکل ۶-۲).

۲- در قاعده ماسه سنگ، شیل با بین لایه هایی از کنگلومرا که در بخش بالایی کاملاً

ماسه سنگی می شود.

۳- شیل، ماسه سنگ آهکی و ماسه سنگ.

۴- کنگلومرا به رنگ قرمز، کوارتز آرنایت به رنگ سفید و قرمز.



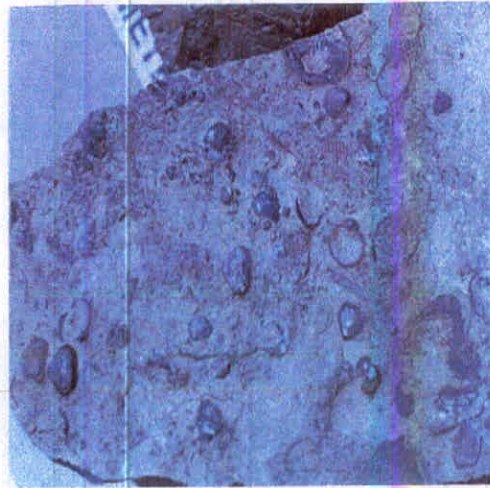
شکل ۶-۲ آهک های حاوی تاناتکولیتس، ساقه کرینوئید و قطعات مختلف تریلوپیت متعلق به ممبر ۴ خوش بیلاق (دونین بالایی) در دره ابرسج

ج) رسوبات کربونیفر و پرمین

بطور محلی در شمال نکارمن بخش هایی از رسوبات کربونیفر زیرین (سازند مبارک)

رخمنون دارد. لیتولوژی این سازند متشکل از آهک های میکراتی خاکستری با لایه بندی منظم

می باشد. در لایه های این سازند فسیلهایی از قبیل فنستلا و پردوکتیدار مشاهده می شود (شکل ۷).



شکل ۷- آهکهای بریوزوئردار (فنستلا) و برآکپودار (پردوکتیدار) به سن کربونینفر زیرین، سازند مبارک - شمال نکارمن

رسوبات پرمین در اطراف روستای نکارمن رخمنون دارد و توالی فوق قابل تفکیک به دو سازند درود و روته می باشند. سازند درود متشکل از کنگلومرا، شیل و ماسه سنگ قرمز، آهک ماسه ای و آهک است. در بخش آهک این سازند میکروفسیلهای شاخص پرمین (شووازین) مشاهده شده است. از نظر پتروگرافی لایه فوق بایوسپارایت (طبقه بندی فولک) و گرینستون (طبقه بندی دانهام) می باشد.

یکی دیگر از مشخصات سازند درود آهکهای انکوئیدی می باشند که در غرب روستای نکارمن رخمنون دارد.

سازند روطه متشکل از آهکهای زیست تخریبی و آهکهای استروماتولیتی به رنگ خاکستری می باشد. رسوبات پرمین در منطقه با کنتاکت گسله در مجاورت رسوبات اردویسین قرار گرفته اند.

د) سازند الیکا

رسوبات این سازند در شرق روستای ابرسج رخمنون دارد. این سازند در منطقه قابل

تفکیک به دو ممبر می باشد:

ممبر ۱ متشکل از: آهکهای نازک لایه حاوی فسیل دو کله ای و گاستروپد.

ممبر ۲ شامل: آهکهای ضخیم لایه.

این سازند با کنتاکت گسله در مجاورت اسپلیت ها و سازند خوش بیلاق قرار گرفته است

(شکل ۸-۲)



شکل ۸-۲ آهک کلارایاوار الیکا به سن تربیاس زیرین - میانی، نکارمن - ابرسج

ه) رسوبات کواترنر

رسوبات کواترنر شامل مخروط افکنه های قدیمی که بخش عمدۀ آنها توسط رسوبات جدیدتر مخروط افکنه پوشیده شده ولی بطور پراکنده در دامنه جنوبی ارتفاعات منطقه مورد مطالعه مشاهده می شوند. این رسوبات جور شدگی ضعیفی دارند و اندازه ذرات از دامنه کوه به سمت دشت کاهش می یابد.

به علت نفوذ آبهای جوی که از روی طبقات آهکی جاری شده و غنی از CaCO_3 محلول می باشد. فضای خالی رسوبات مخروط افکنه توسط سیمان کربناته پر شده و تا حدودی سبب استحکام بیشتر این رسوبات نسبت به رسوبات جدیدتر مخروط افکنه گردیده است.

در مسیر رودخانه های موجود در منطقه رسوبات فوق به صورت پادگان یا تراست های ابرفتی ضخیم مشاهده می شود که به صورت سخت شده و دگرشیب روی رسوبات قدیمی قرار گرفته اند.

تشکیل این تراست ها را می توان به دو روش توجیه نمود که عبارتند از :

۱- به دلیل ناپایدار بودن منطقه از نظر تکتونیکی و بالا آمدن منطقه و در نتیجه فرسایش شدید و فرو افتادن سطح اساس رودخانه، رسوبات در بالا باقی مانده و تشکیل تراست داده اند.

۲- به دلیل شرایط آب و هوایی و بارانهای شدید و جاری شدن سیلان رودخانه مسیر خود را به سرعت تخریب کرده و در نتیجه عمیق شدن دره رودخانه ها این رسوبات در ارتفاع باقی مانده و تشکیل تراست داده اند.

۴-۲ زمین شناسی ساختمانی و تکتونیک منطقه

در این قسمت به بررسی ساختارهای ثانویه از قبیل چین، گسل خورده، درزه ها و

نایپیوستگی ها می پردازیم.

الف) چین خورده ها

در رسوبات اردوبیسین بطور محلی چین خورده ها و به هم ریختگی های زیادی دیده

می شود که از مهمترین آنها می توان به چینهای موجود در ناحیه دره آب استاش اشاره نمود.

چینهای مذکور از نوع خوابیده، قائم و مایل می باشند.

ب) درزه ها

درزه ها، شکستگی هایی هستند که در امتداد آنها حرکت نسبی به موازات صفحه

شکستگی انجام نگرفته است. با مطالعه آماری درزه ها می توان جهت تنش های واردہ بر

سنگها را مشخص نمود.

در رسوبات اردوبیسین منطقه دسته درزه های نا منظمی مشاهده می شود. در این

واحداکثراً دو تا سه دسته درزه به چشم می خورد. در سنگهای آتشفسانی درزه ها و شکستگی های

بیشتر باعث خرد شدن این نوع سنگها شده اند به گونه ای که در بعضی از قسمتهای منطقه

ساختار مشابه بازالتهای منشوری مشاهده می گردد.

در رسوبات سازند خوش بیلاق به خصوص واحدهای ماسه سنگی سه دسته درزه منظم و مقاطع وجود دارد. در این قسمت در اثر نیروهای واردہ بیشتر درزه و شکستگی به وجود آمده و چن خوردگی بسیار کم دیده می شود.

ج) گسل ها

گسلهای موجود در منطقه از نوع شیب لغز، امتداد لغز و تراستی می باشند. گسلهای امتداد لغز: در حقیقت شاخه های فرعی گسل تراستی اصلی می باشند و باعث جابجا کردن لایه ها به صورت افقی شده اند. عملکرد این گسلهای امتداد لغز که کنتاکت سازندها در بعضی موارد به صورت گسله باشند. روند گسلهای امتداد لغز در منطقه اکثراً شمال غربی - جنوب شرقی می باشند.

گسلهای شیب لغز: این گسلها بیشتر در سازند خوش بیلاق مشاهده می شوند. این گسلها اکثراً به موازات هم عمل نموده اند و دارای جابجایی کمتری نسبت به گسلهای امتداد لغز می باشند. این گسلها از نوع نرمال و معکوس هستند.

گسلهای تراستی: گسل های تراستی دارای روند شمال شرق - جنوب غرب بوده و تقریباً به موازات یکدیگرند. بر اثر عملکرد این گسلها سازندهایی با سن های مختلف در کنار یکدیگر قرار گرفته اند.

در شرق ابرسچ بر اثر عملکرد این گسلهای سازند الیکا در مجاورت خوش بیلاق و سلطان میدان قرار گرفته است. در شمال شرق و جنوب غرب ابرسچ سازند خوش بیلاق با کنتاکت

گسله در زیر رسوبات اردویسین قرار می گیرد.

در شمال روستای نکارمن بر اثر گسله های تراستی رسوبات پرمین در زیر رسوبات

اردویسین قرار گرفته اند.

۲-۵ روش تعیین جهت تنش دیرینه (Palio Stress)

۲-۵-۱ تعیین جهت تنش دیرینه وارد بر عضو پنج میلا (طاقدیس آب استاش)

جهت تعیین نیروهای وارد بر سازند میلا (عضو ۵)، محدوده مستطیلی شکلی تعیین و

شیب، امتداد درزه و شکافهای موجود در آن را برداشت می کنیم. محدوده ای که برای این امر

انتخاب گردیده لایه های چین خورده یا محدوده طاقدیسی است که در سازند میلا زیر دهنده

دره آب استاش قرار دارد. سپس با پیاده کردن مختصات بر روی استریونت و رسم رزدیاگرام به

این نتیجه رسیده ایم که نیروهای بوجود آورنده این طاقدیس در جهات N20E، S40E،

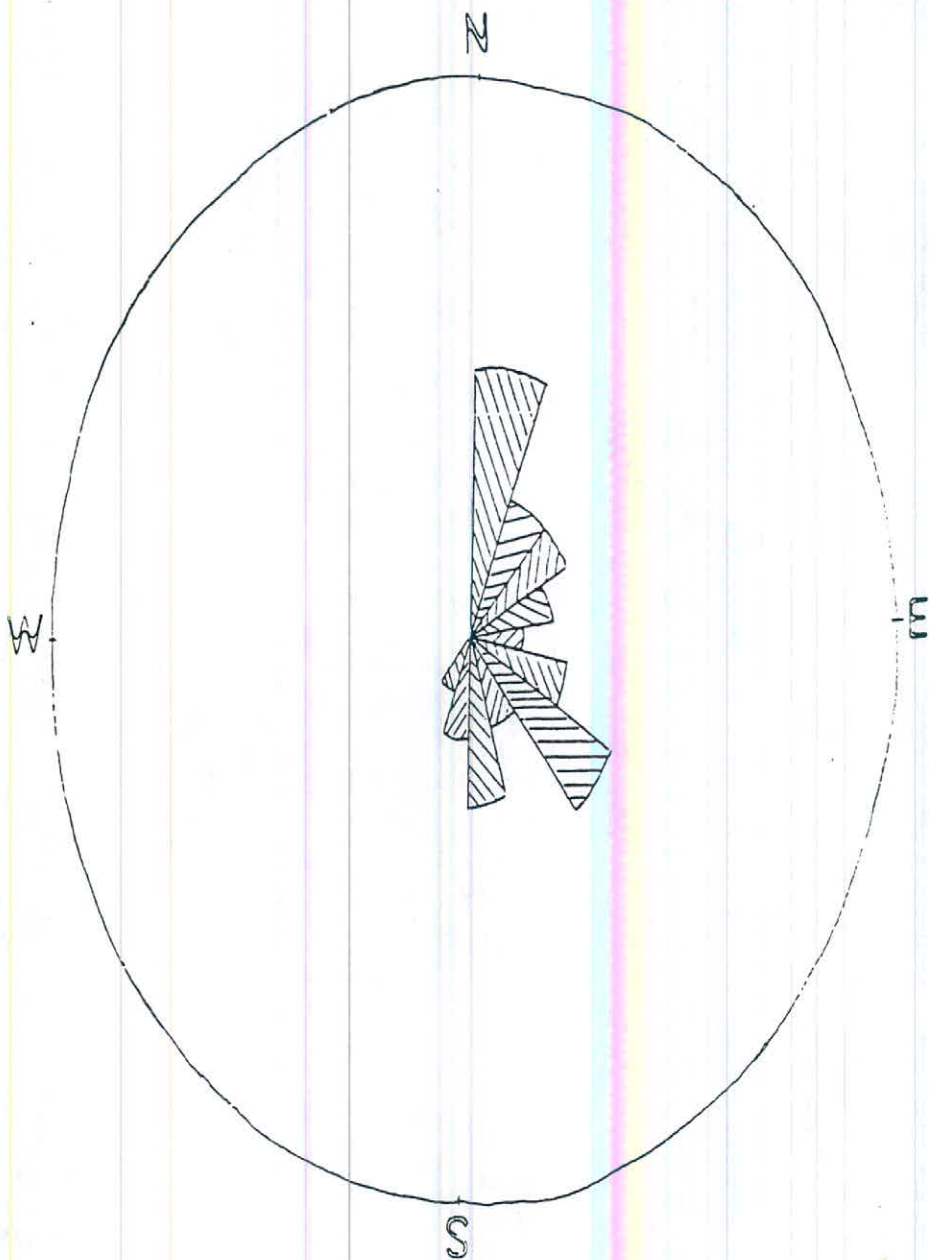
S60E و S20E می باشد (شکل ۹-۲).

شیب و امتداد برداشت شده از درزه و شکافهای طاقدیس آب استاش در جدول ۱-۲ آورده

شده اند.

جدول ۱-۲ شب و امتداد های برداشت شده از درزه و شکافهای طاقدیس آب استاش - مزرعه کلاته

شب / امتداد	شب / امتداد	شب / امتداد
Dr 315 / 52	Dr 60 / 72	Dr 300 / 32
Dr 238 / 88	Dr 50 / 70	Dr 35 / 65
Dr 315 / 56	Dr 285 / 48	Dr 295 / 58
Dr 49 / 59	Dr 30 / 22	Dr 95 / 68
Dr 278 / 35	Dr 30 / 22	Dr 95 / 68
Dr 295 / 45	Dr 65 / 85	Dr 192 / 89
Dr 38 / 82	Dr 55 / 70	Dr 95 / 85
Dr 295 / 65	Dr 142 / 35	Dr 88 / 75
Dr 49 / 67	Dr 126 / 45	Dr 72 / 60
Dr 280 / 28	Dr 145 / 44	Dr 270 / 78
Dr 46 / 55	Dr 147 / 41	Dr 350 / 82
Dr 71 / 85	Dr 0 / 89	Dr 285 / 10
Dr 25 / 50	Dr 90 / 88	Dr 340 / 25
Dr 285 / 36	Dr 272 / 72	Dr 112 / 56
Dr 303 / 30	Dr 135 / 72	Dr 95 / 84
Dr 40 / 62	Dr 256 / 78	Dr 176 / 52
Dr 45 / 57	Dr 330 / 15	Dr 70 / 22
Dr 175 / 78	Dr 262 / 78	Dr 130 / 84
Dr 270 / 88	Dr 265 / 70	Dr 108 / 85
Dr 122 / 88	Dr 215 / 70	Dr 100 / 88
Dr 275 / 80	Dr 90 / 70	Dr 325 / 25
Dr 5 / 88	Dr 25 / 89	Dr 200 / 68
Dr 252 / 82	Dr 12 / 88	Dr 50 / 85
Dr 322 / 25	Dr 35 / 88	Dr 95 / 80
Dr 345 / 90	Dr 108 / 75	Dr 100 / 75
Dr 77 / 80	Dr 275 / 88	Dr 200 / 70
Dr 22 / 88	Dr 102 / 85	Dr 328 / 23
Dr 112 / 78	Dr 215 / 65	



شکل ۹-۲ نیروهای وارد بر عضو ۵ سازند میلا - دره مزرعه کلاته

۲-۵-۲ تعیین جهت تنش دیرینه وارد بر ولکانیکهای سلطان میدان

محدوده مشخصی را در سنگهای آتشفسانی سلطان میدان معین کرده و مختصات درزه ها

و شکستگیهای موجود در این واحد سنگی را برداشت کرده و با رسم رزدیاگرام به این نتیجه

رسیدیم که نیروهای وارد بر سنگهای سلطان میدان در جهات N40E، N20E، EW، S

S20E، S60E و S40E می باشند (مطابق شکل ۱۰-۲).

۲-۲ مختصات درزه و شکستگیهای موجود در سنگهای ولکانیکی به شرح جدول

می باشند.

جدول ۲-۲ مختصات شکستگیهای موجود در سنگهای آتش‌شانی سلطان میدان

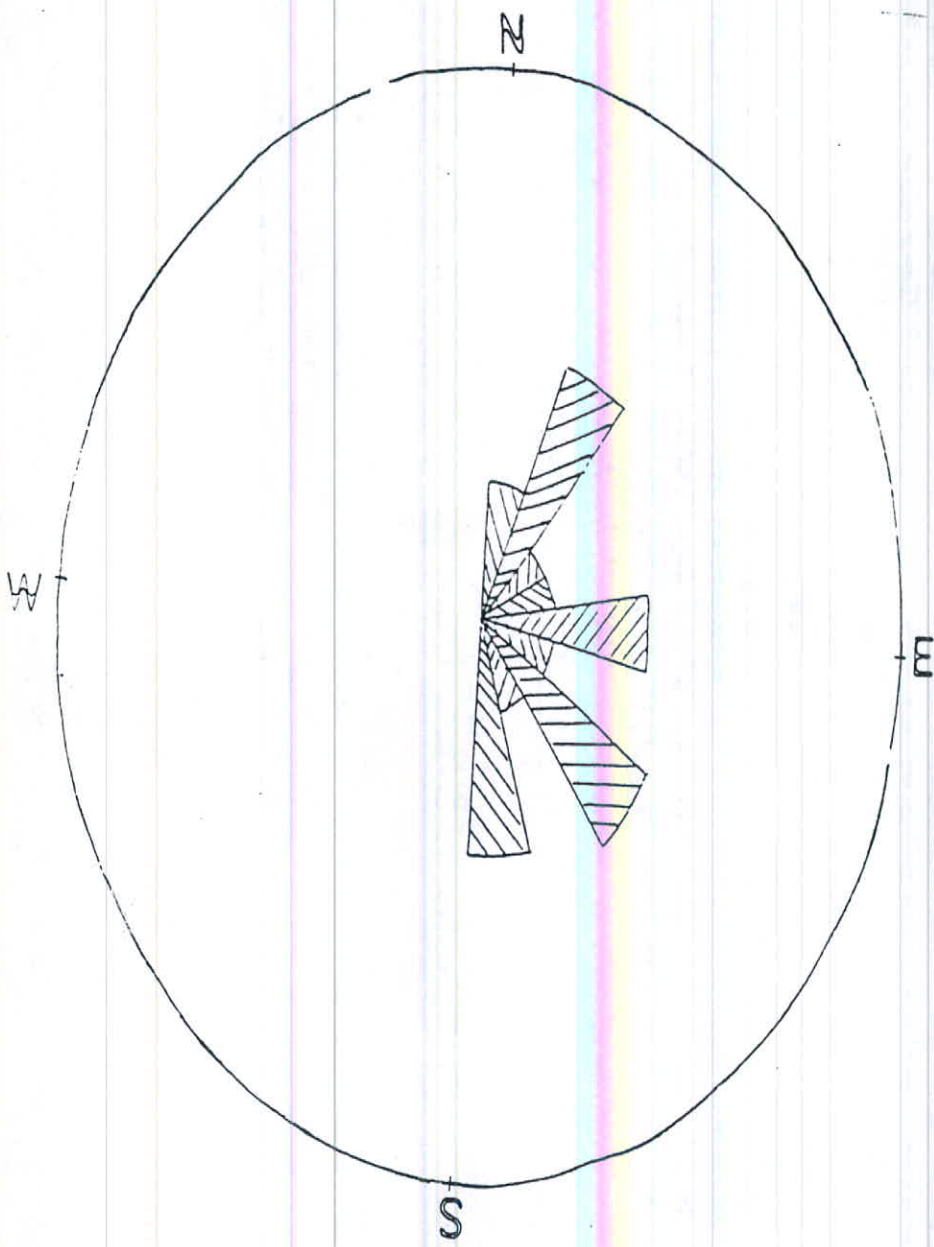
شیب / امتداد	شیب / امتداد	شیب / امتداد
Dr 6 / 55	Dr 73 / 89	Dr 202 / 80
Dr 115 / 17	Dr 133 / 82	Dr 185 / 89
Dr 115 / 87	Dr 217 / 64	Dr 310 / 79
Dr 266 / 55	Dr 60 / 68	Dr 222 / 52
Dr 265 / 50	Dr 111 / 85	Dr 72 / 41
Dr 76 / 61	Dr 150 / 4	Dr 206 / 48
Dr 358 / 66	Dr 10 / 84	Dr 190 / 41
Dr 46 / 78	Dr 303 / 44	Dr 125 / 20
Dr 95 / 70	Dr 34 / 85	Dr 285 / 56
Dr 182 / 64	Dr 285 / 65	Dr 330 / 54
Dr 214 / 56	Dr 242 / 62	Dr 338 / 40

۳-۵-۲ تعیین جهت تنش دیرینه وارد بر سازند خوش بیلاق

شکستگیها و درزهایی را در محدوده مشخصی از سازند خوش بیلاق تعیین مختصات

کرده و با رسم رزدیاگرام به این نتیجه می رسیم که نیروهای وارد بر سازند خوش بیلاق در

جهات N20E، S40E، EW و S60E می باشند (مطابق شکل ۱۱-۲).



شکل ۱۰-۲ نیروهای واردہ بر سازند سلطان میدان

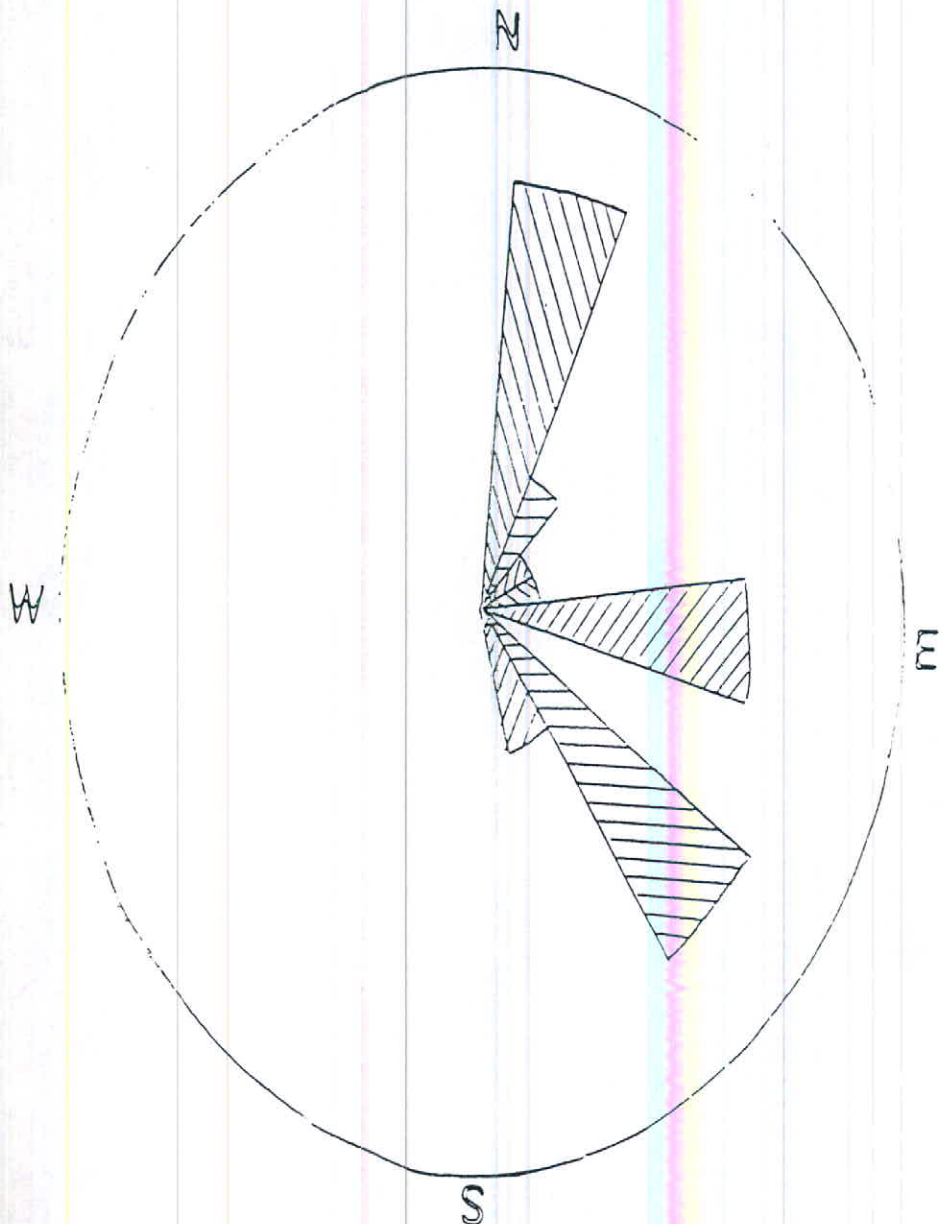
مختصات شکستگیهای خوش بیلاق به شرح جدول ۳-۲ است.

۸-۲ بررسی نمودار خطوط تراز

جهت بررسی آماری درزه و شکافها و مشخص شدن مناطق حداکثر و همچنین تعیین دسته درزه ها از نمودار خطوط تراز استفاده می شود. به منظور ترسیم این نمودار می بایستی

جدول ۳-۲ مختصات شکستگی های سازند خوش بیلاق

شیب / امتداد	شیب / امتداد	شیب / امتداد
Dr 54 / 90	Dr 32 / 90	Dr 108 / 82
Dr 145 / 88	Dr 1 / 90	Dr 40 / 85
Dr 48 / 87	Dr 95 / 84	Dr 102 / 82
Dr 152 / 86	Dr 0 / 85	Dr 10 / 84
Dr 50 / 90	Dr 358 / 90	Dr 105 / 85
Dr 10 / 90	Dr 5 / 90	Dr 48 / 86
Dr 110 / 90	Dr 108 / 88	Dr 124 / 82
Dr 57 / 90	Dr 42 / 80	



شکل ۱۱-۲ نیروهای واردہ بر سازند خوش بیلاق

مختصات تعدادی از شکستگیهای موجود در منطقه را برداشت کرده و با پیاده کردن آن بر روی استریونت، قطب هر یک از آنها را به دست می‌آوریم سپس قطبهای را برروی شبکه کالسیبیک پیاده کرده و با توجه به آن به نتایج زیر می‌رسیم:

الف) از لحاظ جهت امتداد اغلب دسته درزه‌ها

۱- دسته درزه‌های دارای امتداد شمال شرق - جنوب غرب که شیب آنها به سمت جنوب شرقی است.

۲- دسته درزه‌های دارای امتداد شمال غرب - جنوب شرق که شیب آنها به سمت جنوب غرب است.

ب) منطقه دارای حداکثر شکستگی، از تراکم بیشتر منحنی‌های تراز برخوردار است.

فصل سوم

شرح عمليات صحراوي

۱-۳ مقدمه

مجموعه عملیاتی که به منظور شناسایی و تفکیک واحدهای سنگی، ایجاد رخمنوهای مصنوعی از طریق روبورداری از بخشهای پوشیده و فاقد رخمنوهای طبیعی به منظور تهیه نقشه ها و مقاطع زمین شناسی، اکتشافات سطحی و بررسی پتانسیل های مورد نظر طرح در منطقه انجام می گیرد را بعنوان عملیات صحرایی معرفی می کنیم. طبیعتاً اگر برخی از واحدهای سنگی در عملیات صحرایی قابل شناسایی دقیق نباشند، از طریق مطالعه پتروگرافی و پترولوزیکی مقاطع نازک نمونه های برداشت شده از آن واحد سنگی آن مشکل حل خواهد شد.

چنانچه نمونه خاک باشد از طریق تجزیه XRD نمونه، ترکیب آن مشخص می گردد.

به منظور ارزیابی ذخیره، نمونه برداریهای لازم انجام و بررسی آنها مطالعات XRD و

XRF انجام خواهد شد.

کل منطقه را با توجه به گسترش زیاد به سه بخش دره ابرسج، آب استاش و نکارمن تقسیم بندی می کنیم که شرح عملیات صحراوی هریک را جداگانه در این فصل بیان خواهیم کرد.

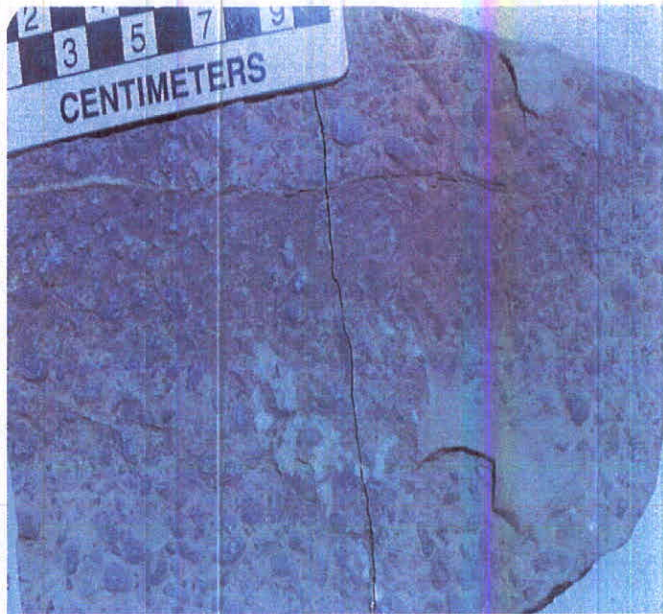
۲-۳ شرح عملیات صحراوی دره و اطراف ابرسج

عملیات صحراوی که در بخش شمال شرقی نقشه زمین شناسی ۱:۲۰۰۰۰ منطقه انجام شده را در این قسمت بیان خواهیم کرد.

با توجه به اینکه هدف طرح بررسی خاک صنعتی بوده است لذا ابتداً وضعیت لیتوژوئی منطقه بررسی، محدوده‌ای که احتمال حضور ماده معدنی در آنجا وجود داشته باشد جهت نمونه برداری معرفی می‌شود. در شرقی‌ترین بخش نقشه قبل از روستای ابرسج (بابا عبدال...) در ابتدای دره سنگهای ولکانیکی بازیک (اسپیلیت) به سن سیلورین گسترش یافته که از آنها جهت مطالعات پتروگرافی نمونه^۲ Nak برداشته شده است.

آهکهای فسیل دار خرد شده (اسپریفر) به سن دونین میانی - بالایی دارای رخمنونهای محلی بوده و با اسپیلیت‌ها کنتاكت ناپیوسته دارند. آهکهای مذکور متعلق به سازند خوش سیلاق می‌باشند.

آهکهای نازک تا ضخیم لایه فسیل دار سازند الیکا به سن تریاس زیرین و میانی در بخش شرقی ورودی دره مذکور گسترش قابل ملاحظه‌ای دارند که شکل ۱-۳ نمونه‌ای از فسیل کلاریا در این بخش است.



شکل ۱-۳ آهکهای حاوی دوکه ای کلاریا در سازند الیکا - بخش شرقی دره روتای ابرسج

افق هوازده قرمز - قهقهه ای رنگی از اکسیدهای آهن و خاک رس بطور محلی در حدفاصل خوش بیلاق و الیکا واقع شده است که در موقعیت عرض جغرافیایی $36^{\circ}, 36^{\circ}$ و طول جغرافیایی $55^{\circ}, 55^{\circ}, 54^{\circ}$ از این افق جهت مطالعه بیشتر نمونه NaK_1 گرفته شده است. این افق در امتدادی با آزمودت 320 درجه گسترش یافته که در پنهانهای بالایی به دلیل گسل خوردگی به سمت پایین افتاده است.

در دره ابرسج شروع توالی با اسپیلیت یا بازانهای زیر دریابی سیلورین (سلطان میدان - جهت رده بندی ژئوشیمیایی و مطالعات پترولوزیکی نمونه NaK_{17} از آن برداشته شده است) می باشد. توالی مذکور توسط رسوبات سازند خوش بیلاق به سن دونین میانی (?) - بالایی پوشیده می شود. شکل ۲-۳ تصویری از این کنتاکت را نمایش می دهد.



شکل ۲-۳ کنکات بین اسپلیت‌های سلطان میلان با خوش بیلاق در شروع دره ابرسج

از نظر توالی لیتوژئوگرافی سازند خوش بیلاق در این دره قبیل تفکیک به چند ممبر زیر

است:

ممبر ۱: کنگلومرای قرمز با لایه هایی از ماسه سنگ قرمز و سفید که به تدریج به کوارتز

آرنایت سفید رنگ تبدیل می شود. وضعیت هندسی لایه بندی $W\ 26^{\circ}$ و 170° با ضخامت

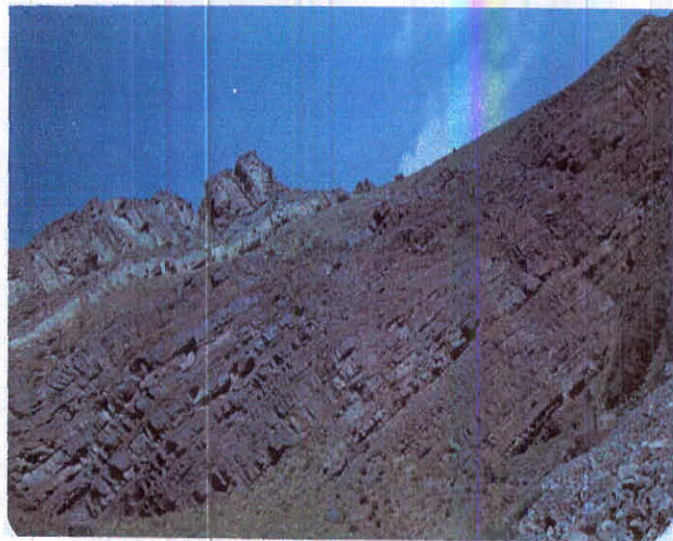
کل $111/5\ m$ است. نمونه معرف Nak₁₄ از ممبر مذکور گرفته شده است.

ممبر ۲: تنابی از شیل و ماسه سنگ آهکی قرمز رنگ که نمایش دهنده سیکلهای

مختلف رسوب‌گذاری می باشد. به تدریج در بخش انتهایی به ماسه سنگهای متوسط لایه

خاکستری تا زرد رنگ تبدیل می شود.

ممبر ۳: ماسه سنگهای ضخیم لایه تا متوسط لایه به رنگ خاکستری تا زرد رنگ با میان لایه شیل که در بخش‌های بالایی به ماسه سنگ قرمز و کنگلومرا تبدیل می‌شود. شکل ۳-۳ گسترش ممبر ۳ خوش بیلاق را در امتداد 120° نشان می‌دهد. همچنین وضعیت گسل F1 که آزیموت 55° دارد در این تصویر مشخص شده است. نمونه معرف Nak₁₅ جهت بررسی پتروگرافی و آنالیز XRD و XRF از این ممبر برداشته شده است.



شکل ۳-۳ گسترش ممبر ۳ خوش بیلاق در امتداد 120° درجه دره ابرسج

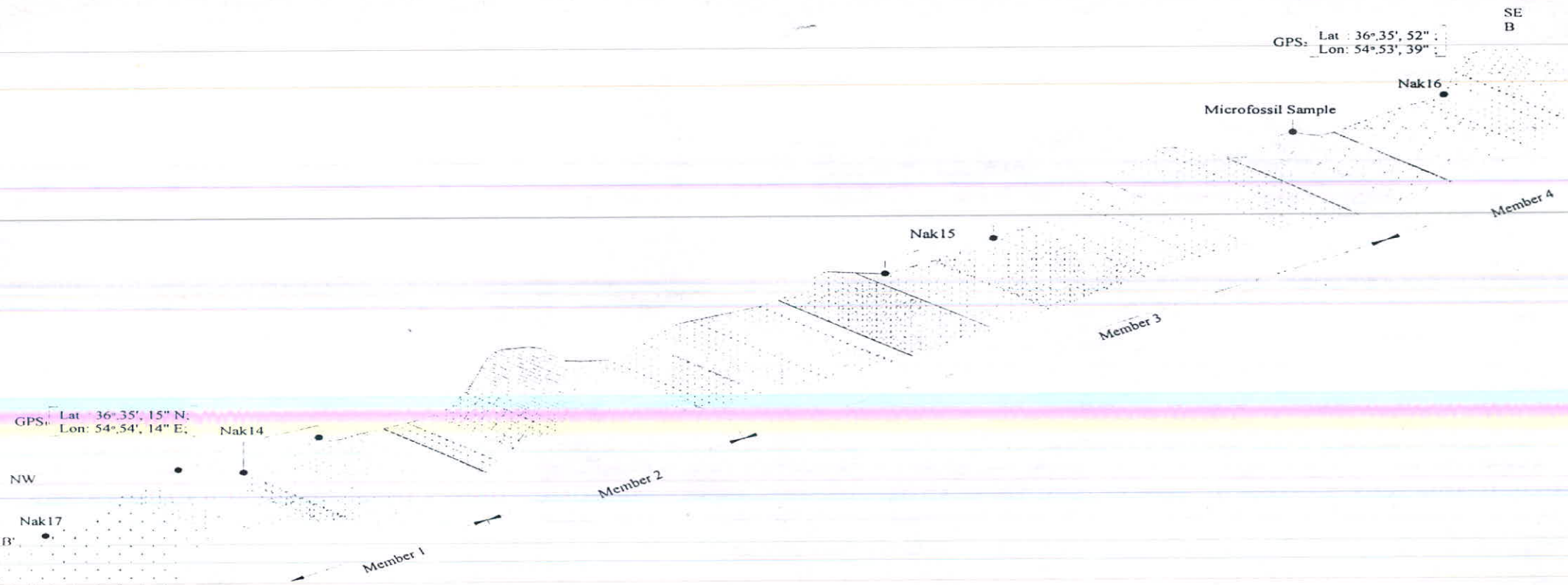
ممبر ۴: این ممبر با تناوبی از شیل و آهکهای حاوی فسیلهای بازوپایان، تریلوپیت، ساقه کرینوئید و ... شروع می‌شود (مطابق شکل ۴-۳).



شکل ۳-۴ فسیل های تریلوپیت (احتمالاً استروپیز)، تناتکلیس و اسپریفر در ممبر ۴ سازند
خوش بیلاق - دونین میانی - بالایی - دره ابرسج

در ادامه ممبر ۴ یک باند ماسه سنگ سفید رنگ به ضخامت $10\text{ m} - 15\text{ m}$ (نمونه معرف Nak₁₆) و آهکهای متوسط تا نازک لایه خاکستری تیره رنگ قرار دارند. شیب لایه بندی $W - 30^{\circ}$ می باشد. در انتهای دره ابرسج به سیکل های مختلف رسوبگذاری ممبر ۴ سازند خوش بیلاق برخورد نموده ایم که معرف محیط توربیدیته است.

پروفیل 'BB' نیمرخی از دره رودخانه ابرسج است. در شکل (۵-۳) نیمرخ 'BB' به همراه جانمایی نمونه های برداشت شده را ملاحظه می نمایید.



شکل ۲ - ۵ مقطع صحرایی بروگل BB به مسیرهای جانسون نموده های برداشت شده (خره و روکشات فرسنگی)

راهنمای ما (شکل ۵-۳)	
	اسپلیت های سیلورین
	کنگلومرا ماده سنگ
	شل ماده سنگ آهکی
	آهک
Nak16	محل نمونه و شماره آن

M. N. N. Co.
Cross Section of
EE'
Abarsaj Area

Scale : without Scale

Position : GPS₁ & GPS₂
Az : 135°

**Samples: XRD & XRF: Nak14, Nak15,
Nak16, Nak17**

Thin Section : Nak15, Nak17

**Author: R. Ghavami,
A. Taheri**

Drawn By: M. Dehghan

Date: 1378:12:20

راهنمایی شکل ۳ - ۵.

تپه های بخش جنوبی نزدیک روستای ابرسج به سمت مزرعه کلاته از آهک، شیل و ماسه سنگ تشکیل شده اند که گسترش جانبی محدودی داشته و در آنها آثاری از فسیل های دونین میانی (?) - بالای دیده می شود . نمونه Nak₁₈ چهت مطالعات پتروگرافی از این قسمت برداشته شده است .

برروی این واحد رسوبات اردویسین با کتتاکت گسله دیده می شود . لایه ها در این قسمت شدیداً تکتونیزه شده اند .

واریزه های ماسه سنگ سفید رنگ کوارتز آرناتی به صورت عدسی شکل کمی بالاتر از این محل به سمت مزرعه کلاته در موقعیت عرض جغرافیایی "۳۶°، ۳۴'، ۱۵" و طول جغرافیایی "۵۴°، ۴۵'، ۵۴'" در راستای با آزیموت ۲۹۰° قرار دارند و عمود بر امتداد گسترش احتمالی واحد سیلیسی و سیل بازیک جهت اکتشافات سطحی پیشنهاد شده است . شکل ۳-۶ تصویری از این تراشه را نشان می دهد .



شکل ۳-۶ تصویری از تراشه T₁ برروی واریزه های ماسه سنگ کوارتز آرناتی عدسی شکل در امتداد ۲۹۰° - نزدیک روستای ابرسج در عرض جغرافیایی "۳۶°، ۳۴' / ۱۵" و طول جغرافیایی "۵۴°، ۴۵'"

قطعه ترانشه T_1 و جانمایی نمونه برداری انجام شده در استوای 295° در شکل ۷-۳

نمایش داده شده است.

۳-۳ شرح عملیات صحرایی دره آب استاش

این محدوده شامل دره استاش و بخش جنوبی نزدیک مزرعه کلاته به سمت روستای

نکارمن می شود.

امتداد پیمایش پروفیل 'CC با توجه به گسترش ممبر ۴ میلا، واحدهای سنگی

اردویسین، سیلورین و دونین در این دره انتخاب شده است.

شروع واحدهای سنگی در این دره با سیل های بازیک در مجاورت با آهکهای ضخیم تا

متوسط لایه حاوی خرده فسیل های فراوان آهکهای ماسه ای و ماسه سنگهای با میان

لایه های شیل حاوی لایه بندی مقاطع (Cross bedding) و ایگنو فسیلهای فراوان که

معرف ممبر ۴ میلا به سن اردویسین زیرین اند، می باشد.

چین خوردگی در شروع دره قابل ملاحظه است که شکل ۸-۳ مقطع ترسیم شده از این

طاقدیس را نشان می دهد.

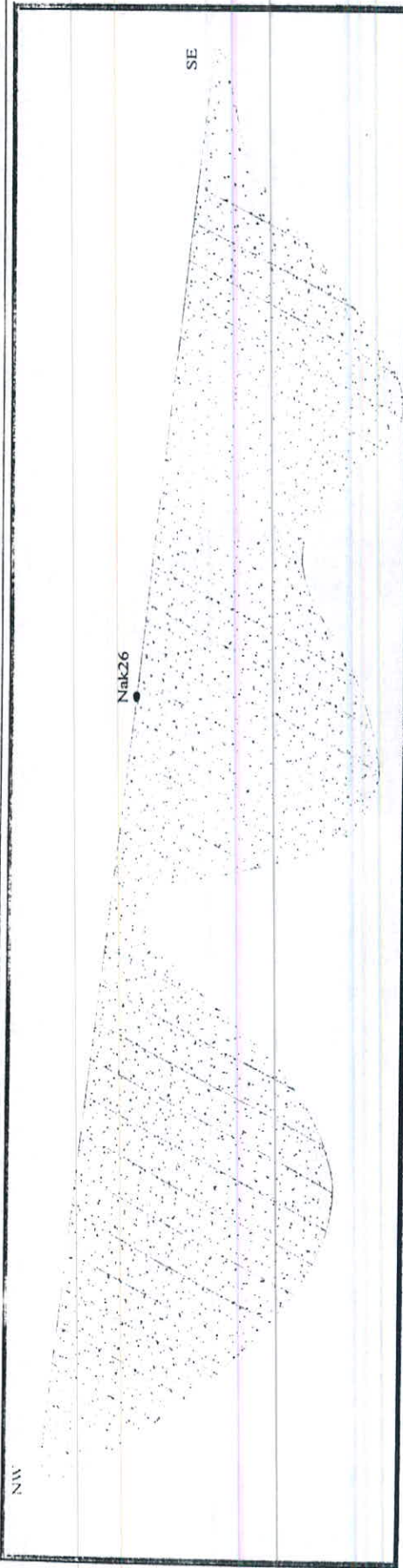
در ادامه شیل های سیز رنگ با لایه های نازک ماسه سنگی به همراه سیل های آذرین

متناوباً دیده می شوند که نمونه معرف Nak27 از ماسه سنگ های مذکور جهت مطالعات

پتروگرافی بیشتر برداشته شده است. نهایتاً به اسپیلیت های سیلورین (نمونه Nak28) جهت

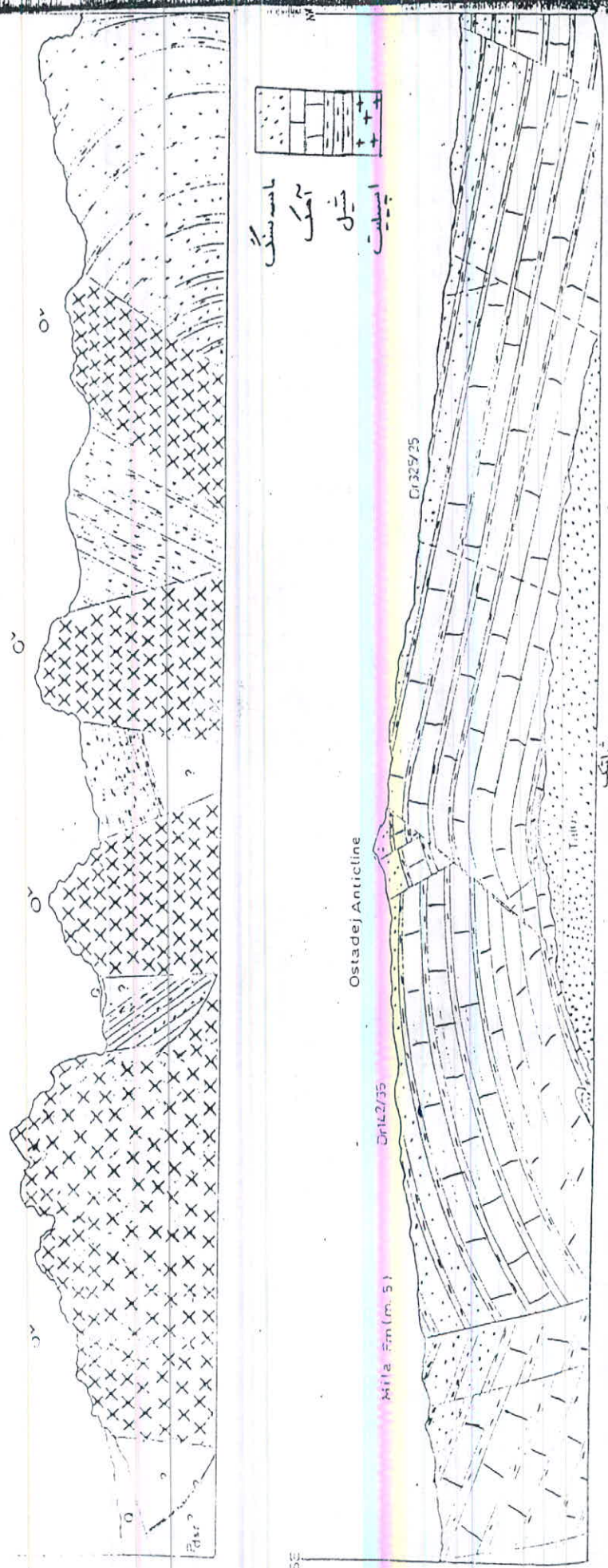
مطالعات پتروگرافی) که ببروی آنها ماسه سنگ، شیل و آهکهای خوش بیلاق قرار گرفته اند

می رسمیم.



ML - IN - N - CO.	
Section of T ₁ , Abdarsay Area	
Scale	H.Z 1/200 . Vr: 1/20
Position	Lat : 36° 34' 15'' Lon : 54° 54' 45'' AZ : 285°
Samples: XRD & XRF	: Nak26
Author:	R. Ghavami, M. T. Rahimoff
Drawn By:	M. Delfgian
Date:	1378:12:20

شکل ۲ - ۷ - مقطع تراشه T₁ و جاذبه نمونه برداشتی انجام شده در دوستای ۵۰۵۲ نزدیک دوستای ابرسچ.



شکل ۲-۸ مدل طاقدیس آب استانی

در شکل ۳-۹ نیمرخی از پروفیل 'CC' بهمراه جانمایی نمونه های برداشت شده ترسیم

گردیده است.

در مسیر این دره در موقعیت عرض جغرافیایی "۱۸°، ۳۴°، ۳۶° و طول جغرافیایی

"۵۷°، ۵۱°، ۵۴° به لایه نازک مغز پسته ای همراه کانیهای آبی فیروزه ای بخورده ایم که از آن

نمونه Nak₆ جهت مطالعات XRD و XRF گرفته شده است. همچنین در بالای آن لایه

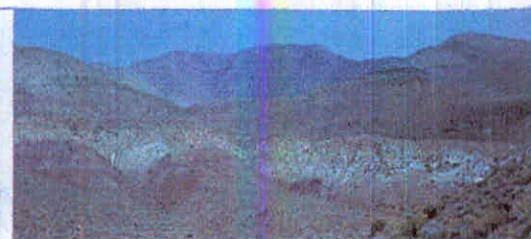
نازکی از خاک قرمز - قهوه ای قرار دارد که نمونه معرف Nak₇ جهت آنالیز XRD و XRF از

آن گرفته شده است.

در حرکت از مزرعه کلاته به سمت روستای نکارمن به رخمنوهایی از یک واحد خاک

سرخ و ماسه سنگ سفید رنگ کوارتز آرنایتی بخورده ایم که شکل ۳-۱۰ تصویر تهیه شده در

راستای ۳۲۰° از آنها را نشان می دهد.



شکل ۳-۱۰-۳ گسترش واحد خاک قرمز - قهوه ای و باند ماسه سنگ سفید رنگ کوارتز آرنایتی در نزدیک مزرعه کلاته به سمت روستای نکارمن - آریموت امتداد عکس ۳۲۰° دید به سمت شمال غرب

جهت بررسی بیشتر واحد خاک قرمز - قهوه ای در زیر سطح، محل تراشه T_2 در

موقعیت عرض جغرافیایی "۱۸°، ۳۴°، ۳۶° و طول جغرافیایی "۵۷°، ۵۱°، ۵۴° مشخص

شده است. شکل ۱۱-۳ تصویری از این تراشه را در راستای ۳۲۰° نمایش می دهد.

FV

شرح عمليات صحراوي

NE
C

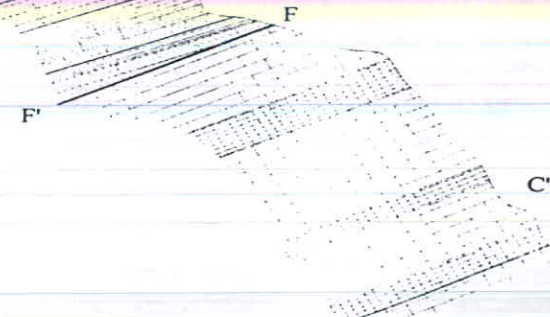
Nak28

GPS: Lat : 36°.34', 22" N;
Lon: 54°.51', 55" E;

Nak27

GPS: Lat : 36°.34', 18"
Lon: 54°.51', 57"

SW



راهنما (شکل ۳-۱)	
	آهک شیل ماسه سنگ
	امبیلت سیلورین
	ماسه سنگ آهکی
Nak28 ●	محل نمونه و شماره آن
F' / F	گسل

M. N. N. CO.
Cross Section of CC'
Upper Kalat
Scale : without Scale
Position : GPS₁ & GPS₂
Az : NE-SW
Samples: XRD & XRF: Nak27, Nak28
**Author: R. Ghavami,
A. Taheri**
Drawn By: M. Dehghan
Date: 1378:12:20



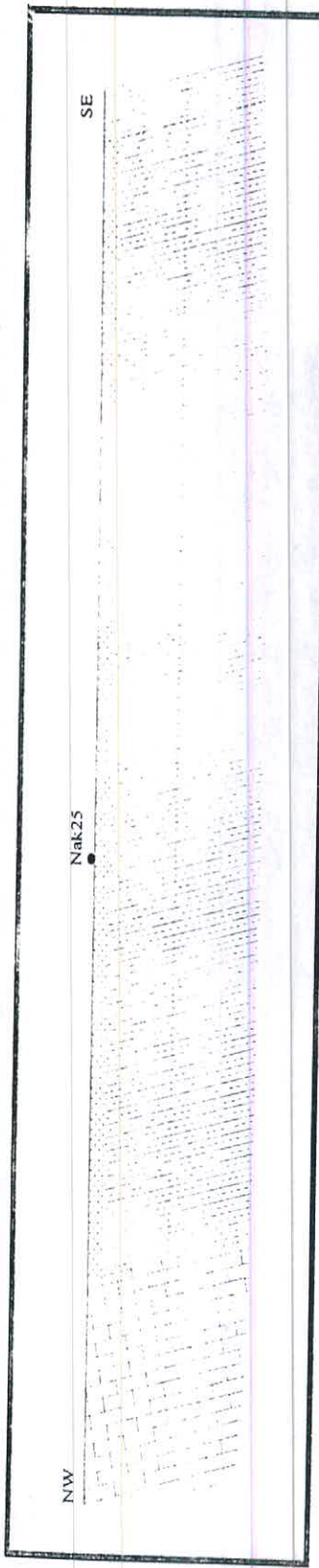
شکل ۳-۱۱ تصویری از تراشه T_2 در راستای 320° واقع در نزدیک مزرعه کلاته به سمت روستای نکارمن بر روی افق خاک قرمز - قهوه ای

این افق خاک قرمز - قهوه ای حدود ۲۰۰ متر گسترش داشته و از آن نمونه معرف Nak₂₅ برداشته شد است.

در شکل ۳-۱۲ نیميخ ترسیم شده از تراشه T_2 و جانمایی نمونه برداریهای انجام شده در راستای 330° نمایش داده شده است.

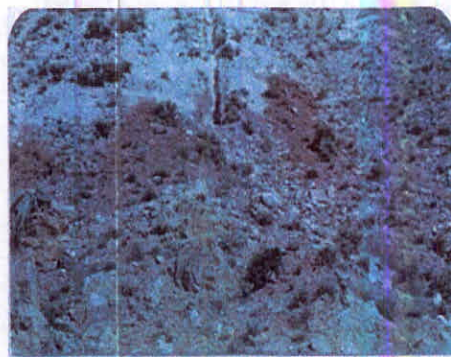
بر روی رخمنون ماسه سنگ سفید رنگ کوارتز آرنایتی نیز جهت نمونه برداری از بخش بکر محل حفر تراشه T_3 که تقریباً در همان موقعیت جغرافیایی تراشه T_2 قرار دارد پیشنهاد شده است. شکل ۳-۱۳ تصویر تهیه شده از این تراشه را در راستای 320° درجه نمایش می دهد.

شرح عملیات صحرا



M.T. - N.I. - T.N. - C.O.	
Section of T.S. Neekaranan Area	
Scale :	Vr: 1/300
Position :	Lat : $36^{\circ} 32' 25''$ Lon : $54^{\circ} 51' 42''$ Az : 320°
Samples: XRD & XRF :	Nak25
Author:	R. Ghavami, M.T. Rafimoff
Drawn By:	M. Dehghan
Date:	1378:12:20
راهن ما	آمک
	ساک سرخ (احسنا) نسل ارغانی - فربور
	شبل
	Nak25

نیکا ۲-۱۷۰ نسبت خود را تا T_2 در راستای ۳۳۰ به همراه جانشانی و نمونه بردار پیاپی انجام شده در نزدیک مورد عد کلاته به سمت دوستای نکارمن.



شکل ۳-۱۳ گسترش رخمنون ماسه سنگ سفید رنگ کوارتز آرتیت در محل تراشه T_3 و راستای 320° - نزدیک مرز عده

کلاته به سمت روستای نکارمن

در مجاورت این رخمنون یک بیرون زدگی دیگر ماسه سنگی کوارتز آرنایت نیز ملاحظه

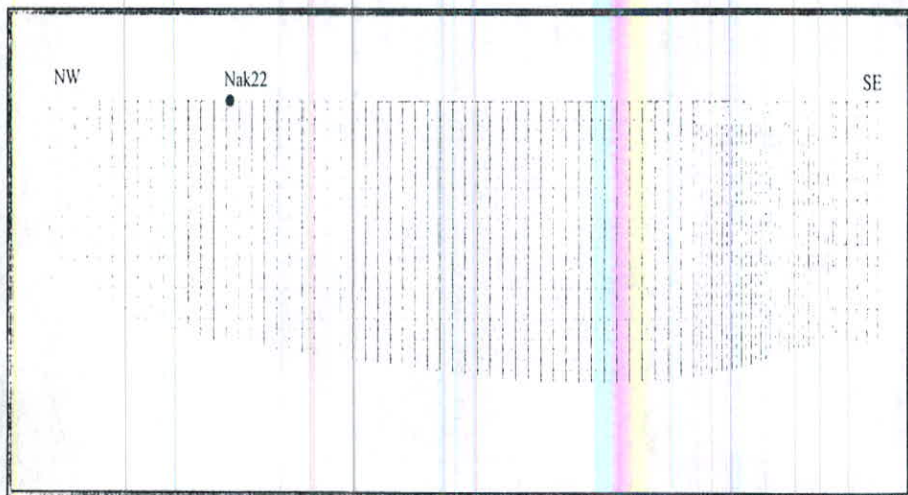
می گردد که اولی ۷۰ متر و دومی ۵۰ متر گسترش طولی دارند. نمونه معرف Nak₂₂ از این
و اند نیز برداشته شده است. در شکل ۳-۱۴ نیمرخ تراشه T_3 و جانمایی نمونه
برداریهای انجام شده از آن در راستای 320° درجه ترسیم شده است.

۴-۳ شرح عملیات صحراوی دره و اطراف نکارمن

این منطقه شامل، تشكیلات اطراف نکارمن می شود. جاده خاکی که نرسیده به روستا از

سمت چپ مسیر روستای نکارمن جدا می شود، از نزدیکی تپه هایی که شامل سنگهای آهکی
به همراه باندهای قرمز رنگ عبور می کند و در واریزه های آن فسیلهای پر مین دیده می شود.
از باند قرمز رنگی که احتمال با ارزش بودن آن می رفت و گسترش قابل توجهی در منطقه

نیزداشت ($31 \text{ متر ضخامت} \times 1 \text{ کیلومتر گسترش}$) و در حد فاصل آهک ضخیم لایه با ماسه
سنگ ضخیم لایه و شیل نازک لایه قرار می گرفت، نمونه معرف Nak₂₁ برداشت شد که بعداً



راهنما		M. N. N. Co.
	ماسه سنگ مسفید رنگ کوارتز آرتیزی	Section of T₃ Between Kalat & Nekarman
	خاک سرخ (احتمالاً شل) ارغوانی - قرمز)	Scale : Vr: 1/200
	آهک	Position : Lat: 36° 32' 25" Lon: 54° 51' 42" Az: 320°
	T ₄ و T ₃ محل و شماره نمونه تراشه	Samples: XRD & XRF : Nak22
		Author: R. Ghavami, M. T. Rahimoff
		Drawn By: M. Delighan
		Date: 1378:12:20

شکل ۳ - ۱۴ نیمترخ تراشه T₃ در راستای ۳۲۰° به همراه جانمایی نمونه برداریهای انجام شده در نزدیک مزرعه کلاوه به سمت روستای نکارمن.

مشخص گردید این باند قرمز رنگ به صورت دو افق خاک سرخ در منطقه گسترش یافته است.

شکل (۱۵-۳) تصویری از گسترش این دو باند سرخ را که در امتدادی با آزیموت ۱۶۵ درجه

قرار گرفته اند را نشان می دهد. با توجه به گسترش جانبی و تشابه ایتوژی، این واحد متعلق

به پرمین زیرین می باشد.



شکل ۱۵-۳ تصویری از گسترش دو باند خاک سرخ در تپه های قسمت جنوبی قبیل از روستای نکارمن
آزیموت امتداد عکس ۱۶۵°

در مسیر دره بالای روستای نکارمن تشکیلات پرمین شامل: ماسه سنگهای لایه ای

سفید رنگ سازند درود و آهکهای خاکستری تیره متوسط تا ضخیم لایه سازند روته با گسترش

محلى توسط تشکیلات اردويسين که با ماسه سنگ های سفید رنگ شروع می شود، پوشانده

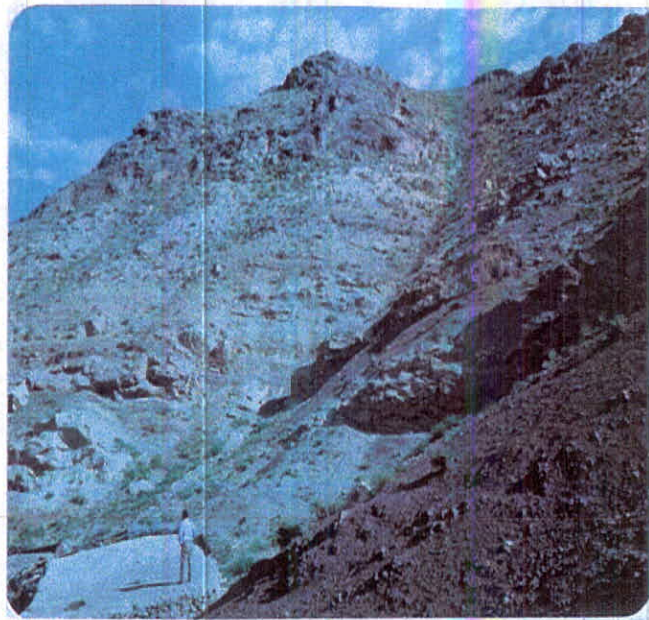
می شوند.

شکل ۱۶-۳ گسترش رسوبات پرمین در شمال نکارمن را نمایش می دهد. آزیموت امتداد

عکس ۱۱۰ درجه می باشد.

نمونه هایی از آهکهای فسیل دار حاوی انکوئید و شواگراینا در سمت چپ دره ملاحظه

می شود که در شکل ۱۷-۳ تصویری از این آهکها نمایش داده شده است.



شکل ۳-۱۶ گسترش رسوبات پرمین در شمال نکارمن - آبیوت امتداد 110°



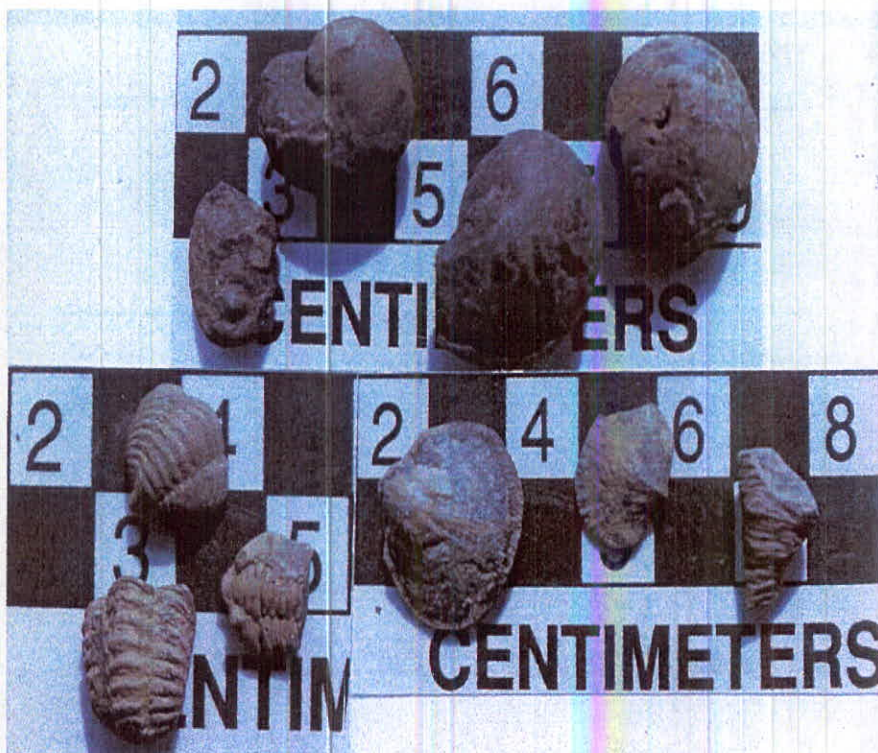
شکل ۳-۱۷ آهکهای فسیل دار رسوبات پرمین انکویید و شواگرنا

در ارتفاعات سمت چپ بالای دره روستای نکارمن بین آهکهای پرمین یک باند نسبتاً

نارک از خاک سرخ مشاهده شده است که نمونه های معرف Nak_{30} (به ضخامت $0/6$ m) و

Nak_{19} (به ضخامت $0/5$ m) از آنجا برداشته شده است.

رسوبات اردویسین با ماسه سنگهای سفید رنگ کوارتز آرنایتی شروع می‌شوند، سپس به ماسه سنگهای میکالسیه سبز رنگ حاوی ایگتو فسیل (پالتودیکتیون، پلانولیتیس، پلاٹوفیکوس و ...) که معرف محیطهای عمیق دریابی در اردویسین اندادمه می‌یابد. تناوبی از تشکیلات فوق الذکر به همراه رخمنون‌های محلی از سیل‌های بازیک اردویسین در منطقه گسترش قابل ملاحظه‌ای دارند. نمونه‌های Nak₂₉ و Nak₈ از سیل‌های بازیک جهت مطالعات پتروگرافی برداشته شده است. در شکل ۱۸-۳ نمونه‌هایی از فسیلهای مربوط به تشکیلات اردویسین میانی - بالای نمایش داده شده است.



شکل ۱۸-۳ نمونه‌هایی از فسیلهای مرجان، براکیپود متعلق به راسته ارتیدا، آرکتوگاستروپود و بخش‌هایی از تربلوپیت تشکیلات اردویسین میانی - بالای، شمال روستای نکارمن

اسپلیت‌های سیلورین بروی تشکیلات اردویسین قرار می‌گیرند که از گسترش قابل

ملاحظه‌ای نیز برخوردارند و در ارتفاعات منطقه گسترش می‌یابند. شکل ۱۹-۳ پانوراما‌ایی از

کنتاکت رسوبات اردویسین زیرین (!)، میانی با سیلورین و دونین در امتداد ۱۴۵ درجه گرفته شده است.



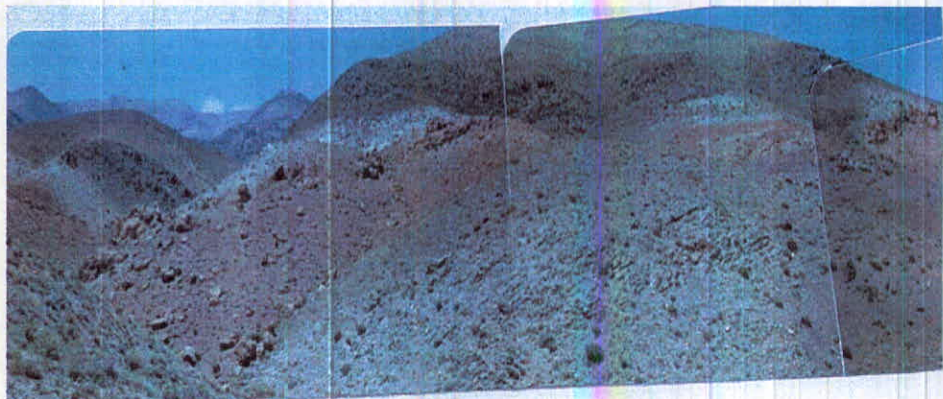
شکل ۱۹-۳ پانورامی از کنتاکت بین اردویسین - سیلورین - دونین در موقعیت جغرافیایی "۳۹° ۲۲' ۳۶" و "۳۹° ۵۰' ۵۴" آزیمود امتداد عکس ۱۴۵°

در مسیر رودخانه بخش شمالی نزدیک روستای نکارمن قبل از تشکیلات اردویسین زیرین (!) رخمنون هایی از یک افق قرمز رنگ که در بالای آن باندی از ماسه سنگهای سفید رنگ کوارتز آرنایتی قرار دارد. احتمالاً این افق قرمز رنگ ممکن است شیل های ارغوانی - قرمز باشند. جهت اطمینان نمونه معرف NaK_{10} جهت مطالعات XRD و XRF ارسال شده است. در داخل شیل های ارغوانی - قرمز، بین لایه های ماسه سنگ آهکی درزه و شکافدار قرار گرفته که نمونه NaK_{11} از آن جهت مطالعات بیشتر ارسال شده، در زیر آن افق های شیلی آهکهای ضخیم لایه که در قاعده به رنگ زرد و در قسمت فوقانی به رنگ خاکستری دیده می شوند و از آنها نمونه NaK_{12} جهت مطالعات پتروگرافی برداشته شده قرار دارند، بر روی این آهکها ماسه سنگهای سفید رنگ کوارتز آرنایتی واقع گردیده اند. بر روی این واحد سیل دیابازیک قرار گرفته است. در بالای سیل دیابازیک مجدداً ماسه سنگهای سفید رنگ واقع

گردیده است . بطور محلی با کنتاکت گسله در مجاورت آهکهای ضخیم لایه ، آثاری از آهکهای نازک لایه خاکستری میکرایتی با فسیلهای برآکیوپود ، برینوار ، تریلولیت با سن کربونیفر سازند مبارک ملاحظه شده است که نمونه Nak₁₃ از آن برداشته شده است . موقعیت سازند مبارک در عرض جغرافیایی " ۱۸' ۳۲' ۳۶' و طول جغرافیایی " ۵۴' ۵۰' ۵۴' از منطقه واقع شده است .

پروفیل 'AA' به گونه ای پیمایش شده است که در صورت امکان قالب واحدهای سنگی فوق الذکر را شامل گردد و در شکل ۲۰-۳ نیمرخی از پروفیل 'AA' ترسیم شده است .

شکل ۲۱-۳ تصویر پانورامایی از افق خاک قرمز (شیل های ارغوانی) ، ماسه سنگ سفید رنگ کوارتز آرنایتی و رسوبات کربونیفر را در راستای با آزیموت ۲۴۵° تا ۱۲۵° نمایش می دهد .



شکل ۲۱-۳ تصویر پانورامایی از شیل های ارغوانی ماسه سنگ سفید رنگ کوارتز آرنایتی و رسوبات کربونیفر در راستای ۱۲۵° تا ۲۴۵° - نزدیک روستای نکارمن

جهت بررسی کیفیت ماسه سنگهای سفید رنگ و خاک سرخ واقع در دره شمالی نزدیک روستای نکارمن ، محل ترانشه T₄ در موقعیت عرض جغرافیایی " ۹' ۳۶' ۳۲' و طول جغرافیایی " ۵۴' ۵۰' ۵۴' جهت حفر پیشنهاد شده است . شکل ۲۲-۳ تصویری از این ترانشه را در راستای ۸ درجه نمایش می دهد .

GPS₁ [Lat : 36°,32', 39"
Lon: 54°,50', 32"]

Nak8

Nak9

GPS₂ [Lat : 36°,32', 40"
Lon: 54°,51', 42"]

Nak10

Nak11

S

A'

Nak12

Nak13

شکل ۲۰ - نیم‌رخ پروفیل AA نزدیک روستای نکارمن.

راهنمایما (شکل ۲۰ - ۳)

	خاک سرخ (احتمالاً شیل ارغوانی - قرمز)		اسپلیت های سیلورین
	ماسه سنگهای آهکی		شیل
Nak8	محل نمونه و شماره آن		سیل های بازیک تا حد واسط

راهنمایی شکل ۳ - ۲۰

M. N. N. Co.

**Cross Section of
AA' Profile
Nekarman Area**

Scale : without Scal

**Position : GPS₁ & GPS₂
Az : 0°**

**Samples: XRD & XRF: Nak10, Nak11,
Thin Section : Nak8, Nak12, Nak13**

**Author: R. Ghavami,
A. Taheri**

Drawn By: M. Dehghan

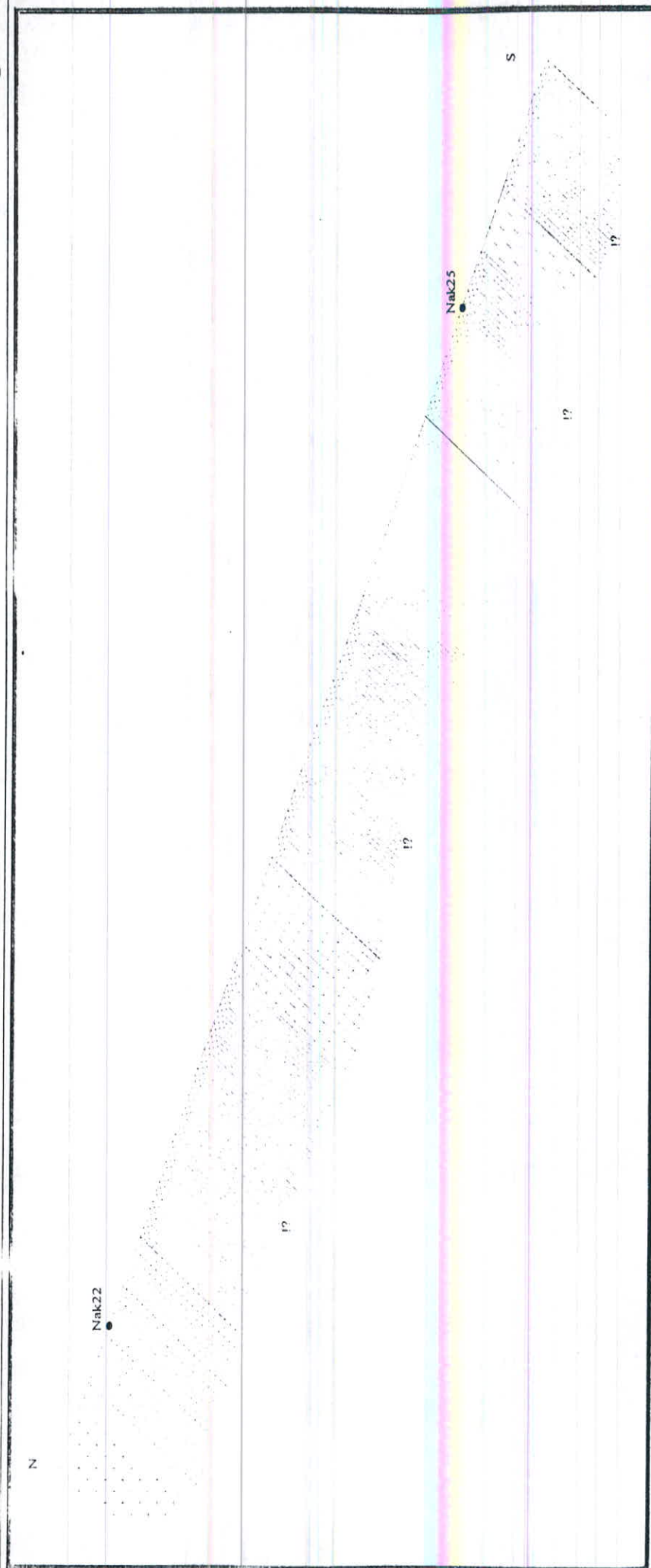
Date: 1378:12:20



شکل ۲۲-۳ تصویری از ترانشه T_4 دره شمالی نزدیک روستای نکارمن - آزمودت امتداد تهیه عکس ۸ درجه

شکل ۲۳-۳ مقطع ترانشه T_4 را در راستای $5-10^{\circ}$ نمایش می دهد.

نمونه معرف Nak₂₆ از این واحد ماسه سنگی برداشته شده است.



راهنما (شکل ۳ - ۲۳)			
	شیل های زرد کم رنگ		سیل بازیک
	شیل و ماسه سنگ		ماسه سنگ سفید رنگ کوارتز آرتیتی
	محل نمونه و شماره آن		خاک سرخ (احتمالاً شیل ارغوانی - قرمز)
			آهک

راهنمای شکل ۳ - ۲۳.

M. N. N. Co.
Section of T. Nekarman Area
Scale : Hz : 1/600
Position : Lat : ۳۶° ۳۲' ۰۹"
Lon : ۵۴° ۵۰' ۵۴"
AZ : (۵-۱۰)°
Samples: XRD & XRF : Nak22, Nak25
Author: R. Ghavami, M. T. Rahimoff
Drawn By: M. Dehghan
Date: 1378:12:20

فصل چهارم

مطالعات پرولوژی و پیروگرافی

۱-۴ مطالعه مقاطع رسوبی

۱-۱-۴ مقدمه

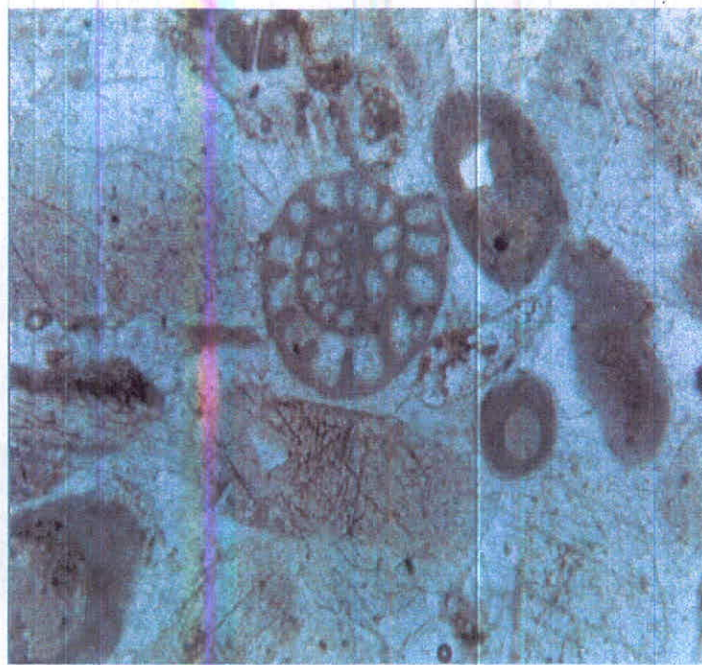
جهت تکمیل مطالعات صحرایی، نمونه های مختلفی از سازندهای موجود در منطقه برداشت و از آنها مقاطع میکروسکوپی تهیه گردیده است. در کلیه مقاطع نازک تهیه شده درصد فراوانی دانه های متشكله تعیین و براساس طبقه بندی فولک و دانهام (۱۹۶۲) آنها را نام گذاری کرده ایم.

۱-۴ نتایج مطالعه مقاطع رسوبی

بر اساس نوع و درصد فراوانی دانه ها و نیز درصد سیمان و خمیره موجود در سنگها میکروفاسیس های آهکی و رخساره های آواری تشخیص داده شده است که مقاطع مربوط به

ንግድ ተ-1 አንቀጽ ስንጻዊ የጥቃት ጥርጋ ፖስታ እና ስነዎች በኋላው የሚያስተካክል (ማሻሻል - የሚመለከት ተ-1)

0 200 μm



ሙሉ መሆኑዎች ተ-1 አንቀጽ ስንጻዊ የጥቃት ጥርጋ ስንጻዊ እና ስነዎች.

ይህ መሆኑ እና ስነዎች ተ-1 አንቀጽ ስንጻዊ የጥቃት ጥርጋ እና ስንጻዊ የጥቃት ጥርጋ እና ስነዎች ተ-1 እና ስነዎች. ይህም ተ-1 አንቀጽ ስንጻዊ የጥቃት ጥርጋ እና ስነዎች ተ-1 እና ስነዎች ተ-1 እና ስነዎች. ይህም ተ-1 አንቀጽ ስንጻዊ የጥቃት ጥርጋ እና ስነዎች ተ-1 እና ስነዎች ተ-1 እና ስነዎች. ይህም ተ-1 አንቀጽ ስንጻዊ የጥቃት ጥርጋ እና ስነዎች ተ-1 እና ስነዎች. ይህም ተ-1 አንቀጽ ስንጻዊ የጥቃት ጥርጋ እና ስነዎች ተ-1 እና ስነዎች.

Nak's
Acid

የሁ እና ስነዎች:

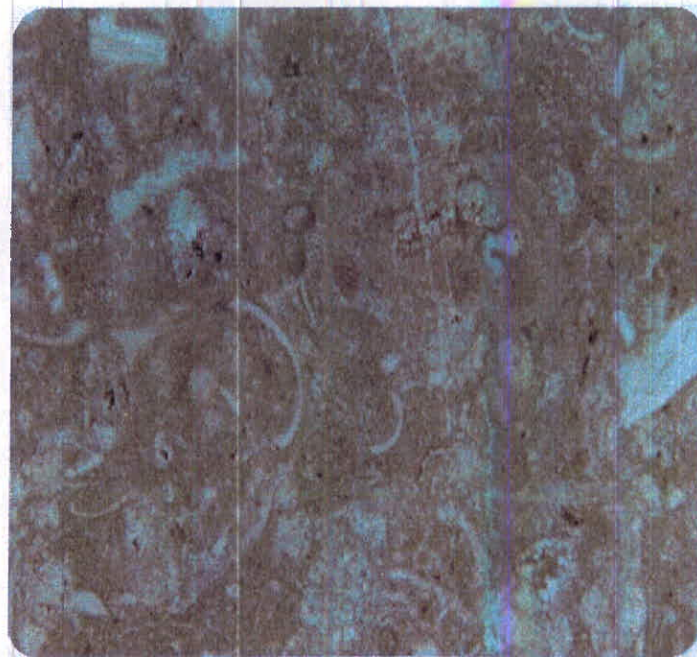
የሁ እና ስነዎች ተ-1 አንቀጽ ስንጻዊ የጥቃት ጥርጋ እና ስነዎች ተ-1 አንቀጽ ስንጻዊ የጥቃት ጥርጋ እና ስነዎች.

የሁ እና ስነዎች ተ-1 አንቀጽ ስንጻዊ የጥቃት ጥርጋ እና ስነዎች

የሁ እና ስነዎች ተ-1 አንቀጽ ስንጻዊ የጥቃት ጥርጋ እና ስነዎች.

نمونه Nak₁₃

قطعات اسکلتی برآکیوپود دانه اصلی در این میکروفاسیس است. ابعاد آنها در حد ماسه ریز می باشد علاوه بر قطعات برآکیو پودهای منفذدار، قطعات پلسی پد آکینید، فرامینیفرهای بنتیک و شکم پایان در این رخساره وجود دارد. نام سنگ بر اساس طبقه بندی فولک بايو میکرایت و دانه‌ام وکستون - پکستون (بايو کلاستیک وکستون - پکستون) است از آنجائیکه متن سنگ میکرایت است احتمالاً در یک محیط کم اندریزی دریایی کم عمق تشکیل شده است. در مرکز شکل ۲-۴ میکروفسیل گلوبی والولینا مشخص می باشد.

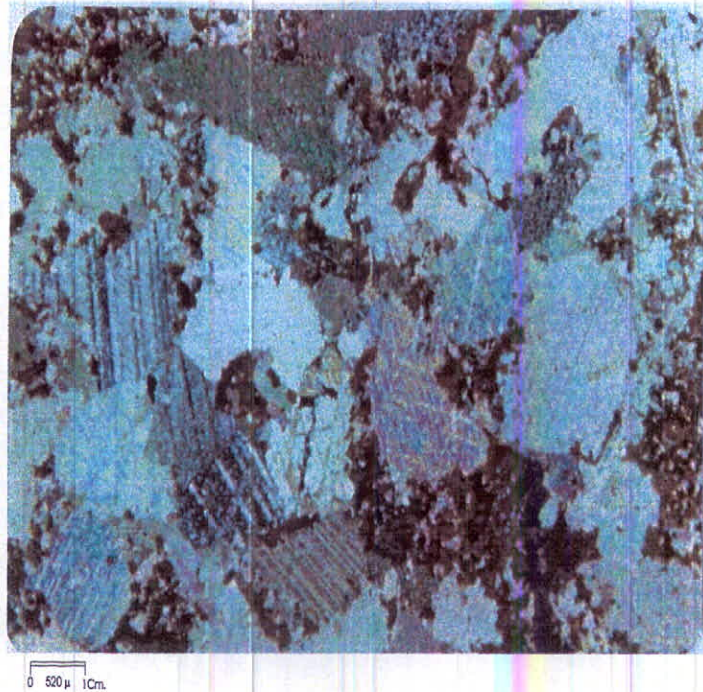


شکل ۲-۴ تصویر مقطع میکروسکوپی آهک نازک لایه فسیل دار میکرایتی سازند میارک ۵۷۰^{۱۰} نور پالریزه نمونه Nak₁₃ - دره نکارمن

نمونه Nak₁₈₋₂

قطعات اسکلتی کرینوئید فراواترین دانه اصلی در این میکروفاسیس است که در بعضی

قسمتها ساختمان اولیه خود را کامل محفوظ نگه داشته است. جورشده‌گی در آن نسبتاً خوب می‌باشد که نشانه حمل و نقل آنها است. بطور موضعی بخش‌هایی تحت تأثیر دولومیتی شدن قرار گرفته اند. از مشخصات دیگر آن برآکندگی اکسید آهن است. نام سنگ بر اساس طبقه بندي فولک بايو اسپارایت و دانهام گرینستون (بايو کلاستیک گرینستون) است. از آنجائیکه متن سنگ اسپارایت است احتمالاً در یک محیط پر انرژی دریایی تشکیل شده است.



شکل ۳-۴ تصویر مقطع میکروسکوپی آهک فسیل دار تپه های نزدیک روستای ابرسج به سمت مزرعه کلاته - در نور پلاریزه نمونه Nak_{18.2} -

ب) رخساره تخریبی

در اینگونه سنگها درصد مواد تخریبی بیش از ۵۰٪ می‌باشد و منشاً آنها خارج از حوضه است به عبارت دیگر بخش‌های مرتقی که تحت تأثیر تخریب و فرسایش قرار می‌گیرند منشأ این سنگها می‌باشند. مشخصات مقاطع میکروسکوپی آنها به شرح زیر است:

Nak₁₁ نمونه

این ماسه سنگ متوسط تا دانه ریز و از نوع ساب لیت آرنايت است، حدوداً ۷۵٪ کوارتز

، ۱۰ تا ۱۵ درصد خردخده سنگ از نوع چرت و درصد کمی از آهک و فلدسپات تشکیل شده است.

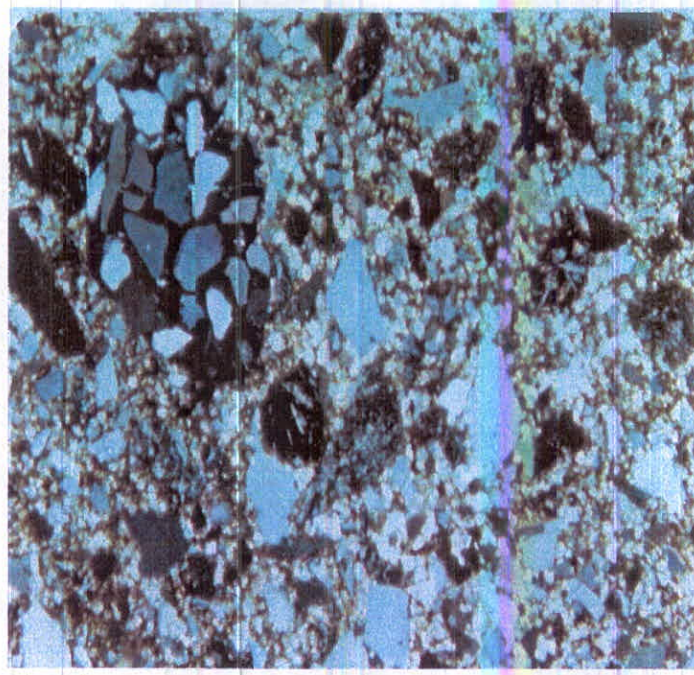
اجزای تشکیل دهنده این ماسه سنگ توسط یک سیمان آهکی به یکدیگر متصل شده اند. در

این رخساره دانه ها نیمه گرد شده و دارای جورشیدگی ضعیف هستند. از نظر بافتی به صورت

ایمچور (نا بالغ) دیده می شوند. با توجه به اینکه در زیر این ماسه سنگها نمونه *Nak₅* وجود

دارد که بر اساس میکروفسیلها سن آنها پرمین زیرین می باشد لذا احتمالاً این بخش نیز به سن

پرمین زیرین است.

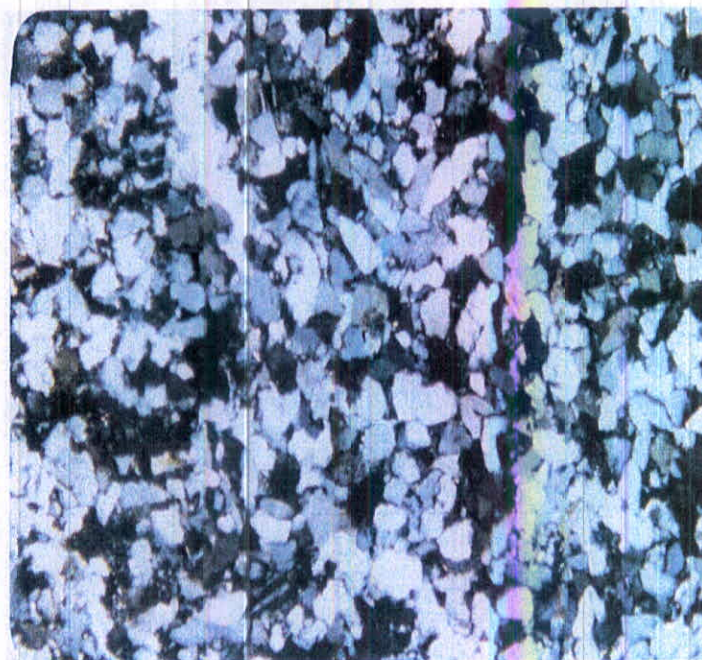


شکل ۴-۴ تصویر مقطع میکروسکوپی در نور پلاریزه ماسه سنگ متوسط دانه ساب لیت آرنايت نمونه *Nak₁₁* - دره نکارمن

Nak₂₇ نمونه

این ماسه سنگ نسبتاً دانه ریز و از نوع کوارتز آرنايت است که حدوداً بیش از ۹۵٪ کوارتز

و درصد کمی فلزسپات، موسکویت، بیوتیت و کانی اپاک دارد. فشردگی دانه ها نسبتاً زیاد می باشد در این رخساره دانه ها نیمه گرد شده و از نظر بافتی ساب مچور تا مچور می باشند.



شکل ۴ تصویر مقطع میکروسکوپی در نور بالازیره ماسه سنگ کوارتز آرنایت بافت ساب مچور تا مچور نمونه Nak₂₇ - دره آب استاش

نمونه های Nak₁₈₋₁ و Nak₁₈₋₃

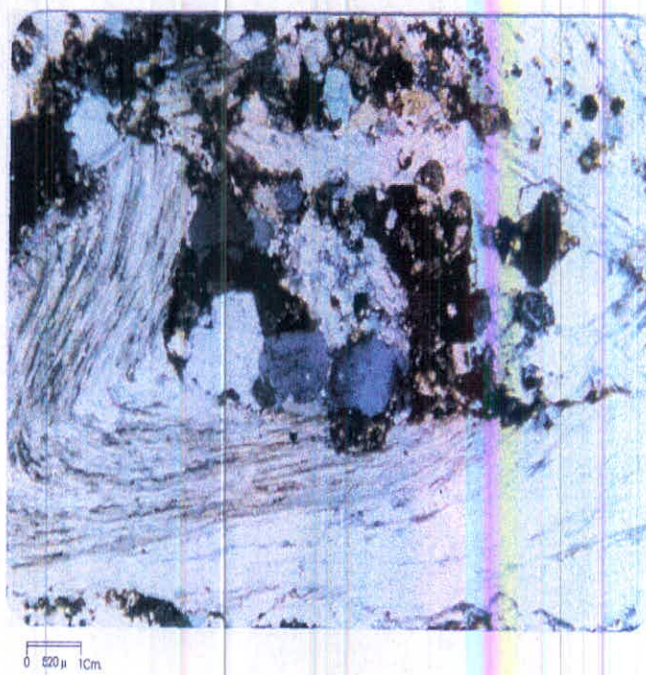
سنگ آهک حاوی قطعات فسیل، دانه های کوارتز و اکسید های آهن. نام سنگ بر

اساس طبقه بندي فولک سندي بايوميكريت و دانهام سندي بايوكلاستيک پكستون می باشد.

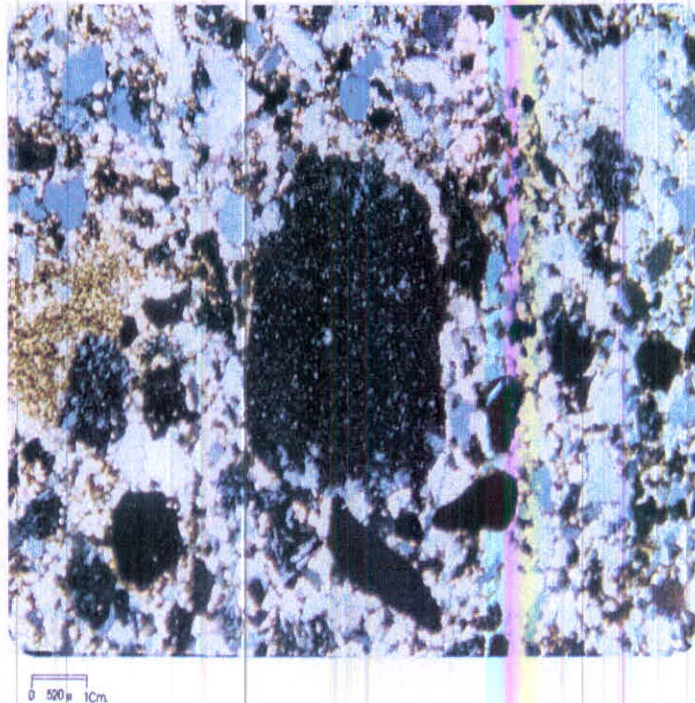
Nak₁₅ نمونه

در اين ماسه سنگ قطعات سنگي مشخصی وجود دارد و بر اين اساس ليتik آرنایت نام گذاري

شده است. اين ماسه سنگ از ۶۵٪ کوارتز، ۲۰٪ قطعات ولکانيکي و ۵٪ قطعات



شکل ۴-۶ تصویر مقطع میکروسکوپی نور بالایزه سندي بايو کلاستك بکستون (دانهام) و سندي بايو میکرایت (فولک) متعلق به سازند خوش يلاق - مقاطع Nak₁₈₋₃ و Nak₁₈₋₁ - زدیک روستای ابرسج به سمت مزرعه کلاته



شکل ۴-۷ تصویر مقطع میکروسکوپی در نور بالایزه لبیک آرتیت بصورت ایمچور حاوی قطعات ولکانیکی و آهکی متعلق به محبر ۳ خوش يلاق - نمونه Nak₁₅ - دره ابرسج

آهکی تشکیل شده است. فشردگی در این ماسه سنگ بسیار کم است و دانه ها شناور در متن هستند. اجزای تشکیل دهنده توسط سیمان آهکی به یکدیگر متصل شده اند. دانه ها زویه دار و جور شدگی ضعیف می باشد. از نظر بافتی این ماسه سنگ عمدتاً به صورت ایمچور (نا بالغ) دیده می شوند.

۲-۴ مطالعه مقاطع آذربین

Nak₂₈ نمونه

کانی های تشکیل دهنده این نمونه به ترتیب شامل: پلاژیوکلاز، هورنبلند، کلریت و کانی های اپاک می باشند. بافت زمینه سنگ میکرولیتی حاوی کانی های پورفیری است نام سنگ آندزیت می باشد.

نمونه Nak₁ (شماره آزمایشگاه)

کانی های تشکیل دهنده این نمونه به ترتیب شامل پلاژیوکلاز، پیروکسن، کانی های اپاک و الیوین تجزیه شده می باشند. بافت زمینه سنگ میکرولیتی حاوی کانی های پورفیری است. نام سنگ بازالت می باشد.

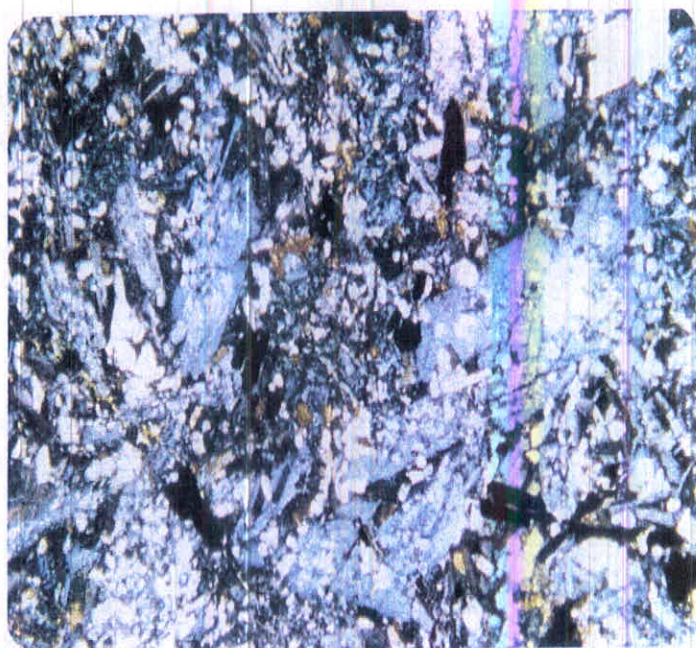
نمونه Nak₂₉ (شماره آزمایشگاه)

کانی های تشکیل دهنده این نمونه به ترتیب شامل پلاژیوکلاز، اکسیدهای آهن و کلسیت می باشند. زمینه سنگ کلاً توسط اکسید آهن پر شده است، این اکسیدهای آهن بطور

یکنواخت در زمینه پخش شده اند. همچنین حفراتی که توسط کلسیت پر شده اند در زمینه مشاهده می شوند. نام سنگ آندزیت می باشد.



شکل ۸- کانی های تشکیل دهنده سنگ عبارتنداز : پلازیوکلاز + هورنبلند + کلریت + کانی های اپاک ، نام سنگ آندزیت



شکل ۹- کانی های تشکیل دهنده سنگ عبارتنداز : پلازیوکلاز + پیروکسن + کانی های اپاک + الیوین تجزیه شده ، نام سنگ بازالت

Nak₁₇

کانی های تشکیل دهنده این نمونه به ترتیب شامل پلاژیوکلاز و کلسیت به صورت ثانویه که شکافهای سنگ را پر کرده اند می باشند . زمینه سنگ میکرولیتی حاوی کانی های پورفیری است . نام سنگ آندزیت می باشد .

Nak₁₂

کانی های تشکیل دهنده این نمونه به ترتیب شامل پلاژیوکلازهای درشت تجزیه شده ، میکرولیت پلاژیو کلاز و کلسیت می باشند . زمینه سنگ میکرولیتی حاوی کانی های پورفیری است . نام سنگ آندزیت می باشد .

نمونه ₂ (*Nak* / شماره آزمایشگاه)

کانی های تشکیل دهنده این نمونه به ترتیب شامل پلاژیوکلاز ، کلسیت و اکسیدهای آهن می باشند . قسمت اعظم سنگ توسط کلسیت پرشده است که ثانویه می باشد . زمینه سنگ میکرولیتی در بعضی قسمتها حفره ای (توضیح کلسیت پرشده اند) است . نام سنگ آندزیت می باشد .

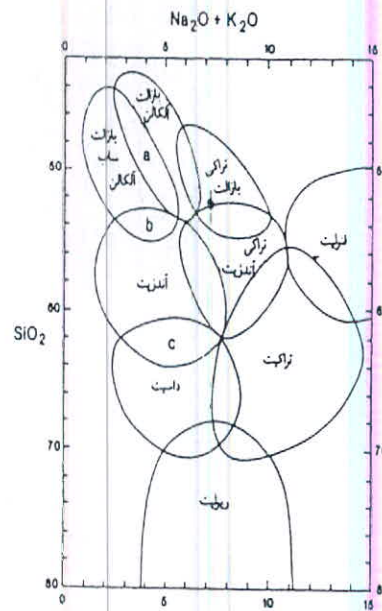
۴-۳ بررسی ژئوشیمیایی نمونه آذرین *NaK₁₇*

در منطقه مورد مطالعه یک نمونه از سنگهای آذرین دارای نتیجه آنالیز XRF از اکسیدهای اصلی است . طبیعتاً بر اساس یک نمونه نمی توان قضاؤت عمومی انجام داد ، اما سعی کرده ایم که از اطلاعات موجود حداقل استفاده ممکن را انجام دهیم . لذا بر اساس نتایج

آنالیز شیمیایی نمونه NaK_{17} به نام گذاری سنگ و بررسی (احتمالی) سری ماقمایی در این قسمت می پردازیم.

الف) نامگذاری نمونه NaK_{17} بر اساس نتایج آنالیزهای XRF

بر اساس طبقه بندی ژئوشیمیایی میدل موست (۱۹۸۰) و کوکس (۱۹۷۹) به نامگذاری نمونه سنگ آذرین آشفشنانی NaK_{17} پرداخته ایم که نتیجه آن در اشکال ۱۰-۴ و ۱۱-۴ ارائه شده اند.



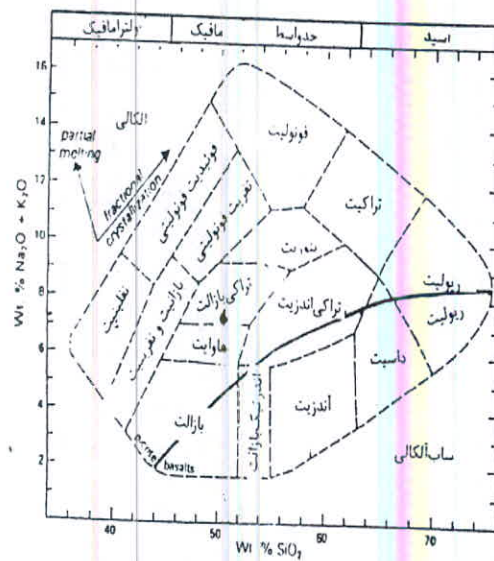
شکل ۱۰-۴ طبقه بندی ژئوشیمیایی نمونه NaK_{17} منطقه ابرسچ (میدل موست ۱۹۸۰)

لذا نمونه مذکور بطور کلی جزء ولکانیکهای بازیک تا حد واسط از سری ماقمایی آلکالن است.

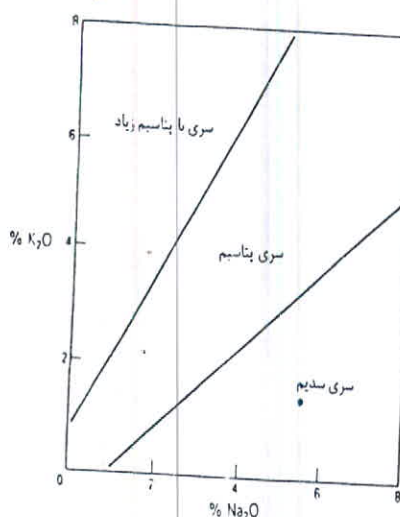
ب) بررسی سری مagmaی نمونه Nak_{17}

با توجه به شکل ۱۱-۴ نمونه مورد مطالعه در سری magmaی آکالان قرار می‌گیرد. در

شکل ۱۲-۴ سدیک یا پتاسیک بودن سری magmaی مشخص گردیده است.



شکل ۱۱-۴ نمودار نامگذاری نمونه سنگ آتششکنی Nak_{17} و تعیین سری magmaی آن - منطقه ابرسج (کوکس ۱۹۷۹)



شکل ۱۲-۴ نمودار تغییریک سنگهای آذرین آکالان سدیک از پتاسیک نمونه Nak_{17} - منطقه ابرسج

لذا با توجه به موقعیت منطقه مورد نظر که جزء زون البرز شرقی است ولکانیک های منطقه جزو سری ماقمایی آکالان و سدیک بوده و احتمالاً ممکن است حاصل زون تصادم در قاره باشد.

فصل پنجم

تحلیل رئوی‌سیمایی اطلاعات منطقه هور د مطالعه

۱-۵ مقدمه

بررسی های مقدماتی و برداشت‌های صحرایی، حاکی از وجود افقهای خاک قرمز -

قهقهه ای و سیلیسی در منطقه مورد مطالعه هستند که نیاز به بررسی های ژئوشیمیایی دارند.

جهت بررسی های کاملتر افقهای معدنی احتمالی مذکور، نمونه برداری لازم در حد مطالعات

مقدماتی صورت پذیرفته بطوریکه ۱۴ نمونه از کل این دو بخش برداشته شده اند که هفت تای

آنها خاکهای قرمز - قهقهه ای و هفت تای دیگر مربوط به سیلیس هستند. لذا در این فصل در

خصوص هر واحد بررسی ژئوشیمیایی مربوطه ذکر خواهد شد.

۲-۵ تخمین مقادیر سنسرود

همانگونه که در نتایج آنالیزهای XRF نمونه های منطقه نکارمن - ابرسج ملاحظه

می شود، مقادیری از ترکیب SO_3 به صورت کوچکتر از حد حساسیت دستگاه ارائه شده اند.

وجود این خلاصه اطلاعاتی در بررسیهای آماری ایجاد اختلال می کند زیرا:

الف- روش‌های آماری نیاز به مجموعهٔ کاملی از داده‌های غیر سنسورد دارند.

ب- تعیین محدودهٔ آنومالی‌ها ماهیت نسبی دارد.

عدم احتساب داده‌های سنسورد در برآوردهای آماری مقدار زمینه را افزایش داده و در

نتیجه آنومالی‌ها کمتر نمایان می شوند. در حالیکه با تخمین داده‌های سنسور و احتساب آنها

حد زمینه کمتر شده و آنومالی‌ها بارزتر نمایان می شوند.

برای تخمین مقادیر سنسورد روش‌های مختلفی همچون روش احتساب $\frac{3}{4}$ مقدار حد

حساسیت، روش بیشترین درست نمایی، روش متوسط مقادیر و روش ترسیمی وجود دارد. در

اینجا با توجه به اهمیت نه چندان بالای ترکیب SO_3 در اولویت بندی آنومالی‌ها، از روش

متوسط مقادیر موجود، جهت تخمین مقادیر سنسور استفاده شده است. لذا مقدار ۳۳٪ به

عنوان مقادیر سنسور جایگزین خواهد شد.

۳-۵ جدایش جوامع همگن

یکی از مسائل مهم در مطالعات زمین آماری جدا کردن داده‌های مربوط به جوامع آماری

است. بدین ترتیب که ضمن جدا کردن نتایج آنالیز جوامع سنگی مختلف از هم و محاسبه

၆၇၈ ၂၁၁၈ ၁၉၁၈ ၁၉၁၈ ၁၉၁၈ ၁၉၁၈ ၁၉၁၈ ၁၉၁၈ ၁၉၁၈ ၁၉၁၈

ପ୍ରତିକାଳର ମହାନ୍ ଲାଙ୍ଘଣି ଏବଂ ପରିଚୟ କରିବାକୁ ପାଇବାର ଉପରେ ଏହାର ଅଧିକାର ହେଲା.

6. മാർക്കറ്റ് ടെക്നോളജി എന്ന് പറയുന്നത് എന്തെന്ന്?

କାଳେ ଶରୀରରେ ଦୁଇଟି ପାଦଗାନ୍ତରେ ଏହାର ପାଦଗାନ୍ତରେ ଏହାର ପାଦଗାନ୍ତରେ

କେବଳ ଶାରୀରିକ ପରିପାଦାରେ ନାହିଁ, ମାତ୍ରାରେ କିମ୍ବା ଅନ୍ତର୍ମାଣରେ ନାହିଁ।

የኢትዮጵያ ሥነ ቁጥር 6 የፌዴራል የስራ ዓመት አንቀጽ 9 XRF ደንብ አገልግሎት አለበት ነው

(ଦେଖିବାରେ) କେବଳ ଏହି ଗୁଣିତାଙ୍କ କିମ୍ବା କେବଳ ଏହି ପରିମାଣରେ ଏହି ଗୁଣିତାଙ୍କ କିମ୍ବା

የኢትዮጵያ ከተማ ሚኒስቴር የሚከተሉት በንግድ ተቋማ ተደርጓል

၁၆၃ အာမိန္ဒရီ ၁၉၇၅၊ ၂၀၁၁ ခုနှစ်

የጊዜ ማስታወሻ ተከተል የሚከተሉት ስርዓት ይሰጣል ፈቃድ ምን በኩል ተከተል ይሰጣል

၁၆၈၂ ခုနှစ်၊ မြန်မာနိုင်ငံ၊ ရန်ကုန်တောင်းခွဲ၏ အတွက် ပေါ်လေသူများ၏ အတွက် ပေါ်လေသူများ၏ အတွက်

የዚህንና, የዚህንና በዚህንና ስለሚ ችግር መሆኑን እና ተደርጓል ይችላል.

ଲୁହାରୀ କିମ୍ବା ଲୁହାରୀ, ଲୁହାରୀ ଏଣ୍ଟି କିମ୍ବା ଲୁହାରୀ ନାମରେ ଜ୍ଞାନପଦ୍ଧତି ଗ୍ରହିଣୀ ପାଇଁ ପରିଚ୍ଯାତ ହେଲା.

محاسبه شده و سپس داده ها تحت تجزیه و تحلیل خوش ای (Cluster) قرار می گیرند. از

این طریق عناصر مختلف در چند گروه خلاصه می شوند.

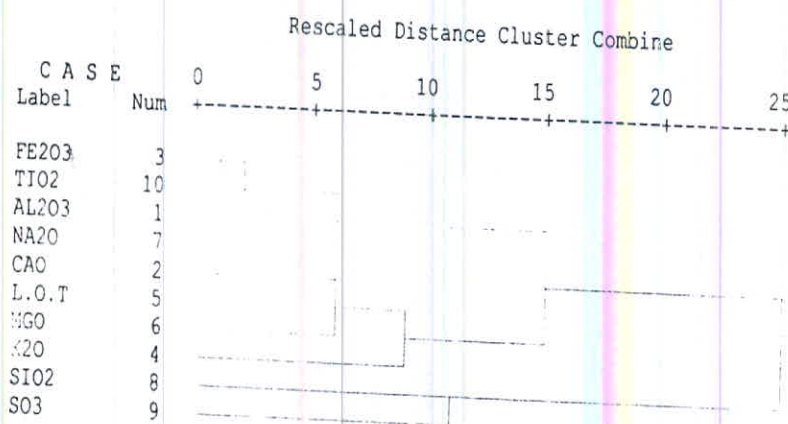
در این تحقیق ۱۰ ترکیب اکسیدی وجود دارند که بایستی آنومالی مربوط به آنها تعیین گردد.

ابتدأ ما نتیجه تجزیه و تحلیل خوش ای کلیه نمونه ها بدون تفکیک جنس (۱۷ نمونه) آنها را

ترسیم نموده ایم (شکل ۱-۵).

* * * * * HIERARCHICAL CLUSTER ANALYSIS * * * * *

Dendrogram using Average Linkage (Between Groups)



شکل ۱-۵ نمودار خوش ای کلیه نمونه های منطقه نگارمن - ابرسج

همانگونه که ملاحظه می شود کلیه تغییرات را می توان در سه فاکتور خلاصه کرد:

$$\text{Factor1} = (\text{Fe}_2\text{O}_3 + \text{TiO}_2 + \text{Al}_2\text{O}_3) + \text{Na}_2\text{O}$$

$$\text{Factor2} = [(\text{CaO} + \text{LoT}) + \text{MgO}] + \text{K}_2\text{O}$$

$$\text{Factor3} = \text{SiO}_2 + \text{SO}_3$$

۵-۵ تجزیه و تحلیل ژئوشیمیایی آماری خاکهای سرخ منطقه

همانگونه که مذکور شدیم تعداد هفت نمونه به شماره های Nak₁, Nak₄, Nak₁₀, Nak₂₁, Nak₂₅, Nak₃₀ و Nak₃₀ از این افقها در کل منطقه برداشت شده اند. بررسی این نمونه ها مطالعات ژئوشیمیایی به روشهای مختلف انجام شده است که در ادامه در خصوص هر یک توضیح داده می شود.

۱-۵-۵ روش بررسی هاله های مرکب

همانطوریکه ذکر شد جهت سادگی تحلیل ها، جلوگیری از خطاهای نتیجه گیری دقیق و تقویت هاله های اطراف توده های کانساری روش بررسی هاله های مرکب خاکهای سرخ از بررسی تک عنصری پاسخگویی بهتری خواهد داشت. اولین گام در بررسی هاله های مرکب خاکهای سرخ منطقه محاسبه ماتریس همبستگی بین عناصر (جدول ۱-۵) و بر این اساس با روش میانگین گیری مقادیر نمودار خوش ای ترسیم می شود (شکل ۲-۵).

لذا می توان ۱۰ ترکیب اکسیدی را به سه فاکتور (جامعه آماری) نزدیک به هم تقسیم کرد. این جوامع آماری عبارتند از :

$$\text{Factor1} = (\text{CaO} + \text{LOT}) + \text{MgO}$$

$$\text{Factor2} = (\text{Fe}_2\text{O}_3 + \text{TiO}_2) + \text{Al}_2\text{O}_3$$

$$\text{Factor3} = [(\text{K}_2\text{O} + \text{Na}_2\text{O}) + \text{SiO}_2] + \text{SO}_3$$

جدول ۱-۵ ماتریس همبستگی بین عناصر در هفت نمونه برداشته شده از خاکهای سرخ منطقه نکارمن - ابرسج . هر چقدر دترمینان ماتریس همبستگی کوچکتر باشد ، انجام تحلیل فاکتوری معتبر تر است

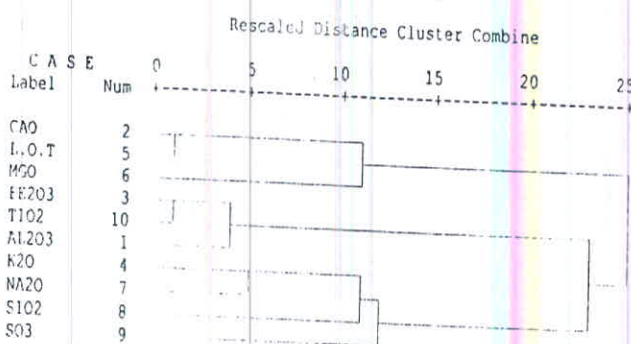
Correlation Matrix:

	AL203	CAO	FE203	K20	L.O.T	MGO	NA20
AL203	1.00000						
CAO	-.79478	1.00000					
FE203	.70984	-.30413	1.00000				
K20	-.05330	-.28152	-.18493	1.00000			
L.O.T	-.72410	.94332	-.22037	-.39970	1.00000		
MGO	-.51557	.28357	.32577	.14770	.48419	1.00000	
NA20	-.26749	-.29915	-.61847	.69725	-.38232	.31460	1.00000
SiO2	.56776	-.88102	-.03535	.33914	-.95722	-.46841	.49477
SO3	-.49283	.06606	-.59685	.19779	-.11642	-.15942	.46234
Tl02	.76233	-.42727	.90749	.00783	-.35384	-.39025	-.57631
	SiO2	SO3	Tl02				
SiO2	1.00000						
SO3	.31344	1.00000					
Tl02	.11728	-.49316	1.00000				

Determinant of Correlation Matrix = .0000000

***** HIERARCHICAL CLUSTER ANALYSIS *****

Dendrogram using Average Linkage (Between Groups)



شكل ۲-۵ نمودار خوش ای ۷ نمونه برداشته شده از خاکهای سرخ منطقه نکارمن - ابرسج

۲-۵-۵ روش‌های تخمین مقدار زمینه و حد آستانه ای

در دو دهه گذشته روش‌های مختلفی شامل روش‌های یک متغیره و چند متغیره برای تخمین

مقدار زمینه و حد آستانه‌ای پایه ریزی شده‌اند. این تخمین‌ها بعنوان روش‌های آماری در

عرض خطاهای تصادفی و سیستماتیک قرار دارند.

سینکلر و استانلی^۱ (۱۹۸۹) روش‌های انتخاب حد آستانه‌ای را به سه گروه طبقه‌بندی

می‌کنند که عبارتند از:

الف - روش‌های تجربی.

ب - روش‌های مبتنی بر مدل توزیع همراه با نظر شخصی.

ج - روش‌های مبتنی بر مدل توزیع و بدون نظر شخصی.

در این تحقیق از هر سه گروه ذکر شده جهت تحلیل نتایج آنالیزها سود برده ایم. بدین

ترتیب که ابتدا توسط روش‌های تجربی آنومال‌ها مشخص شده‌اند. از روش‌های آماری نوع «ب»

روش $\bar{X} + 2S$ جهت محاسبه مقادیر زمینه و حد آستانه‌ای مورد استفاده قرار گرفته است. این

روش با وجود محدودیت‌هایی که دارد بدلیل سهولت کاربرد بطور وسیع مورد استفاده قرار

می‌گیرد.

در روش‌های آماری نوع «ج» چندین روش وجود دارد که عبارتند از: نمودار احتمال^۲ یا

حاصلضرب PN، روش‌های آماره انصال^۳ و روش آنالیز فاکتوری. در ادامه گزارش به ترتیب

تحلیل تجربی، روش $\bar{X} + 2S$ و روش آنالیز فاکتوری آورده خواهد شد.

۳-۵-۵ توصیف تجربی نتایج آنالیز های XRF و XRD

به منظور برآورد ماهیت رئوشیمیایی نمونه ها فوق الذکر در جدول ۲-۵ نتایج آنالیز

XRF نمونه ها ارائه شده اند:

جدول ۲-۵ آنالیز XRF نمونه برداشت شده اند خاکهای قرمز - قهوه ای منطقه مورد مطالعه

شماره نمونه	محل برداشت	نتایج XRF									
		SiO ₂	Al ₂ O ₃	TiO ₂	Fe ₂ O ₃	CaO	MgO	Na ₂ O	K ₂ O	SO ₃	
Nak ₁	دره شرق ابرسج واحد قاعده الیکا	۴۵/۴	۱۱/۷	۰/۵۸	۴/۳۹	۱۶/۴	۰/۷۴	۰/۶	۳/۸۹	۰/۳۳	۱۵/۱
Nak ₄	نزدیک ابرسج به سمت کلاتنه	۵۲/۳	۹/۱	۰/۴۴	۲/۶۲	۱۳/۵	۱/۴۸	۰/۵۶	۲/۹۵	۱/۲۷	۱۵/۴
Nak ₁₀	نکار من	۵۵/۶	۱۲/۷	۰/۵۶	۳/۶۳	۲/۹	۸/۱۷	۰/۹۸	۴/۳۶	۰/۳۳	۱/۲
Nak ₁₉	سمت چپ دره نکارمن	۲۰/۲	۸/۰۷	۰/۳۳	۳/۸۷	۲۵/۸	۷/۳۲	۰/۱۸	۱/۶۹	۰/۰۳	۳۲/۱
Nak ₂₁	نرسیده به نکارمن	۵۵/۷	۱۸/۸	۱/۳۲	۹/۲۴	۲/۹	۰/۳۱	۰/۲۴	۱/۷۹	۰/۰۷	۹/۰۸
Nak ₂₅	نزدیک کلاتنه به سمت نکارمن (نمونه معروف ترانشه نکارمن (کلاتنه))	۵۵/۷	۱۸/۶	۱/۷۲	۶/۹۱	۳/۴	۰/۴۳	۰/۲۴	۳/۰۲	۰/۰۳	۹/۶۷
Nak ₃₀	دره قبل از نکارمن	۳۲/۸	۱۴	۲	۱۰/۶	۱۴	۳/۷۷	۰/۱۲	۳/۴۷	۰/۰۶	۱۹

نتایج آنالیزهای شیمیایی رسهای نسوز آباده ، رس و ماسه سنگ ریزدانه زیر رسهای نسوز

آباده ، رسهای لالجین همدان و دامنه تغییرات مواد رسی مصرفی به عنوان نسوز در جدول ۳-۵

2- Probability Plot

3- Gap Statistics

آورده شده است.

جدول ۳-۵ نتایج آنالیز شیمیایی رسهای آباده، لاجین و دامنه تغییرات مواد رسی بعنوان نسوز
(قربانی - منصور و ارزانی - کاوه، ۱۶ - ۱۳۷۳)

ردیف	محل	نتایج آنالیز							توضیحات	
		$\text{Al}_2\text{O}_3 + \text{TiO}_2$	Fe_2O_3	$\text{CaO} + \text{MgO}$	Na_2O	LOI	PL			
۱	رسهای نسوز آباده	۲۵/۶-۳۰/۳۱	۰/۷۵-۵/۶	۰/۴۱-۰/۷۵	۰/۳۶-۰/۷	۹/۶۲-۱۲/۷۵	۶-۲۰	کالوپیت با ناخالصی کواکتر (Q)، هماتیت، لیمونیت و زیرکن		
	رس، ماسه ریز دانه رسهای نسوز آباده	Al_2O_3		CaO ۰/۱ ۱/۸۳	MgO ۰/۰۳ ۰/۴۷	Na_2O ۰/۶۴-۲ ۱۳/۶۵	LOI ۰/۴۸ ۱/۴۸	K_2O ۰/۱۵-۰/۷	SO_3 ۰/۲-۰/۷۶	SiO_2 ۲۴-۷۶
۳	رسهای لاجین همدان	۱۶/۵۷	۵/۷۳	۱۲/۹۷	۲/۰۶	۰/۰۷	۱۳/۴	۲/۲۱	کاهنی اصلی: Q، ابلیت، کلست، کالوپیت، کلریت کاهنی فرعی: Pb_2O_3 ، آلویت، هماتیت و ترکیبات اورگانیکی	
۴	دامنه تغییرات مواد رسی صرفی بعنوان نسوز	۲۳-۳۸	۰/۴-۱/۷	۰/۱۰/۴ ۰/۸	۰/۱-۱	۰/۰۵-۰/۵	—	۰/۰۵-۱/۹	۱-۲/۵ ۴۲-۵۸	

در مرحله اول چنانچه نمونه های مورد مطالعه با اطلاعات جدول ۳-۵ مقایسه شود

مالحظه خواهیم کرد که فقط دو نمونه Nak_{21} و Nak_{25} با رس های ردیف (۲) قابل مقایسه اند که از CaO و K_2O بالاتری برخوردارند و در مقایسه با رسهای لاجین Fe_2O_3 و SiO_2 آنها بالاتر است.

در مرحله دوم جهت مقایسه خاکهای قرمز - قهوه ای موجود در منطقه با بوکسیت ها،

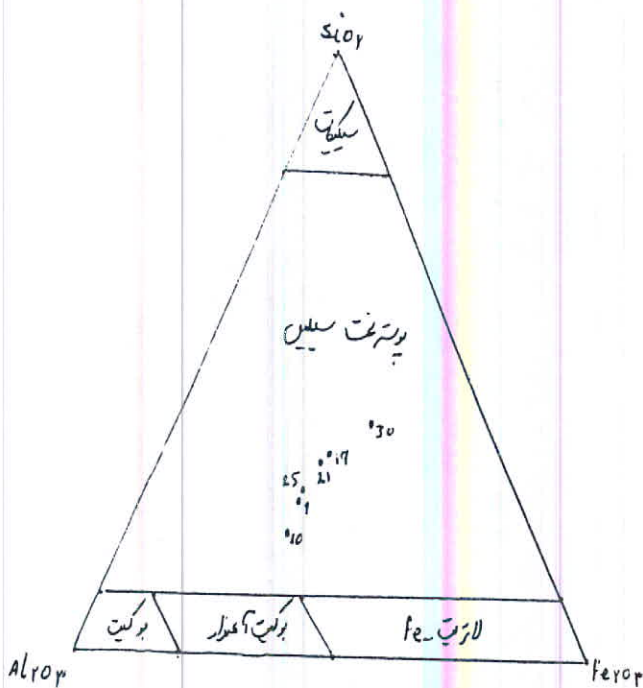
کلیه نمونه ها بر روی دیاگرام مثلثی $\text{Al}_2\text{O}_3 - \text{SiO}_2 - \text{Fe}_2\text{O}_3$ بوکسیتها برده شده اند (شکل ۳-۵) که کلیه نمونه ها در این دیاگرام جزء پوسته های سخت سیلیسی محسوب می شوند.

همچنین جهت مقایسه بیشتر، آنالیزهای ذخیره Cap Baugainville استرالیا که به

عنوان بوکسیت استخراج می شود در جدول ۴-۵ آورده شده اند.

جدول ۵-۴ نتایج آنالیز بوکسیت Cap Baugainville استرالیا

%Al ₂ O ₃	% فعال SiO ₂	مجموع SiO ₂
۳۶	۱/۹	۱۸

شکل ۳-۵ دیاگرام مثلثی Al₂O₃ - SiO₂ - Fe₂O₃ خاکهای قرمز - قهوه‌ای مورد مطالعه

همانطور که مشاهده می‌گردد نسبت کل %Al₂O₃ > %SiO₂ > %Al₂O₃ است، حال آنکه در

منطقه مورد مطالعه در کلیه نمونه‌ها درصد %SiO₂ > %Al₂O₃ > %Al₂O₃ می‌باشد.

در آخرین مرحله جهت مقایسه، نتایج آنالیز نمونه‌های معادن بتونیت ایران در جدول

۵-۵ آورده شده‌اند.

جدول ۵-۵ ترکیب شیمیایی برخی از معادن بتونیت ایران (کریمپور، ۱۳۷۷ - حجازی، ۱۳۷۳)

محل اکسید(%)	چاه کم طبس	خوشاب کاشمر	گناباد	مهرجان اصفهان	سیاه کوه تهران	حسامیه فردوس
SiO ₂	۵۸/۳۶	۵۳/۴۷	۶۹/۹۹	۶۶/۷۹	۶۸/۰۲	۶۵/۵۷
Al ₂ O ₃	۱۴/۸	۱۴/۹۷	۱۳/۵۸	۱۵/۰۹	۱۳/۳۷	۱۱/۱۷
Fe ₂ O ₃	۰/۹۴	۲/۷	۱/۲۸	۱/۶۹	۱/۳۷	۱/۰۴
TiO ₂	—	۰/۰۶	۱/۲	—	—	۰/۰۲
CaO	۵/۲۳	۴/۹۶	۱/۲۱	۱/۵۴	۱/۳۳	۰/۲۳
MgO	۳/۲۳	۲/۴۷	۱/۱۵	۲/۶۷	۱/۹۲	۲/۰۵
K ₂ O	۰/۱۹	۰/۳۵	۱/۴۷	۰/۲۹	۰/۴	۰/۰۹
Na ₂ O	۲/۴۵	۱/۱۷	۱/۷۳	۲/۲۳	۲/۷۷	۲/۶۵
LOI	۶/۵	۱۹/۴۱	۹/۶۷	۸/۴	۹/۹۷	۱۵/۲۶
نوع بتونیت	Ca	Ca	Na - Ca	Na	Na	Na

از مقایسه نتایج آنالیز XRF از مقایسه نمونه های مورد مطالعه با جدول فوق الذکر

ملاحظه می گردد نمونه های Nak₁, Nak₁₀, Nak₂₁, Nak₂₅ و Nak₃₀ با نتایج جدول فوق

مشابهت نزدیکی دارند و صرفاً درصد CaO نمونه ها بالاست و درصد K_2O و Fe_2O_3 نمونه Nak_1 بالا می باشد.

در ضمن لازم به ذکر است که خاکهای قرمز - قهوه ای منطقه متعلق به پرمین هستند.

روش ۴-۵-۵ $\bar{X} + 2S$

اگر مقادیر بیش از $\bar{X} + 2S$ را بعنوان آنومالی ژئوشیمیایی در نظر بگیریم در این صورت بر اساس روش لپلتیه (۱۹۶۹)^۱ می توان مقادیر زمینه و حد آستانه را بدست آورده و آنومالی ها را به صورت زیر طبقه بندی نمود:

$$\bar{X} + 2S < \text{آنومالی ممکن} < \bar{X} + 3S$$

$$\bar{X} + 3S < \text{آنومالی احتمالی} < \bar{X} + 4S$$

$$\text{آنومالی قطعی} < \bar{X} + 4S$$

در یک توزیع نرمال $2/14$ درصد از داده بین $\bar{X} + 2S$ و $\bar{X} + 3S$ (آنومالی ممکن)، $13/0$ درصد بین $\bar{X} + 3S$ و $\bar{X} + 4S$ (آنومالی احتمالی) قرار داشته و $1/0$ درصد داده ها مقداری بیش از $\bar{X} + 4S$ دارند (آنومالی قطعی).

یکی از معایب این روش این است که برای هر سری از داده‌ها همیشه مقادیری به عنوان آنومالی بدست می‌آید حتی اگر سری داده‌های مورد نظر آنومالی با اهمیتی نداشته باشدند. به هر حال در مطالعه فعلی از این روش نیز استفاده شده است.

در جدول (۶-۵) مقادیر مربوط به سه فاکتور جامعه آماری تحلیل شده را آورده ایم.

جدول (۶-۵) داده‌های سه فاکتور جامعه آماری خاک سرخ

شماره نمونه	Factor1	Factor2	Factor3
Nak ₁	۳۲/۹۴	۱۶/۶۷	۵۰/۲۲
Nak ₄	۳۰/۳۸	۱۲/۱۶	۵۷/۰۸
Nak ₁₀	۲۱/۲۷	۱۶/۸۹	۶۱/۲۷
Nak ₁₉	۶۵/۲۲	۱۲/۲۴	۲۲/۱
Nak ₂₁	۱۲/۲۶	۲۹/۲۶	۵۷/۸
Nak ₂₅	۱۳/۵	۲۷/۲۳	۵۸/۹۹
Nak ₃₀	۳۶/۷۷	۲۶/۶	۳۶/۴۵

در جدول (۷-۵) مقادیر میانگین و انحراف از معیار چهار گانه که توسط نرم افزار Geoeas محاسبه شده است ارائه نموده ایم.

جدول ۷-۵ مقادیر میانگین، انحراف معیار از سایر پارامترهای آماری خاک سرخ نکارمن - ابرسج

جامعه	میانگین \bar{X}	انحراف از معیار S.D	$\bar{X} + 2S.D$	$\bar{X} + 3S.D$	$\bar{X} + 4S.D$
Factor1	۳۰/۳۳۴	۱۸/۰۶۲	۶۶/۴۵۸	۸۴/۰۵۲	۱۰۲/۰۸۲
Factor2	۲۰/۱۶۴	۷/۳۶۸	۳۴/۹	۴۲/۲۶۸	۴۹/۶۳۶
Factor3	۴۹/۱۳	۱۴/۵۸۱	۷۸/۲۹۲	۹۲/۸۷۳	۱۰۷/۴۵۴

بدین ترتیب به راحتی می‌توان از روی جدول (۶-۵) و (۷-۵) انواع آنومالی‌های مربوط به هر یک از سه جامعه را تعیین نمود. نتایج مذکور در جدول (۸-۵) آورده شده است.

جدول (۸-۵) انواع آنومالی‌های جوامع سه گانه که توسط روش $\bar{X} + 2S$ بدست آمده اند

آنومالی قطعی	آنومالی احتمالی	آنومالی ممکن	جامعه
—	—	—	Factor1
—	—	—	Factor2
—	—	—	Factor3

با توجه به اینکه هیچکدام از نمونه‌ها آنومالی نداده اند، لذا اقدام جهت آنالیز ویژگی نیز متفقی است.

توجه: لازم به ذکر است که صرفاً نمونه Nak خیلی به $\bar{X} + 2S$ (آنومالی ممکن) نزدیک است ولی کمی کوچکتر از آن است.

۵-۵-۵ روش آنالیز فاکتوری

در روش آنالیز فاکتوری ابتداً می‌بایست ضریب همبستگی بین عناصر و جوامع سه گانه را به دست آورد، البته باید توجه داشت که این جوامع سه گانه بر اساس ۸۹٪ نقش بازی کردن جوامع به دست آمده اند و با جوامع سه گانه قسمت قبل فرق می‌کنند (جدول ۹-۵).

ماتریس ضریب همبستگی فوق الذکر در جدول ۱۰-۵ آورده شده است، به گونه‌ای که

جوابع چهارگانه را نیز به تفکیک معرفی می‌کند.

جدول ۹-۵ نتایج آنالیز مولفه‌های اصلی (PCI) بر روی نمونه‌های برداشته شده از خاکهای سرخ

Extraction 1 for analysis 1, Principal Components Analysis (PC)

Initial Statistics:

Variable	Communality	Factor	Eigenvalue	Pct of Var	Cum Pct
AL203	1.00000	1	4.34614	43.5	43.5
CAO	1.00000	2	3.32368	33.2	76.7
FE203	1.00000	3	1.25184	12.5	89.2
K20	1.00000	4	.67898	6.8	96.0
L.O.T	1.00000	5	.30315	3.0	99.0
MGO	1.00000	6	.09620	1.0	100.0
NA20	1.00000	7	.00000	.0	100.0
SIO2	1.00000	8	.00000	.0	100.0
SO3	1.00000	9	.00000	.0	100.0
TIO2	1.00000	10	.00000	.0	100.0

Final Statistics:

Variable	Communality	Factor	Eigenvalue	Pct of Var	Cum Pct
AL203	.95899	1	4.34614	43.5	43.5
CAO	.91929	2	3.32368	33.2	76.7
FE203	.88997	3	1.25184	12.5	89.2
K20	.68171				
L.O.T	.39659				
MGO	.84516				
NA20	.97850				
SIO2	.97849				
SO3	.81290				
TIO2	.85706				

EQUAMAX rotation 1 for extraction 1 in analysis 1 - Kaiser Normalization.
EQUAMAX converged in 7 iterations.

جدول ۱۰-۵ تفکیک ترکیبات آنالیزهای شیمیایی نمونه‌های منطقه نکارمن - ابرسچ به سه فاکتور

----- FACTOR ANALYSIS -----
Rotated Factor Matrix:

	Factor 1	Factor 2	Factor 3
L.O.T	-.97293	-.11667	-.19074
MGO	-.63687	-.00049	.66299
SIO2	.96540	-.14346	.16101
AL203	.68710	.68156	-.14956
CAO	-.87721	-.29236	-.25361
FE203	.17719	.87404	-.30761
SO3	.24305	-.86644	-.05577
TIO2	.32633	.83501	-.23092
NA20	.29882	-.54064	.77260
K20	.29200	-.07849	.77025

اکنون با ضرب ماتریس نتایج آنالیز نمونه ها در ماتریس ضریب همبستگی فاکتورها

(جدول ۱۰-۵) ، ماتریسی به دست می آید که اهمیت هر نمونه را در فاکتور های سه گانه نشان

می دهد . با مرتب کردن ماتریس بر حسب هر کدام از فاکتورها به ترتیب نزولی ، نمونه های با

اهمیت در آن فاکتور نیز به ترتیب نزولی مرتب می شوند و بدین ترتیب نمونه های با اهمیت از

نظر آن فاکتور شناخته می شوند . در جدول ۱۱-۵ ماتریس نتایج آورده شده است .

جدول ۱۱-۵ ماتریس نتایج آنالیز فاکتوری

شماره نمونه	Factor1	Factor2	Factor3
Nak ₁	۲۴/۲۵	-۱/۸۳	۰/۸۴
Nak ₄	۳۱/۱۹	-۶/۰۳	۳/۳۹
Nak ₁₀	۴۷/۵۰	۱/۲۲	۱۲/۸۶
Nak ₁₉	-۳۲/۰۳	-۵/۵۷	-۵/۵۳
Nak ₂₁	۵۸/۱۸	۱۱/۸۴	۲/۲۴
Nak ₂₅	۵۶/۹۸	۹/۷۳	۳/۶۹
Nak ₃₀	۱۱/۹۴	۸/۹۵	-۲/۴۶

همانگونه که در جدول (۱۱-۵) ملاحظه می شود ، آنومالترين نمونه های در ارتباط با

خاک سرخ به ترتیب نمونه های Nak₁ ، Nak₂₁ و Nak₂₅ هستند . نتیجه نهایی روش آنالیز

فاکتوری در جدول ۱۲-۵ آورده شده است .

جدول ۱۲-۵ نتایج نهایی روش آنالیز فاکتوری

آنومالی سوم (امتیاز)	آنومالی دوم (امتیاز)	آنومالی اول (امتیاز)	جامعه
Nak ₂₅ (۵۶/۶۱)	Nak ₂₁ (۵۷/۸)	Nak ₁ (۱۷۸/۳۵)	Factor1
Nak ₃₀ (۹/۰۷)	Nak ₂₅ (۹/۹۵)	Nak ₂₁ (۱۱/۷۸)	Factor2
Nak ₄ (۳/۳۳)	Nak ₂₅ (۳/۶۷)	Nak ₁₀ (۵/۹۴)	Factor3

۵-۶ تجزیه و تحلیل ژئوشیمیایی آماری ماسه سنگهای سیلیسی منطقه

با توجه به اینکه توضیحات کامل در خصوص روند تجزیه و تحلیل ژئوشیمیایی آماری در خاکهای سرخ منطقه داده شده است لذا در این قسمت صرفاً نتیجه هر روش را بیان خواهیم کرد.

۵-۶-۱ روش بررسی هاله های مرکب

ماتریس همبستگی بین عناصر هفت نمونه برداشته شده از ماسه سنگهای سیلیسی در

جدول ۱۳-۵ آورده شده است.

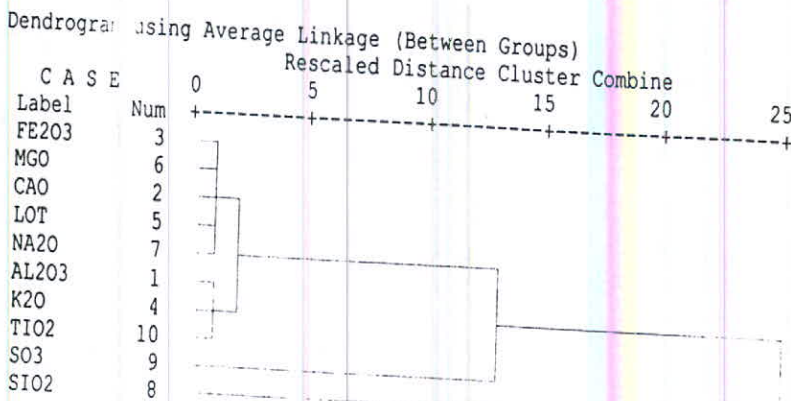
جدول ۱۳-۵ ماتریس همبستگی بین عناصر در هفت نمونه برداشته شده از ماسه سنگهای سیلیسی منطقه نکارمن - ابرسج

Correlation Matrix:

	CAO	FE203	K20	LOT	MGO	NA20	SiO2
CAO	1.00000						
FE203	.95623	1.00000					
K20	.81519	.88859	1.00000				
LOT	.98798	.98118	.85214	1.00000			
MGO	.95725	.99701	.88917	.98009	1.00000		
NA20	.92291	.94721	.87651	.95076	.96434	1.00000	
SiO2	-.96997	-.99102	-.90979	-.99163	-.98945	-.95924	1.00000
SO3	.00445	-.00121	.15363	.06066	-.05085	-.06817	-.07592
TiO2	.81180	.91647	.93377	.87277	.90892	.90360	-.91844
AL203	.81246	.90311	.98328	.87006	.90061	.89982	-.92288
SO3	1.00000	TI02	AL203				
TI02	.15399	1.00000					
AL203	.21871	.96984	1.00000				
Determinant of Correlation Matrix =				.0000000			

بر اساس اطلاعات جدول فوق به روش میانگین گیری مقادیر، نمودار خوش‌ای مربوطه

ترسیم شده است (شکل ۱۳-۵).



شکل ۴-۵ نمودار خوش‌ای ۷ نمونه برداشته شده از ماسه سنگهای سیلیسی منطقه نکارمن - ابرسچ

لذا می‌توان ۱۰ ترکیب اکسیدی به چهار جامعه آماری تقسیم می‌شد. این جوامع آماری

(فاکتورها) عبارتند از:

$$\text{Factor1} = \text{Fe}_2\text{O}_3 + \text{MgO} + \text{CaO} + \text{LoT} + \text{Na}_2\text{O}$$

$$\text{Factor2} = \text{Al}_2\text{O}_3 + \text{K}_2\text{O} + \text{TiO}_2$$

$$\text{Factor3} = \text{SiO}_2$$

$$\text{Factor4} = \text{SiO}_3$$

۲-۶ روش‌های تخمین مقدار زمینه و حد آستانه‌ای

در این تحقیق جهت تحلیل نتایج آنالیزها به روش تجربی آنومالی‌ها مشخص شده‌اند،

در روش‌های آماری مبتنی بر معدل توزیع همراه با نظر شخصی روش $\bar{X} + 2S$ جهت محاسبه

مقادیر زمینه و حد آستانه‌ای کمک گرفته شده و در روش‌های مبتنی بر معدل توزیع و بدون نظر

شخصی از روش آنالیز فاکتوری جهت پردازش داده‌ها کمک گرفته ایم.

۳-۶-۵ توصیف تجربی نتایج آنالیزهای XRD و XRF

همانطور که در مقدمه این فصل ذکر نموده ایم تعداد هفت نمونه از واحدهای ماسه سنگی سیلیسی سفید و قرمز رنگ منطقه مورد مطالعه برداشته شده است که شماره های آنها عبارتند از : Nak₃ ، Nak₅ ، Nak₁₄ ، Nak₁₅ ، Nak₁₆ ، Nak₂₂ و Nak₂₆ که به منظور بررسی های ژئوشیمیایی نتایج آنالیز XRF آنها در جدول ۱۴-۵ ذکر شده است .

جدول ۱۴-۵ نتایج آنالیز XRF واحدهای ماسه سنگ سیلیسی منطقه مورد مطالعه

شماره نمونه	محل برداشت	نتایج XRF									
		SiO ₂	Al ₂ O ₃	Fe ₂ O ₃	CaO	MgO	K ₂ O	Na ₂ O	TiO ₂	SO ₃	LOI
Nak ₃	عدسی سیلیسی تزدیک ابرسچ سمت کلاتنه	۹۲/۹	۲/۶	۰/۶۳	۰/۹۸	۰/۰۹	۰/۵۵	۰/۰۳	۰/۲۹	۰/۳۳	۱/۰
Nak ₅	خاک سفید رنگ کمی Nak ₃ بالاتر از محل Nak ₃	۹۰/۵	۲/۶۷	۰/۴۲	۲/۶	۰/۱۲	۰/۶۲	۰/۳۸	۰/۲۱	۰/۳۳	۲/۸۸
Nak ₁₄	ممبر ۱ خوش بیلاق - دره ابرسچ	۹۶/۲	۱/۵۵	۰/۴۲	۰/۱۶	۰/۰۷	۰/۲۹	۰/۰۳	۰/۱۵	۰/۰۷	۰/۹۱
Nak ₁₅	ممبر ۲ خوش بیلاق - دره ابرسچ	۵۴	۸/۷	۴/۰۳	۱۱	۳/۶۹	۲/۳۵	۱/۵۴	۰/۶	۰/۳۳	۱/۷۸
Nak ₁₆	ممبر ۳ خوش بیلاق - دره ابرسچ	۸۷/۳	۱/۶۵	۰/۹۸	۴/۵	۰/۴۸	۰/۴۹	۰/۰۳	۰/۱۵	۰/۳۳	۴/۷۸
Nak ₂₆	تزردیک نکارمن ، نمونه معرف ترانشه نکارمن-کلاتنه	۹۲	۳/۸۸	۰/۴۹	۰/۹	۰/۱۴	۱/۲۲	۰/۰۴	۰/۲۵	۰/۳۳	۰/۹۱
Nak ₂₂	ترانشه تزردیک ابرسچ (عدسی سیلیسی تزردیک ابرسچ)	۸۸/۷	۳/۹۲	۰/۷۱	۱/۴۸	۰/۰۸	۰/۸۶	۰/۰۴	۰/۲۷	۰/۷۹	۱/۸۷

گزارشهای ارائه شده حاکی از گسترش وسیعی از ماسه سنگ سفید رنگ نسبتاً خالص

تشکیلات جیرود با حد اقل ۳ میلیون تن ذخیره قابل استخراج مناسب و دارای دانه بندی خوب ،

سختی کم و آلوگی انگک در شمال شهرود می باشد .

گزارشها حاکی از وجود طبقات ماسه سنگ یا کوارتزیت در تشکیلات درود اند که مناسب

برای شیشه سازی اند ولی ذخیره جالبی تا کنون از آنها ذکر نشده است و می بایستی این

تشکیلات بطور گسترده تری مورد بررسی قرار گیرند.

احتمال آنکه ماسه سنگهای موجود در منطقه متعلق به پرمین باشد داده می شود.

در بین نمونه های ماسه سنگی فوق نمونه Nak_{15} آهک و دولومیتهاي ماسه سنگی است

که عیار SiO_2 آن فوق العاده پایینی است. نمونه Nak_5 نیز خاکه ای بوده که به لحاظ ترکیب

شیمیایی غیر قابل تشخیص در سرزمین بوده و جهت آنالیز ارسال گردیده است. اگر ما باقی

نمونه ها را با توجه با عیار، رنگ و سختی بخواهیم از یکدیگر مجزا سازیم می توانیم آنها را

مطابق جدول ۱۵-۵ به چهار گروه طبقه بندی کنیم (دو نمونه Nak_3 و Nak_{26} از یک

محل اند).

جدول ۱۵-۵ طبقه بندی ماسه سنگهای سیلیسی منطقه به چهار گروه با توجه به عیار SiO_2 ، رنگ و سختی

شماره گروه	شماره توصیف نمونه های هر گروه	$SiO_2 > 95\%$	$85 < SiO_2 < 95\%$
گروه اول	(کنگل سو مردا و ماسه سنگ سخت قرمز رنگ - نمیبر ۱ خوش بیلاق) Nak_{14}	✓	
گروه دوم	(ماسه سنگ سفید رنگ کوارتز آرناتیت نرم ترانشه T4) Nak_3 و Nak_{22}		✓
گروه سوم	(ماسه سنگ سفید رنگ کوارتز آرناتیت نرم) Nak_{26}	✓	
گروه چهارم	(ماسه سنگ قرمز رنگ ضخیم تا متوسط لایه نسبتاً سخت با میان لایه شیل) Nak_{16}		✓

$$\bar{X} + 2S \quad ۴-۶-۵ \text{ روش}$$

در جدول ۱۶-۵ مقادیر مربوط به چهار فاکتور جامعه آماری تحلیل شده را آورده ایم.

جدول ۱۶-۵ داده های سه فاکتور جامعه آماری ماسه سنگهای سیلیسی

Factor4	Factor3	Factor2	Factor1	شماره نمونه
.۰/۳۳	۹۲/۹	۳/۴۴	۳/۲۳	Nak ₃
.۰/۳۳	۹۰/۵	۳/۵	۶/۴۱	Nak ₅
.۰/۰۷	۹۶/۲	۱/۹۹	۱/۳۵	Nak ₁₄
.۰/۳۳	۵۴	۱۱/۶۵	۳۴/۰۶	Nak ₁₅
.۰/۳۳	۸۷/۳	۲/۲۹	۱۰/۲۷	Nak ₁₆
.۰/۳۳	۹۲	۵/۳۵	۲/۴۲	Nak ₂₂
.۰/۷۹	۸۸/۸۰	۵/۰۵	۵/۱۹	Nak ₂₆

در جدول ۱۷-۵ مقادیر میانگین و انحراف از معیارهای چهارگانه که توسط نرم افزار

Geoeas محاسبه شده است را ارائه نموده ایم.

جدول ۱۷-۵ مقادیر میانگین ، انحراف معیار و سایر پارامترهای آماری ماسه سنگ سیلیسی نکارمن - ابرسج

جامعه	میانگین	انحراف از معیار S.D	$\bar{X}+2S$	$\bar{X}+3S$	$\bar{X}+4S$
Factor1	۸/۹۹	۱۰/۵۶	۳۰/۱۸۲	۴۰/۷۷۸	۵۱/۳۷۴
Factor2	۴/۷۵۳	۳/۰۴۷	۱۰/۸۴۷	۱۳/۸۹۴	۱۶/۹۴۱
Factor3	۵۸/۹۵۷	۱۳/۳۱۷	۸۵/۵۹۱	۹۸/۹۰۸	۱۲/۲۲۵
Factor4	۰/۳۵۹	۰/۱۹۸	۰/۷۸۵	۰/۹۵۳	۱/۵۱

بدین ترتیب به راحتی می توان از روی جدول ۱۶-۵ و ۱۷-۵ انواع آنومالیهای مربوط به

هر یک از چهار جامعه آماری را تعیین نمود . نتایج مذکور در جدول ۱۸-۵ آورده شده است .

جدول ۱۸-۵ انواع آنومالیهای جوامع چهارگانه که توسط روش $\bar{X} + 2S$ بدست آمده اند

$\bar{X} + 4S$	$\bar{X} + 3S$	$\bar{X} + 2S$	جامعه
—	—	Nak ₁₅	Factor1
—	—	Nak ₁₅	Factor2
—	—	Nak ₃ , Nak ₅ Nak ₁₄ , Nak ₁₆ Nak ₂₂ , Nak ₂₆	Factor3
—	—	Nak ₂₆	Factor4

در مرحله بعد برای رده بندی اهمیت آنومالیها اقدام به انجام آنالیز ویژگی شد تا به کمک

آن به توان عنصری را که آنومالی های با اهمیت تری را ایجاد می کنند مشخص نماییم.

آنالیز ویژگی یک روش چند متغیره میان پارامتری است که از آن برای کمی سازی

داده های کیفی استفاده می شود. در این روش داده به صورت یک ماتریس حاوی اعداد ۰ و ۱

در می آید. متغیرهایی که می خواهیم آنها را برابر حسب اهمیت مرتب نماییم سطرهای این

ماتریس و مقادیر مرتبط با این متغیرها، ستون های ماتریس را تشکیل می دهند. در پروره

حاضر سطرهای ماتریس جوامع و ستون ها شماره نمونه ها هستند. با ضرب این ماتریس در

ترانهاده خود یک ماتریس $n \times n$ حاصل می شود که در آن تعداد عناصر اندازه گیری شده است.

هر سطر این ماتریس یک بردار منطقی است که طول آن به وسیله ریشه دوم حاصل جمع

مربعات درایه های موجود در این سطر به دست می آید. طول این بردار در مورد هر متغیر معرف

پتانسیل کانساری این متغیر در جامعه مورد بررسی است.

در مطالعه حاضر عمل مذکور صورت گرفته و یک ماتریس 7×4 حاصل شده است. به عناصری که جزء جامعه آماری بوده اند (حداقل آنومالی ممکن) که یک و آنهایی که جزء جامعه آنومالی نبوده اند کد صفر داده شد که در جدول ۱۹-۵ آورده شده است.

جدول ۱۹-۵ ماتریس اولیه آنالیز ویژگی

Nak ₂₆	Nak ₂₂	Nak ₁₆	Nak ₁₅	Nak ₁₄	Nak ₅	Nak ₃	جامعه
.	.	.	۱	.	.	.	Factor1
.	.	.	۱	.	.	.	Factor2
۱	۱	۱	۰	۱	۱	۱	Factor3
۱	.	.	۰	.	.	.	Factor4

در جدول ۲۰-۵ طول بردار هر سطر محاسبه گشته و در ستون امتیاز آورده شده است

(ماتریس \times ترانهاده اش = ماتریس جدول ۲۰-۵) جوامع نیز بر حسب امتیاز مرتب شده اند.

جدول ۲۰-۵ نتایج آنالیز ویژگی

امتیاز	Factor4	Factor3	Factor2	Factor1	جامعه	رتبه
$\sqrt{37}$	۱	۶	.	.	Factor3	
$\sqrt{2}$.	۰	۱	۱	Factor1	
$\sqrt{2}$.	۰	۱	۱	Factor2	
$\sqrt{2}$	۱	۱	.	.	Factor4	

نتایج حاصل در این مرحله معرف آن استکه در میان جوامع مورد بررسی، آنومالی مربوط

به جامعه سوم قویترین آنومالیها را دارند. به عبارت دیگر فاکتور ۳ که اصلی ترین فاکتور مد نظر

است با این روش آنومال ترین وضعیت را نشان داده است.

۵-۶ روش آنالیز فاکتوری

در این روش ابتداً می‌بایستی ضریب همبستگی بین عناصر و جوامع دو گانه به دست آورده شود. البته باید توجه داشت که این جوامع دو گانه بر اساس ۹۵٪ نقش بازی کردن جوامع به دست آمده اند و با جوامع چهارگانه قسمت قبل فرق می‌کنند (جدول ۲۱-۵).

جدول ۲۱-۵ نتایج آنالیز مؤلفه‌های اصلی (PCI) بر روی نمونه‌های برداشته شده از ماسه سنگهای سیلیسی

Initial Statistics:						
Variable	Communality	*	Factor	Eigenvalue	Pct of Var	Cum Pct
CAO	1.00000	*	1	8.40927	84.1	84.1
FE203	1.00000	*	2	1.09664	11.0	95.1
K20	1.00000	*	3	.34224	3.4	98.5
LOT	1.00000	*	4	.07743	.8	99.3
MGO	1.00000	*	5	.05678	.6	99.3
NA20	1.00000	*	6	.01764	.2	100.0
S102	1.00000	*	7	.00000	.0	100.0
S03	1.00000	*	8	.00000	.0	100.0
T102	1.00000	*	9	.00000	.0	100.0
AL203	1.00000	*	10	.00000	.0	100.0

Final Statistics:						
Variable	Communality	*	Factor	Eigenvalue	Pct of Var	Cum Pct
CAO	.90855	*	1	8.40927	84.1	84.1
FE203	.98021	*	2	1.09664	11.0	95.1
K20	.89649	*				
LOT	.95534	*				
MGO	.99105	*				
NA20	.95649	*				
S102	.99078	*				
S03	.97275	*				
T102	.91299	*				
AL203	.94126	*				

ماتریس همبستگی فوق الذکر در جدول ۲۲-۵ آورده شده است. به گونه‌ای که جوامع

دو گانه را نیز به تفکیک معرفی می‌کند.

اکنون با ضرب ماتریس نتایج آنالیز نمونه‌ها در ماتریس ضریب همبستگی فاکتورها، ماتریسی

به دست می‌دهند که اهمیت هر نمونه را در فاکتورهای دو گانه نشان می‌دهد. با مرتب کردن

همانگونه که در جدول ۲۳-۵ ملاحظه می شود، آنومالرین نمونه ها در ارتباط با سیلیس

به ترتیب نمونه های Nak₂₂، Nak₃ و Nak₁₄ هستند. نتایج نهایی روش آنالیز فاکتوری در

جدول ۲۴-۵ آورده شده است.

جدول ۲۴-۵ نتایج نهایی روش آنالیز فاکتوری

جامعه	آنومالی اول (امتیاز)	آنومالی دوم (امتیاز)	آنومالی سوم (امتیاز)
Factor1	Nak ₁₄ (-۹۲/۵۲)	Nak ₃ (-۸۶/۰۵)	Nak ₂₂ (-۸۴/۱۶)
Factor2	Nak ₁₄ (-۳/۴۵۲)	Nak ₁₆ (-۳/۰۶۳)	Nak ₅ (-۲/۷۹۳)

فصل ششم

تخمین ذخیره منطقه مورد مطالعه

۱-۶ مقدمه

مقدار تناثر ماده معدنی قابل استحصال را اصطلاحاً ذخیره می نامند. از نظر بعد واحد

ذخیره ، واحد وزن (تن) می باشد . رابطه محاسبه وزن براساس جرم حجمی مطابق رابطه

است :

$$\rho = \frac{M}{V} \Rightarrow M = \rho \cdot V \quad (\text{رابطه } 1-6)$$

که در آن :

$$M = \text{وزن سنگ معدن (Ton)}$$

$$\rho = \text{جرم حجمی ماده معدنی (gr/cm^3)}$$

$$V = \text{حجم ماده معدنی (m}^3\text{)}$$

می باشند . همانطوریکه ملاحظه می گردد M معرف وزن سنگ معدن ، ρ و V جرم

حجمی و حجم ماده معدنی اند . علت این امر به خاطر عدم حضور مؤثر عیار ماده معدنی در

رابطه (۲-۶) می باشد . لذا رابطه محاسبه تناژ ماده معدنی مطابق رابطه عمومی (۲-۶) می باشد :

$$M = \rho \cdot V \cdot \bar{C} \quad (\text{رابطه } 2-6)$$

که در آن :

$$\bar{C} = \text{عيار ماده معدنی (بدون بُعد و عددی کوچکتر از واحد است)} .$$

در رابطه (۲-۶) وضعیت متغیر حجم مستقیم به شکل ماده معدنی دارد و جهت

محاسبه ذخیره سعی می شود کل ماده معدنی غیر هندسی به بلوکهای نسبتاً هندسی که

متغیرهای اساسی محاسبه ذخیره (عيار ، ضخامت و جرم حجمی ماده معدنی) در آنها نسبتاً

همگن اند ، تفکیک شوند . لذا برای حجم نیز روابط متعددی ذکر می شود که به عنوان مثال

برای مستطیل ، گوه مخروط بدین ترتیب تعریف می شود :

$$a \cdot b \cdot c = \text{حاصلضرب ابعاد آن} = \text{حجم مکعب مستطیل} \quad (\text{رابطه } 3-6)$$

$$(S \cdot h)/2 = \text{نصف حاصلضرب سطح مقطع در ارتفاع آن} = \text{حجم مکعب گوه}$$

$$(رابطه ۴-۶) = \frac{S \cdot h}{3} = \text{ثلث حاصلضرب سطح مقطع در ارتفاع آن} = \text{حجم مخروط}$$

که در آنها :

$$a = \text{طول مستطیل}$$

$$b = \text{عرض مستطیل}$$

$$h = \text{ارتفاع مستطیل ، مخروط یا گوه}$$

$$S = \text{سطح مقطع}$$

در این فصل به محاسبه ذخیره واحدهای سیلیسی و خاک رس (احتمالی) موجود در

منطقه مورد مطالعه بطور جداگانه و بر اساس رابطه عمومی (۲-۶) خواهیم پرداخت.

۲-۶ محاسبه ذخیره واحدهای سیلیسی

در بخش‌های مختلف منطقه واحدهای ماسه سنگ سفید رنگ تا قرمز رنگ سیلیسی

رخمنون و گسترش دارند که از آنها نمونه‌های معرف Nak_3 ، Nak_{14} ، Nak_{16} ، Nak_{22} و Nak_{26}

جهت تعیین عیار برداشته شده‌اند. لازم به ذکر است که نمونه‌های Nak_5 و Nak_{15}

نیز از این واحدها برداشته شده‌اند که به دلیل ذخیره کم یا پایین بودن عیار از ذکر آنها صرف

نظر شده است.

با لحاظ کردن جرم حجمی $\frac{2}{4}$ گرم بر سانتیمتر مکعب، مقدار ذخیره برابر خواهد شد با:

$$\bar{C} = \frac{C_{Nak_1} + C_{Nak_{22}}}{2} = \frac{92.9 + 92}{2} = 92.45\%$$

$$\rho = 2.4 \text{ gr/cm}^3, S = \pi, a.b = \pi \times \frac{77}{2} \times \frac{66}{2} = 3989.37 \text{ m}^2$$

$$M_1 = \rho \cdot S \cdot t \cdot \bar{C} = 2.4 \times 3989.37 \times 1.5 \cong 14400 \text{ Ton}$$

۲-۲-۶ محاسبه ذخیره واحد ماسه سنگی نزدیک روستای نکارمن (شمال شرق نکارمن)

از این واحد ماسه سنگی نمونه معرف Nak₂₆ برداشته شده است. سطح مقطع ماده

معدنی مستطیل حجم آن به شکل مربع مستطیل می باشد. گسترش ماسه سنگهای این قسمت

منطقه $100 \text{ m} \times 20 \text{ m}$ می باشد و تراشه حفر شده نیز تا عمق $1/5$ پایین رفته است. لذا مقدار

ذخیره برابر خواهد شد با:

$$\rho = 2/4 \text{ gr/cm}^3, \bar{C}_{Nak_{26}} = 88/7\%$$

$$V = a \cdot b \cdot c = 100 \times 20 \times 1.5 = 3000 \text{ m}^3$$

$$M_2 = \rho \cdot V \cdot \bar{C} = 2.4 \times 3000 \cong 7200 \text{ Ton}$$

۶-۲-۳- محاسبه ذخیره واحدهای ماسه سنگی خوش بیلاق - دره ابرسج

۶-۲-۳-۱- ممبر ۱ خوش بیلاق

از این ممبر نمونه معرف Nak₁₄ جهت مطالعات XRF ارسال گردیده است . شکل ماده

معدنی را با توجه به تپه ای بودن ، گوه ای فرض نموده ایم که گسترش آن $10m \times 5m \times 111.5m$

می باشد . لذا مقدار ذخیره آن عبارت خواهد بود از :

$$\rho = 2.45 \text{ gr/cm}^3 , \quad \bar{C}_{Nak_{14}} = 96/2\%$$

$$V = \frac{S.h}{2} = \frac{111.5 \times 10 \times 20}{2} = 11150 \text{ m}^3$$

$$M_3 = \rho.V.\bar{C} = 2.45 \times 11150 \approx 27300 \text{ Ton}$$

۶-۲-۳-۲- ممبر ۴ خوش بیلاق

از این ممبر نمونه معرف Nak₁₆ را تعیین عیار کرده ایم . شکل ماده معدنی مکعب

مستطیل فرض شده که گسترش $150m \times 15m \times 15m$ دارد . مقدار ذخیره آن برابر است با :

$$\rho = 2.4 \text{ gr/cm}^3 , \quad \bar{C}_{Nak_{16}} = 88/3\%$$

$$V = a.c.b = 15 \times 150 \times 20 = 45000 \text{ m}^3$$

$$M_4 = \rho.V.\bar{C} = 2.4 \times 45000 = 108000 \text{ Ton}$$

۴-۲-۶ ذخیره واحدهای ماسه سنگی نزدیک مزرعه کلاته

با توجه به اینکه ماسه سنگهای این قسمت از نظر رنگ، سختی و موقعیت مشابه واحدهای ماسه سنگی نزدیک نکارمن و ابرسجند، لذا از اطلاعات مربوط به عیار آنها جهت محاسبه ذخیره استفاده خواهیم کرد. این واحد ماسه سنگی به صورت دو بخش مربع مستطیل شکل با گسترهای $25m \times 25m$ و $50m \times 70m$ است. مقدار ذخیره کل این بخش برابر خواهد بود با:

$$\bar{C} = \frac{C_{Nak_3} + C_{Nak_{22}} + C_{Nak_{26}}}{3} = \frac{92.9 + 88.7 + 92}{3} = 91.2\%$$

$$\rho = 2.4 \text{ gr/m}^3 \quad , \quad V_T = V_1 + V_2 = 70 \times 35 \times 1.5 + 50 \times 25 \times 1.5 = 5550 \text{ m}^3$$

$$M_s = \rho \cdot \bar{C} \cdot V_T = 2.4 \times 5550 \approx 13300 \text{ Ton}$$

نتایج محاسبه ذخیره بر روی واحد ماسه سنگی در منطقه مورد مطالعه مطابق جدول

۶-۲ می باشد.

دقیق محاسبه ذخیره بر اساس اکتشافات سطحی و مقدماتی انجام شده در منطقه برآورد گردیده است. با توجه به وضعیت زمین شناسی، گسلهای راندگیهای موجود در منطقه احتمال آنکه در خارج از محدوده مورد مطالعه واحد ماسه سنگی وجود داشته و یا تکرار شده باشد نیز وجود دارد.

جدول ۲-۶ نتایج محاسبه ذخیره واحدهای ماسه سنگی منطقه مورد مطالعه

محل واحد ماسه سنگی	عيار (%)	جرم حجمی gr/m^3	ذخیره (Ton)
نژدیک روستای ابرسج	۹۲/۴۵	۲/۴	۱۴۴۰۰
نژدیک روستای نکارمن	۸۷/۷	۲/۴	۷۲۰۰
ممبر ۱ - دره ابرسج	۹۶/۲	۲/۴۵	۲۷۳۰۰
ممبر ۴ - دره ابرسج	۸۷/۳	۲/۴	۱۰۸۰۰
نژدیک مزرعه کلاته	۹۱/۲	۲/۴	۱۳۳۰۰
عيار متوسط :	۹۱/۱۷%	کل ذخیره :	۱۷۰۲۰۰ Ton

۳-۶ محاسبه ذخیره خاک سرخ (خاک رس؟!) موجود در منطقه

در بخشهای مختلف منطقه خاک قرمز - قهوه ای گسترش دارند که صرفاً در تپه های غربی قبل از روستای نکارمن و نژدیک مزرعه کلاته درصد Al_2O_3 در حد (۱۸-۱۹)% قرار می گیرد.

شماره نمونه های مورد بحث Nak_{21} و Nak_{25} است که در جدول ۳-۶ درصد آلومنین آنها آورده شده است.

جدول ۳-۶ درصد آلومنین و سیلیس خاکهای قرمز - قهوه ای منطقه مورد مطالعه

شماره نمونه	محل برداشت	Al_2O_3 (درصد)	SiO_2 (درصد)
Nak_{21}	تپه های غرب روستای نکارمن	۱۸/۸	۵۵/۷
Nak_{25}	خاک سرخ نرسیده به مزرعه کلاته	۱۸/۶	۵۵/۷

برآورد مقدار خاک سرخ هر قسمت را در این بخش توضیح می دهیم .

۱-۳-۶ محاسبه ذخیره خاک سرخ تپه های غرب روستای نکارمن

از بخش های مختلف این واحد نمونه معرف Nak₂₁ برداشته شده است . خاک

قرمز - قهوه ای به شکل باندهای قرمز رنگ در این قسمت از گسترش قابل توجهی

برخوردارند . دو باند آنها که در بخش عملیات صحرایی تصویری از آنها نمایش داده شده است را

جهت محاسبه ذخیره در اینجا مد نظر قرار می دهیم . گسترش یک باند آن $1000m \times 10m$

و دیگری $300m \times 5m$ می باشد لذا مقدار ذخیره آن برابر خواهد شد با :

$$\rho = 1/\lambda gr/cm^3 , \quad \bar{C}_{Nak_{21}} = 1\lambda/\lambda\%$$

$$V_T = V_1 \cdot V_2 = 1000 \times 10 \times 1.5 + 300 \times 5 \times 1.5 = 17250 m^3$$

$$M'_1 = \rho \cdot V_T \cdot \bar{C} = 1.8 \times 17250 \times \cong 31000 Ton$$

۲-۳-۶ محاسبه ذخیره خاک سرخ نزدیک مزرعه کلاته

نمونه معرف Nak₂₅ از این بخش برداشته شده است . گسترش این باند $200m \times 46m$

می باشد . لذا مقدار ذخیره آن برابر خواهد شد با :

$$\rho = 1/\lambda gr/cm^3 , \quad \bar{C}_{Nak_{25}} = 1\lambda/\lambda\%$$

$$V = 200 \times 46 \times 1 = 9200 m^3$$

$$M'_2 = \rho \cdot V \cdot \bar{C} = 1.8 \times 9200 \approx 16500 Ton$$

نتایج محاسبه ذخیره کل خاک سرخ موجود در منطقه در جدول ۶-۴ ارائه شده است.

جدول ۶-۴ نتایج محاسبه ذخیره خاک قرمز - قهوه ای موجود در منطقه

محل واحد خاک سرخ	عيار (%)	جرم حجمی gr/cm^3	ذخیره (Ton)
تپه های غرب نکارمن	۱۸/۸	۱/۸	۳۱۰۰
نزدیک مزرعه کلاتنه	۱۸/۶	۱/۸	۱۶۵۰۰
عيار متوسط :	۱۸/۷%	ذخیره کل :	۴۷۵۰۰ Ton

فصل هفتم

کلیاتی در خصوص ماده معدنی

۱-۷ مقدمه

با توجه به اینکه هدف ما در این پژوهه اکتشاف مقدماتی "خاکهای صنعتی" است، لذا ابتدا تعریف این اصطلاح را بیان کرده و سپس به بررسی برخی از انواع آنها که بیشتر در این پژوهه می‌توانند مد نظر باشند، خواهیم پرداخت.

۲-۷ تعریف خاک صنعتی

مجموعه‌ای از مواد معدنی شامل کائولینیت، بتونیت، انواع دیگر خاکهای نسوز آرژیلیتی، سیلیس، فلدسپاتها، تالک، آهک، دولومیت، زئولیت و منیزیت را عنوان خاکهای صنعتی معرفی می‌کند که در صنایع سرامیک سازی (کاشی سازی، چینی بهداشتی،

چینی ظروف)، تهیه انواع لعابها، صنایع کاغذ، پلاستیک، لاستیک و کلیه صنایع وابسته استفاده می شوند (صالحی سیاوشانی، حسین - ۱۳۷۸).

در این میان در خصوص کائولینیت، بنتونیت، خاکهای رسی معمولی، بوکسیت و سیلیس بطور مختصر مطالبی آورده خواهد شد.

۳-۷ کائولن

کائولینیت و با کائولینیتی شدن به معنای دگرسانی فلدسپاتها یا مواد با ماهیت فلدسپاتی و پیدایش رس در مفهوم کلی آن و کائولن در مفهوم تفصیلی آن است.

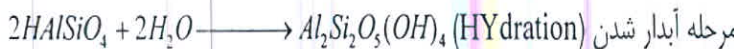
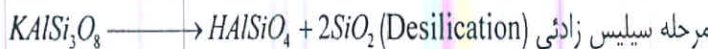
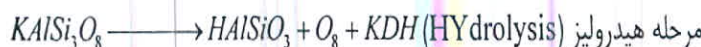
فلدسپاتها در میان انواع کانیها، بیشتر در مقابل تجزیه آسیب پذیرند، چون در این کانی ها چهار وجهی های سیلیس و آلومینیوم اشباع نشده وجود دارد که بسی ثباتی فراوانی به آنها می دهد، بطوریکه فلدسپاتها حتی در آب خالص هم تجزیه می شوند.

اگر تجزیه فلدسپات آنقدر ادامه یابد که تمام مواد قلیایی آن خارج شود به خاک رس و یا سیلیکات آبدار آلومینیوم می رسیم که معمولاً حالت کلوئیدی دارد. بسته به PH محیط و نوع تجزیه، کانی های مختلف رسی تشکیل می شوند. به عنوان مثال اگر محیط کاملاً قلیایی باشد، مواد قلیایی حاصل از تجزیه فلدسپاتها در محیط باقی می ماند و اکثراً خاک رس مونت موریونیتی یا کلریتی حاصل می شود. در کائولینیت زائی PH اسیدی در اثر تجزیه پیریت موجود در سنگ به اسید سولفوریک بوجود می آید و این عامل می تواند در مراحل آخر محلولهای گرمابی یا در نتیجه هوازدگی شیمیایی آب و هوای استوایی و نیمه استوایی صورت

پذیرد. حالت‌های هوازدگی شیمیایی که کانسارهای کائولن را بوجود می‌آورند بیشتر مشابه بوکسیتی شدن است.

کائولینیت زایی اغلب بعنوان یک مرحله بینی در تشکیل بوکسیت‌های لاتریتی اتفاق می‌افتد. حضور سولفورها و اکسید شدن آنها شتاب دهنده این فرآیند است. بنابراین ضمن عمل کائولینیت زایی میزان Al_2O_3 نسبت به سنگ اولیه افزایش می‌یابد.

مراحل تجزیه ارتوز (فلدسپات پتاسیم دار) به کائولینیت بصورت زیر است:



۱-۳-۷ طبقه‌بندی کانسارهای کائولن

چنانچه در طبقه‌بندی کانسارهای کائولن خاستگاه آنها منظور باشد می‌توان آنها را به سه

گروه زیر تقسیم بندی کرد:

الف) کانسارهای بر جای مانده کائولن.

ب) کانسارهای رسوی کائولن.

ج) کانسارهای گرمابی کائولن.

کانسارهای برجای مانده کائولن در ایران اندک اند و از نظر کیفیت نامرغوبند. نمونه آنها کانسار کائولن شابلاق است که از تجزیه سطحی سنگ مادر گرافیت شابلاق (دوران) تشکیل شده اند.

کانسارهای رسویی کائولن در ایران فراوانی بیشتر و کیفیت بهتری نسبت به نوع برجازا دارند. ماده معدنی کائولینیت همراه کمی کوارتز و کانی های دیاسپور، بوهمیت، لیمونیت و هماتیت اند. معمولاً در آنها درصد SiO_2 کمتر از ۵۵٪ و $\text{Al}_2\text{O}_3 \geq ۲۵\%$ است در منطقه آباده و طبس نمونه ای از این کانسارهای کائولن داریم. به لحاظ سنی کانسارهای کائولن رسویی ایران اغلب متعلق به پرمو-تریاس، پرمین، کربونیفر، دونین (استان فارس)، زوراسیک (گیلان) و کرتاسه بالایی می باشد (قربانی-منصور و ارزانی-کاوه، ۱۳۷۳).

کانسارهای گرمابی کائولن: غالباً در مناطقی که کانسارهای گرمابی کائولن تشکیل می شوند، ولکانیکهای متوسط تا اسیدی وجود دارد. بررسی های انجام شده در ایران نشانگر آن است که اغلب در ترسیری (أُوسن تا الیگوسن) در ایران شرایط مستعد وجود داشته است. گرچه در فاصله زمانی زوراسیک در استان خراسان نیز گزارشهایی از چنین فعالیتهایی بیان شده است. کانه کائولینیت عمده ترین کانی تشکیل دهنده ماده معدنی است و همراه آن کوارتز و گاه آلوینیت نیز وجود دارد. کانیهای دیاسپور و بوهمیت در این نوع از کانسارهای کائولن در ایران گزارش نشده است. در صد SiO_2 این کانسارها معملاً بیش از ۶۰٪ و Al_2O_3 کمتر از ۲۴٪ است.

بیشترین گسترش این نمونه از کانسارهای کائولن در ایران در دو محور زیر می باشد (قربانی-منصور و ارزانی-کاوه، ۱۳۷۳).

الف) محور ساوه - تاکستان - جلفا.

ب) محور جنوب خراسان.

لازم به ذکر است که عوامل اصلی تجزیه در کانسارهای کائولن نوع رسوی آبهای سطحی و ریزشهای جوی اند که حالت پائین رونده (Descending) داشته اند و در کانسارهای کائولن گرمابی، محلولهای گرمابی حاوی گازهای اسید سولفوریک، اسید کربنیک، همراه با گازهای ایندرید سولفوره، هیدروژن سولفوره، گوگرد و یونهای هیدروژن بوده اند که حالت بالارونده (Ascending) داشته اند.

بطور خلاصه مهمترین محدوده های کائولن زایی در ایران عبارتند از (قربانی - منصور و

ارزانی - کلوه، ۱۳۷۳):

الف) زون قزوین - زنجان - مرند

ب) زون طرود - سمنان

ج) زون خراسان مرکزی

د) زون آباده

ه) زون سمیرم دوپلان

و) زون ساوه - قم - تهران می باشند.

در ضمن بیشترین کائولن زایی در ایران در محدوده کمربندهای ولکانیکی دوران سوم به

و پرده در دوران ائوسن و از دگرسانی سنگهای آتشنشانی اسیدی و بازیک بوده است. البته واقع

شدن ایران بر روی کمربند ولکانیکی آپ - هیمالیا و کمربند ولکانیکی ارومیه - دختر را در این خصوص بایستی مد نظر داشت (قربانی - منصور و ارزانی - کاوه، ۱۳۷۳).

در پایان این بحث جهت تکمیل مطالب فوق متذکر می شویم که به عمل جدا کردن CO_2 ، Ca ، K ، Na از کائولن ، اصطلاحاً کائولن شوئی می گویند که در کائولن خوب شسته شده تنها $\text{Fe}_2\text{O}_3 < 0.49\%$ و $\text{TiO}_2 < 0.22\%$ و $< 0.05\%$ قرار می گیرد.

تغییط کائولن جهت جدا کردن ناخالصی هایی مثل زاج ، آلوئیت ، گچ ، پیرویت و فلدسپاتهای دگرسان نشده تجلی می یابد که کل ناخالصی ها را به دو روش خشک و مرطوب می توان از کائولن جدا کرد.

۴-۷ بوکسیت

نام بوکسیت را ابتدا برته (Berthieh) در سال ۱۸۲۱ برای کانی که برای اولین بار در ناحیه لیبن (Leban) فرانسه پیدا کرد بکار برد . از آن تاریخ تا کنون تعاریف متعددی برای آن ارائه شده است . آخرین تعریفی که در این زمینه بیان شده عبارت است از :

بوکسیت یک ماده معدنی رسوی غنی از مواد آلیتیک است که در نتیجه هوازدگی سنگهای مختلف در آب و هوای حاره یا شبه حاره با توجه به مورفولوژی و زره کشی مناسب تشکیل شده و مجموع هیدروکسیدهای Al ، Fe و Ti موجود در آن بیش از ۵۰٪ بوده است و هیدروکسید الومینیوم بیشترین مقدار را دارا می باشد .

تعریف صنعتی بوکسیت عبارت است از :

بوکسیت به کانه‌ای اتلاق می‌شود که نه تنها شرایط موجود در تعریف زمین‌شناسی را شامل باشد، بلکه تولید آلمینا از آن در شرایط جغرافیایی و اقتصادی مورد نظر به صرفه باشد.

یکی از مهمترین عوامل اقتصادی در تولید آلمینا میزان مصرف سود سوزآور است که هزینه بالایی را بخود اختصاص می‌دهد. هرگاه بوکسیت حاوی کانیهای سیلیکاته و کوارتز باشد در فرآیندهای با درجه حرارت و فشار پایین، کانیهای سیلیکاته و در فرآیندهای با درجه حرارت و فشار بالا کانیهای سیلیکاته و حتی کوارتز با سود و قسمتی از آلمینای موجود بوکسیت ترکیب شده و بصورت ترکیبات آلوموسیلیکاتهای سدیم رسوب می‌کند که بصورت باطله خارج می‌شود و همین عامل باعث به هدر رفتن قسمتی از آلمینا و سود سوزآور می‌گردد. به همین جهت مقدار سیلیسی را که در این فرآیند با سود ترکیب می‌شود، سیلیس فعال می‌گویند و در این رابطه مدول را یکی از مبانی ارزیابی قرار می‌دهند.

مدول (Modul) عبارت است از نسبت آلمینای موجود در بوکسیت به سیلیس فعال

موجود یعنی :

$$M = \frac{Al_2O_3}{SiO_2}$$

براین اساس بوکسیت به درجات مختلفی تقسیم بندی می‌شود که عبارتند از :

$M \geq 10$	بوکسیت درجه ۱	$2/5 \leq M \leq 4$	بوکسیت درجه ۴
$2 \leq M \leq 10$	بوکسیت درجه ۲	$M = 2/6$	بوکسیت درجه ۵
$4 \leq M \leq 2$	بوکسیت درجه ۳		

علاوه بر مدول حد اقل مقدار آلومینا در بوکسیت یکی دیگر از شرایط اقتصادی بودن

عمده است. این حداقل عبارت است از :

جدول ۱-۷ برخی از عمدۀ ترین شرایط اقتصادی بودن بوکسیت

روش	نوع بوکسیت	$Al_2O_3 (\%)$	حد اقل M
باير	(بوکسیت بوهمیتیک) بوکسیت های اروپایی	۴۰ - ۴۵	۷ (بلوک شرق)
	(بوکسیت گیسیتی) بوکسیت های آمریکایی	۳۰	۱۰ (بلوک غرب)

توضیحات : برای بوکسیت ها با مدول کمتر تولید آلومینا روش سیترینگ بکار گرفته می شود.

معمولًا ۳ نتاً برابر مقدار سیلیس فعال ، به عنوان پرت آلومینا از بین می رود لذا مقدار مبنای بازیابی

(Bev = Basic equivalent) تعریف می شود :

$$Bev = Al_2O_3 \% - 2SiO_2 \% \text{ یا } Bev = Al_2O_3 \% - 3SiO_2 \%$$

اگر درصد ناخالصی CaO و MgO که بالا باشند در مقدار مبنای بازیابی مؤثر است . در مورد بوکسیت

بطور کلی مقدار مبنای بازیابی کمتر از ۳۰٪ می باشد . با استفاده از آزمایشات تکنولوژیکی Bev

مشخص می گردد .

درصد بالای آلومینا در بوکسیت نمی تواند مبنای ارزیابی باشد بلکه تمامی موارد

فوق الذکر باستثنی مد نظر قرار گیرند . مضافاً اینکه حداقل مقدار آلومینا باستثنی از نظر اقتصادی

مشخص و تعیین گردد . به عنوان مثال بوکسیت قشلاق ایران با ۵۶٪ آلومینا و ۱۷٪ سیلیس

فعال (به ترکیب کائولینیت) به روش باير اقتصادی نیست . در جدول زیر دو نمونه مثال بوکسیت

اقتصادی ذکر شده است :

جدول ۲-۷ دو مثال از ذخایر بوکسیت اقتصادی در استرالیا و غنا

مشخصات بوکسیت	دوش	(نام کانسار)	کشور
$SiO_2 = \% ۱۸$ مجموع فعال، $Al_2O_3 = \% ۳۶$	باير	استرالیا (Cape - Baugainville)	
$SiO_2 = \% ۲-۴$ ، $Al_2O_3 = \% ۳۰$ ، مقدار آهن زیاد		غنا (Myinahin)	

۵-۷ بنتونیت

واژه بنتونیت را نخستین بار در سال ۱۸۹۸ دانشمندی به نام نایت (Knight) به کار برده است. این واژه از اصطلاح محلی شیل های بنتون واقع در ایالت وایومینگ آمریکا گرفته شده است. مهمترین بخش بنتونیت را کانی های گروه اسمکتیت تشکیل می دهند که شامل مونت موریونیت، بیدلیت، ناترونیت (سری دی اکتاهدران)، هکتوریت و ساپونیت (تری اکتاهدران) تشکیل می دهند.

بنتونیت دارای دو منشأ گرمابی و رسوی می باشد:

الف) ذخایر بنتونیت گرمابی: اینها ذخایر کوچکی هستند که در شرایط خاصی تشکیل شوند. سیلیس بیش از حد اشباع کوارتز، دمای محلول بالا از جمله شرایط تشکیل اسمکتیت است. سنگ منشأ مناسب، توفهای داسیتی، تراکیتی و رویلیتی غنی از K و Ca اند. ذخایر از این نوع در ژاپن، ایتالیا و یونان گزارش شده اند.

ب) ذخایر بنتونیت رسوی: مهمترین ذخایر بنتونیت دنیا از این نوع اند. خاکستر آتشفسانهای اسیدی - حد بواسطه هنگامیکه در محیط های دریاچه ای قلیابی بر جا گذاشته می شوند، ضمن واکنش با آب اسمکتیت و دیگر کانی ها را می توانند تشکیل دهند. اسمکتیت

با افزایش دما و فشار به ایلیت تبدیل می شود (در عمق حدود ۳۷۰۰ متر حدود ۸۰٪ اسمکتیت را ایلیت تشکیل می دهد) . عمدۀ بنتونیت های رسوبی متعلق به دوران سوم اند .

در ایران به دلیل گسترش فعالیتهای آتشفشاری بویژه در دوران سوم ، ذخایر بنتونیت بسیار خوبی تشکیل گردیده است .

۶-۷ سیلیس

کانیهای گروه سیلیس پس از فلدسپاتها فراوانترین کانیهای موجود در پوسته جامد زمین اند . کوارتز ، تربیدیمیت و کریستو بالیت سه چند شکلی اصلی سیلیس هستند که در طبیعت به خوبی شناخته شده اند . این چند شکلی ها در شرایط حرارتی ذیل به یکدیگر تبدیل می شوند :



این کانیها در شرایط مختلف زمین شناسی (آذرین ، رسوبی و دگرسانی) پدید می آیند و می توانند به صورت متبلور و یا غیر متبلور ، آبدار یا بدون آب در طبیعت پدیدار شوند .

در طبیعت سیلیس به فراوانی یافت و گاهی ذخایر سیلیس به درجه خلوص ۹۹ درصد می رسد که این درجه خلوص در مقابل با کل ذخایر سیلیس کمیاب است . منابع سیلیس به شیوه های گوناگون دسته بندی می شوند ، که یکی از آنها دسته بندی بر پایه خاستگاه و چگونگی پیدایش آنها است .

۷-۶-۱ کانسارهای سیلیس رسوی یا کوارتز آرنیت ها (Quartz Arenites)

چنانچه عناصر تشکیل دهنده ماسه سنگ و سیمان بین آنها سیلیسی باشد می تواند به عنوان ذخایر سیلیس مورد بهره برداری قرار گیرد. ماسه سنگهای سیلیسی خالص، معمولی ترین منبع سیلیس در تأمین سیلیس مورد نیاز کارخانجات تولید پودر سیلیس و یا کارخانجات شیشه و غیره می باشد. ماسه سنگهای قابل بهره برداری بیشتر به صورت عدسی ها و لایه های رسوی در میان لایه های سازندهای مختلف زمین شناسی جای گرفته اند. این ماسه سنگها عموماً رنگی سفید دارند و بیشتر یکنواختی ترکیب در ضخامت لایه و حتی در راستای لایه ها ندارند. از همین رو برای بهره برداری از لایه های ماسه سنگی، باید مطالعات دقیق اکتشافی بر روی آنها انجام گیرد.

کنگلومراهای سیلیسی از دیگر واحدهای رسوی اند که می توانند به عنوان انباشته هایی از مواد سیلیسی بکار گرفته شوند. این رخساره های رسوی، بطور معمول از قلوه های ریز و درشت کوارتز که به وسیله یک خمیره سیلیسی به هم متصل شده اند پدید می آیند.

۷-۶-۲ کانسارهای آذرین

در فاز پایانی تبلور مagmaهای گرانیتی - تونالیتی، باقیمانده این magmaها بصورت محلولهای آبکی سرشار از سیلیس سبب پیدایش رگه های سیلیسی می شوند. محلوهای تفریق شده، فرون بر اینکه در درزها و شکافهای سنگهای آذرین نفوذ می کنند، در نقاط سست (درزه ها، شکستگیها و لایه بندیها) سنگهای مجاور خود نیز نفوذ می کنند و رگه های سیلیسی

را پدید می آورند . سبزای این رگه ها ممکن است از چندین سانتی متر تا چندین ده متر تغییر کند . به سبب همگنی در ترکیب کانی شناسی و پی آمد آن ترکیب شیمیایی رگه ها ، چنین انباسته ها دارای اهمیت ویژه اقتصادی می باشند .

۳-۶ کانسارهای دگرگونی

اینگونه انباسته ها بیشتر از دو راه تشکیل می شوند . یا از دگرگونه شدن واحدهای ماسه سنگی پدید می آیند ، که در این حالت لایه های کوارتزیتی را پدید می آورند و یا آنکه واحدهای رسوبی در درجات متوسط یا بالا دگرگون می شوند و در نتیجه فرآیندهای دگرگونی مقدار درخور توجهی از سیلیس های موجود در ترکیب شیمیایی و کانی شناسی سنگها ، آزاد و بصورت رگه ها و عدسیهای نازک یا سبز در میان رخساره های دگرگونی پدیدار می شوند .

۴-۶ کانسارهای پگماتیتی (Pegmatitic Ores)

این کانسارها بطور معمول رگه ای شکل می باشند و در ارتباط با توده های اسیدی پگماتیتی یافت می شوند . این نوع کوارتزها بطور معمول بسیار خالص بوده و شایسته فرآوری چینی اند و حتی در مواردی که که فرآیند لازم بر روی آن انجام شود برای تهیه شیشه های مخصوص نیز بکار می روند .

۵-۶ کانسارهای هیدروترمال (Hydrothermal Ores)

این کانسارها همیشه رگه ای شکل بوده و در وابستگی با توده های گرانیتی می باشند .

خلوص این رگه های کوارتز بسیار گوناگون است. هرچند که در آنها کوارتز بسیار خالص یا کوارتز با کیفیت بالا ممکن است پیدا شود، ولی این نوع کوارتها دارای سیالهای دربر گیرنده (Inclusions)، مایع و گازند و نمی توانند در فرآوری شیشه سیلیس شفاف بکار برده شوند.

اگر رگه های کوارتز هیدروترمال همراه با سنگهای همبر و فرگیر خود تحت پدیده های دگرگونی قرار گیرند، بطوريکه انکلوژيون های گاز و مایع از آن بیرون رود، شرایط استفاده از آن در فرآوری شیشه شفاف، به شرط تغییض شیمیابی فراهم خواهد شد.

۶-۶-۷ کانسارهای سیلیس از خاستگاه دگرسانی

سیلیس، بالاترین ناحیه (Upper Zone) را پدید می آورد و فرآورده های دگرسانی می دهند. انباسته های سیلیسی از نوع یاد شده، در بالای زون های دگرسانی می توانند از خلوص بسیار بالا برخوردار و قابل بهره برداری باشند. این انباسته ها بطور معمول از ذخیره بالایی برخوردار نیستند.

۷-۶-۷ ذخایر پلاسر (Placer Deposites)

قلوه ها و ماسه های کوارتزی موجود در مسیر رودخانه ها و سواحل دریا یا به صورت تپه های ماسه بادی و یا انباستگی ماسه ای پای کوه های گرانیتی که از فرسایش گرانیتها به پای کوه حمل شده و در آنجا انباسته شده اند، چنانچه خلوص کافی داشته باشند ممکن است به صورت انباسته های سیلیس در صنایع مورد مصرف داشته باشند. بطور معمول اینگونه ز

ماسه ها خلوص کافی برای کاربرد در صنایع شیشه را ندارند بلکه در صورت مناسب نبودن ممکن است در صنایع تولید آجر و ماسه آهکی مورد بهره برداری قرار گیرند. ولی ذخایر ماسه های سیلیسی دامنه کوههای گرانیتی در برخی از مناطق دارای خلوص کافی بوده و یا می توان با انجام روشهای مختلف تنظیط (Dressing) آنها را قابل بهره برداری برای کاربرد در صنایع شیشه یا صنایع دیگر گردد.

انباشته های سیلیس در همه دوره های زمین شناسی در ایران کم و بیش با خاستگاه های متفاوت رسویی ، دگرگونی ، پگماتیت - دگرسانی ، گرمابی و پلاسری پدید آمده است.

۷-۷ ذخایر سیلیس در ایران

انباشته های سیلیس در همه دوره های زمین شناسی در ایران کمایش با خاستگاه های متفاوت رسویی ، دگرگونی ، پگماتیت - دگرسانی ، گرمابی و پلاسری پدید آمده است .

انباشته های اقتصادی سیلیس در جاههای مختلف ایران زمین در درجه نخست فراوانی و گسترش به دوران پالئوزوئیک و در درجه دوم به دوران مژوزوئیک منحصر می شود . این ذخایر دارای خاستگاههای رسویی ، آذرین دگرگونی و پلاسری می باشند .

۱-۷-۷ کانسارهای رسوی

الف) کانسارهای رسوی پالتوزروئیک

این کانسارها را از نظر کیفیت و میزان ذخیره می‌توان به دو گروه زیر بخش کرد:

گروه اول: انباشته‌های سلیسی رسوی کامبرین در پیوند با ماسه سنگ لالون

کانسارهای این دوره بیشترین انباشته‌های سلیسی‌های ایران را می‌سازند و در

گستره‌های گوناگون البرز و ایران مرکزی یافت می‌شوند. این انباشته‌ها در البرز (به بیشه

ناحیه فیروزکوه تا سلطانیه) در پیوند با بخش بالایی ماسه سنگ لالون (تاب کوارتزیت)

می‌باشد. در ایران مرکزی در استانهای کرمان، یزد همچون شجره، داهوئیه، درکج و

خشیش در پیوند با بخش تاب کوارتزیت لالون یا سازندهای هم مرز آن هستند. نسبت دادن

کانسارهای سلیسی در پیوند با تاب کوارتزیت به سازندهای میلا با شک و تردید همراه است. چون

شواهدی وجود دارد که نشان می‌دهد بهتر است پاره سازندهای تاب کوارتزیت را متعلق به قاعده

میلا بدانیم تا بخش بالایی لالون. اما از آنجا که در گذشته و در اکثر گزارشات زمین‌شناسی

این پاره سازنده هم لالون به حساب آمده و تا کنون کمیته چینه شناسی هیچگونه تغییری در آن

نداده است ما نیز در توصیف کانسارهای سلیسی این مسئله را رعایت کرده‌ایم.

گروه دوم: انباشته‌ها سلیسی رسوی پالتوزروئیک بالایی در پیوند با ماسه سنگها و

کنگلومراهای سلیسی

(ရန်ဆုံး၊ ခုံမှတ်) ၃၁ အောင် ဟဲ လျှို့ဝှက် ၂၀၁၅ ခုနှစ်

• လူ့ လျှို့ဝှက် ၄၇ အောင် ၃၈ ဗုဏ် လျှို့ဝှက် ၂၀၁၅ ခုနှစ်

၁၃၁။ အောင် ၃၈ လျှို့ဝှက် ၂၀၁၅ ခုနှစ် (အောင် ၃၈၊ မြန်)

• ၁၃၂။ လျှို့ဝှက် ၁၇၇၄ နှင့် ၁၇၇၅ ခုနှစ် ၂၀၁၅ ခုနှစ် ၂၀၁၆ ခုနှစ်

၁၃၃။ ၁၇၇၅ ခုနှစ် ၁၇၇၆ ခုနှစ်

၁၃၄။ ၁၇၇၅ ခုနှစ် ၁၇၇၆ ခုနှစ် ၁၇၇၇ ခုနှစ် ၁၇၇၈ ခုနှစ် ၁၇၇၉ ခုနှစ်

၁၃၅။ ၁၇၇၉ ခုနှစ် ၁၇၈၀ ခုနှစ် ၁၇၈၁ ခုနှစ် ၁၇၈၂ ခုနှစ် ၁၇၈၃ ခုနှစ်

၁၃၆။ ၁၇၈၃ ခုနှစ် ၁၇၈၄ ခုနှစ် ၁၇၈၅ ခုနှစ် ၁၇၈၆ ခုနှစ် ၁၇၈၇ ခုနှစ်

၁၃၇။ ၁၇၈၇ ခုနှစ် ၁၇၈၈ ခုနှစ်

၁၃၈။ ၁၇၈၈ ခုနှစ် (၁၇၈၈၊ မြန်)

၁၃၉။ ၁၇၈၈ ခုနှစ် ၁၇၈၉ ခုနှစ် ၁၇၉၀ ခုနှစ် ၁၇၉၁ ခုနှစ် ၁၇၉၂ ခုနှစ်

၁၄၀။ ၁၇၉၁ ခုနှစ် ၁၇၉၂ ခုနှစ် (အောင် ၃၈၊ မြန်)

၁၄၁။ ၁၇၉၂ ခုနှစ် ၁၇၉၃ ခုနှစ် ၁၇၉၄ ခုနှစ် ၁၇၉၅ ခုနှစ် ၁၇၉၆ ခုနှစ် ၁၇၉၇ ခုနှစ်

၁၄၂။ ၁၇၉၇ ခုနှစ် ၁၇၉၈ ခုနှစ် ၁၇၉၉ ခုနှစ် ၁၇၁၀ ခုနှစ် ၁၇၁၁ ခုနှစ်

၁၄၃။ ၁၇၁၁ ခုနှစ် ၁၇၁၂ ခုနှစ် ၁၇၁၃ ခုနှစ် ၁၇၁၄ ခုနှစ် ၁၇၁၅ ခုနှစ်

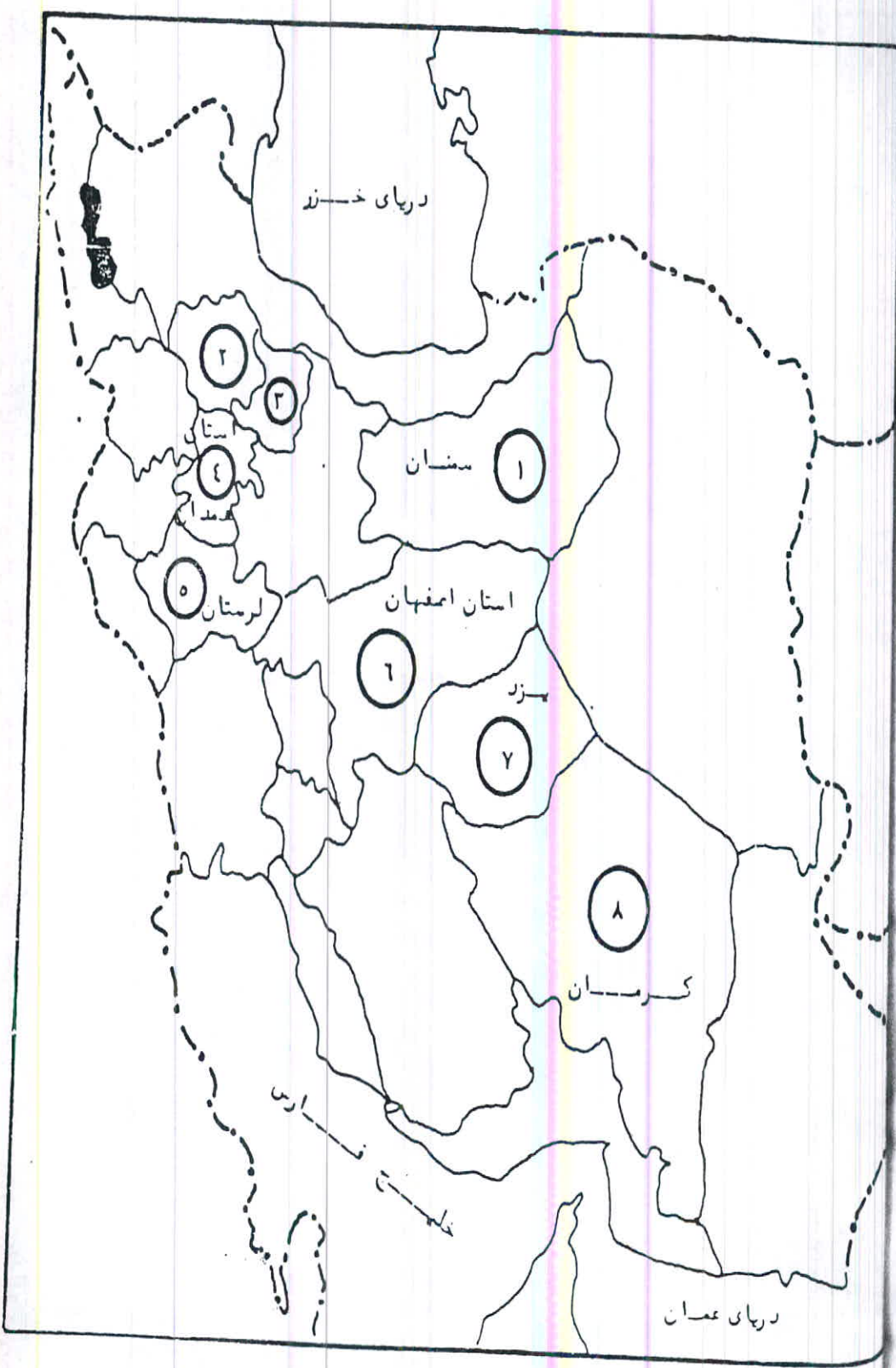
၁၄၄။ ၁၇၁၅ ခုနှစ် ၁၇၁၆ ခုနှစ် ၁၇၁၇ ခုနှစ် ၁၇၁၈ ခုနှစ် ၁၇၁၉ ခုနှစ်

၁၄၅။ ၁၇၁၉ ခုနှစ် ၁၇၂၀ ခုနှစ် ၁၇၂၁ ခုနှစ် ၁၇၂၂ ခုနှစ် ၁၇၂၃ ခုနှစ်

၁၄၆။ ၁၇၂၃ ခုနှစ် ၁၇၂၄ ခုနှစ် ၁၇၂၅ ခုနှစ် ၁၇၂၆ ခုနှစ် ၁၇၂၇ ခုနှစ်

- کانسارهای سیلیسی در پیوند با ماسه سنگ سیلیسی سازند دره زنجیر با سن کرتاسه

پایینی در استان یزد (نبیان و سجادی، ۱۳۵۹).



○ : مناطق بررسی شده

شکل ۱-۷ مناطق هشتگانه ذخایر سیلیس بررسی شده در ایران

ذخایر سیلیسی رسویی در محدوده شاهروд - سمنان - رودهن رامی توان در چهار افق

چینه شناسی به شرح ذیل تشخیص داد:

۱- افق کوارتزیت فوقانی مربوط به تشکیلات لالون.

۲- افق ماسه سنگی تشکیلات جیرود.

۳- افق کوارتزیت تشکیلات درود.

۴- بالاترین افق ماسه سنگی تشکیلات شمشک.

در پایان در جهت تکمیل مطالب فوق مختصرًا در جدول ۳-۷ ترکیب شیمیایی سیلیس

صرفی در صنایع مختلف کشور را ارائه می نماییم.

جدول ۳-۷ ترکیب شیمیایی سیلیس صرفی در صنایع مختلف کشور

Fe_2O_3	Al_2O_3	SiO_2	اکسید	نوع صرف
0.1 ± 0.01	1.6 ± 0.1	97 ± 0.3	شیشه جام	شیشه سازی
0.08 ± 0.01	2 ± 0.1	97 ± 0.3	شیشه مظروف	
0.03 ± 0.01	2 ± 0.1	> 98.5	بلور	
$0.08 - 1.6$	$0.5 - 1.35$	> 95.8	ماسه ریخته گری	
اهمیت ندارد	0.7	97	فروسیلیس	
< 0.1	< 0.1	98	سیلیکات سدیم	
0.08 ± 0.01	1.5 ± 0.1	97.5 ± 0.3	سرامیک	
$0.15 - 3$	$0.5 - 2.5$	92-98	دیرگذازه های سیلیسی	
$0.15 - 5$	$0.5 - 2.5$	70-98	آجرهای سیپورکس	
< 0.3	5	> 94	پشم شیشه	
$1.2 - 2.5$	5.5	84 - 90.5	سیمان	

فصل هشتم

پتانسیل های موجود در منطقه

۱-۸ مقدمه

به لحاظ زمین شناسی منطقه مورد مطالعه دارای تنوعی از واحدهای سنگی است که

می توان از آن جمله به آهکهای فسیل دار، شیل های سبز رنگ و ارغوانی، خاکهای سرخ

۲-۸ ماسه سنگهای سیلیسی

در منطقه مورد مطالعه واحدهای ماسه سنگهای سیلیسی از گسترش قابل ملاحظه ای

برخوردارند. این واحدها در منطقه غالباً به دو صورت مشاهده می شوند:

۱- ماسه سنگهای کوارتز آرناتی نیمه سخت عدسی و لایه ای شکل پرمن (؟).

۲- ماسه سنگها و کنگلومراهای قرمز سیلیس سخت لایه ای شکل سازند خوش بیلاق

(پرمن).

در مجموع هفت نمونه از این هر دو واحد سنگی برداشته شده است که نتایج آنالیز XRD

و XRF آنها در جدول ۱-۸ و ۲-۸ ارائه شده است.

جدول ۱-۸ نتایج آنالیز XRF واحدهای ماسه سنگ سیلیسی منطقه مورد مطالعه

شماره نمونه	نتایج XRF									
	SiO ₂	Al ₂ O ₃	TiO ₂	Fe ₂ O ₃	CaO	MgO	Na ₂ O	K ₂ O	SO ₃	LOI
Nak ₃	۹۲/۹	۲/۶	۰/۲۹	۰/۶۳	۰/۹۸	۰/۰۹	۰/۰۳	۰/۵۵	n.d	۱/۵
Nak ₅	۹۰/۵	۲/۶۷	۰/۲۱	۰/۴۲	۲/۶	۰/۱۲	۰/۳۸	۰/۶۲	n.d	۲/۸۹
Nak ₁₄	۹۶/۲	۱/۵۵	۰/۱۵	۰/۴۲	۰/۱۶	۰/۰۷	۰/۰۳	۰/۲۹	۰/۰۷	۰/۶۷
Nak ₁₅	۵۴	۸/۷۰	۰/۶	۴/۰۳	۱۱	۳/۶۹	۱/۵۴	۲/۳۵	n.d	۱۳/۸
Nak ₁₆	۸۷/۳	۱/۶۵	۰/۱۵	۰/۹۸	۴/۵	۰/۴۸	۰/۰۳	۰/۴۹	n.d	۴/۲۸
Nak ₂₂	۹۲	۳/۸۸	۰/۲۵	۰/۴۹	۰/۹	۰/۰۸	۰/۰۴	۱/۲۲	n.d	۰/۹۱
Nak ₂₆	۸۸/۷	۳/۹۲	۰/۲۷	۰/۷۱	۱/۴۸	۰/۱۴	۰/۰۴	۰/۸۶	۰/۷۹	۲/۸۲

جدول ۲-۸ نتایج آنالیز XRD واحدهای ماسه سنگ سیلیسی منطقه مورد مطالعه

شماره نمونه	[کانیهای فرعی] نتایج XRD
Nak ₃	Q , Cal , Hematite , [Dol , Clay]
Nak ₅	Q , Cal , Hematite , [F , Clay]
Nak ₁₄	Q , Cal , [Jarostie , F , Clay]
Nak ₁₅	Q , Dol , F , Cal , [Clay]
Nak ₁₆	Q , Dol , Cal , [Clay]
Nak ₂₂	Q , [Dol , Clay , F , Jarostie]
Nak ₂₆	Q , Cal , [F , Clay]

Q : کوارتز ، Cal : کلسیت ، Dol : دولومیت ، F : فلدسپات

مقدار ذخیره کل ماسه سنگهای سیلیسی منطقه ۱۷۰۲۰۰ تن (Ton) با عیار متوسط

۹۱/۱٪ برآورده است.

۳-۸ خاک سرخ

غالباً در زیر واحدها ماسه سنگ سفید رنگ کوارتز آرنایتی جاده خاکی بین نکارمن و

ابرج سرخ اغلب رخمنوهایی از خاک قرمز - قهوه ای رخمنون دارد که در برخی قسمتها احتمال

وجود شیل ارغوانی و یا خاک رسی (?) داده می شود. در تپه های غرب روستای نکارمن

گسترش قابل توجهی از باندهای قرمز - قهوه ای ملاحظه می گردد.

در مجموع هفت نمونه از کل افقهای خاک سرخ منطقه برداشته شده است که نتایج آنالیز

XRF و XRD آنها در جداول ۳-۸ و ۴-۸ ارائه شده اند.

جدول ۳-۸ آنالیز XRF نمونه های برداشت شده از خاکهای قرمز - قهوه ای منطقه مطالعه

شماره نمونه	نتایج XRF									
	SiO ₂	Al ₂ O ₃	TiO ₂	Fe ₂ O ₃	CaO	MgO	Na ₂ O	K ₂ O	SO ₃	LOI
Nak ₁	۴۵/۴	۱۱/۷	۰/۵۸	۴/۳۹	۱۶/۴	۰/۷۴	۰/۰۶	۳/۸۹	n.d	۱۵/۸
Nak ₄	۵۲/۳	۹/۱۰	۰/۴۴	۲/۶۲	۱۳/۵	۱/۴۸	۰/۵۶	۲/۹۵	۱/۲۷	۱۵/۴
Nak ₁₀	۵۵/۶	۱۲/۷	۰/۵۶	۳/۶۳	۲/۹	۸/۱۷	۰/۹۸	۴/۳۶	n.d	۱۰/۲
Nak ₁₉	۲/۲	۸/۰۴	۰/۲۳	۳/۸۷	۲۵/۸	۷/۳۲	۰/۱۸	۱/۶۹	۰/۰۳	۳۲/۱
Nak ₂₁	۵۵/۷	۱۸/۸	۱/۲۲	۹/۲۴	۲/۹	۰/۳۱	۰/۲۴	۱/۷۹	۰/۰۷	۹/۰۴
Nak ₂₅	۵۵/۷	۱۸/۶	۱/۷۲	۶/۹۱	۳/۴	۰/۴۳	۰/۲۴	۳/۰۲	۰/۰۳	۹/۶۷
Nak ₃₀	۳۲/۸	۱۴	۲	۱۰/۶	۱۴	۳/۷۷	۰/۱۲	۳/۴۷	۰/۰۶	۱۹

جدول ۴-۸ نتایج آنالیز XRD نمونه های خاک سرخ منطقه

شماره نمونه	[کانیهای فرعی] نتایج XRD
Nak ₁	Q , Cal , F , Hematite , Goetite , [Clay , Guypsum , Alunite]
Nak ₄	Q , Cal , Dol , F , Clay , Hematite
Nak ₁₀	Q , Dol , F , [Hematite , Clay , Cal]
Nak ₁₉	Dol , Q , Hematite , Cal , Clay
Nak ₂₁	Q , Kaolinite , Hematite , Cal , F , Jarosite , Illite
Nak ₂₅	Q , Kaolinite , Hematite , F , Dol , Selicite , Cal
Nak ₃₀	Dol , Hematite , Q , Hydromica

Q : کوارتز ، Cal : کلسیت ، Dol : دلوگیت ، F : فلدسبان

بر اساس اطلاعات نمونه های Nak₂₁ و Nak₂₅ مقدار کل ذخیره خاک سرخ (خاک

رس !؟) ۴۷۵۰۰ تن با عیار متوسط ۱۸/۷٪ آلومینا می باشد .

۴-۸ ولکانیکهای بازیک - حدود اس ط

ولکانیکهای سیلورین سلطان میدان بر روی رسوبات اردوبیسین از گسترش قابل

ملاحظه ای در منطقه برخوردار اند . سنگهای آتشفسانی مذکور در سطح هوازده و دارای درزه

شکستگی های متعدد می باشند . مطالعات پتروگرافی غالباً این سنگها را آندزیت و یک نمونه

با زالت معرفی می کند. نمونه Nak₁₇ از ولکانیکهای مذکور جهت مطالعات XRF و XRD برداشته شده است که نتیجه آنالیز مربوطه در جداول ۵-۸ و ۶-۸ ارائه شده است.

جدول ۵-۸ آنالیز XRF نمونه Nak₁₇ ولکانیکهای منطقه نکارمن - ابرسج

شماره نمونه	نتایج XRF									
	SiO ₂	Al ₂ O ₃	TiO ₂	Fe ₂ O ₃	CaO	MgO	Na ₂ O	K ₂ O	SO ₃	LOI
Nak ₁₇	۴۳/۹	۱۴/۵	۲۰	۵	۱/۳۲	۱/۳۲	۴/۷۸	۱/۹۴	n.d	۶/۳

جدول ۶-۸ نتیجه آنالیز XRD نمونه Nak₁₇

شماره نمونه	نتایج XRD [کانیهای فرعی]
Nak ₁₇	Hematite , F , Cal , Cllosite , Illite , [Q]

Q : کوارتز ، F : کلسیت ، Cal : فلدسپات

فصل نهم

نتیجه گیری و پیشنهادات

۱-۹ نتیجه گیری

بر اساس مطالعه در متن گزارش به طور خلاصه نتایج زیر را می توان ذکر نمود :

الف - هدف ما در این پژوهه بررسی خاک صنعتی است که تعریف آن شامل رسهای نسوز ، خاکهای رسی ، کائولینیت ، بوکسیت ، بتونیت ، تالک ، منزیت ، سیلیس ، و ... می شود . در منطقه مورد مطالعه بیشتر به بررسی ماسه سنگهای سیلیسی و خاکهای سرخ موجود خواهیم پراخت . اصولاً کاربری های متنوعی در خصوص ماسه سنگهای سیلیسی ذکر شده که از آن جمله می توان به صنایع شیشه سازی ، ماسه ریخته گری ، فروسیلیس ، دیر گدازه های سیلیسی ، سرامیک ، پشم شیشه ، سیمان ، آجرهای سیپورکس و سیلیکات سدیم اشاره کرد . خاکهای رسی نیز کاربری های متنوعی داشته که از آن جمله می توان به : صنایع سرامیک سازی ، کاغذ سازی ، تمیز کننده ، کشاورزی ، شیمیابی ، پلاستیک سازی و ... اشاره نمود .

ب- منطقه مورد مطالعه از اقلیم کوهستانی برخوردار است که سبب فعالیت کشاورزی در منطقه می‌گردد. بیشترین اشتغال ساکنین روستاهای اطراف در فصول خاصی به برداشت محصولات باگی اختصاص می‌باشد به گونه‌ای که امکان دسترسی به نیروهای کاری در این فاصله زمانی مشکل می‌نماید. علاوه بر فعالیتهای کشاورزی اشتغال در خصوص دامداری و دامپروری وجود دارد.

ج- منطقه مورد مطالعه بخشی از زون البرز شرقی است که جزء کمرنگ کوهزادی آلب- هیمالیا محسوب می‌گردد.

د- قدیمی ترین رسوبات موجود در منطقه مربوط به اردوبیسین (سازند میلا) می‌باشد که ممبرهای مختلف آن را معادل لشکرک و قلی معرفی می‌کنند. در حدفاصل سیلورین و دونیس زیرین عدم رسوبگذاری و فعالیتهای ولکانیکی گزارش شده که ولکانیکهای سلطان میدان با گسترش قابل ملاحظه در روی سازند اردوبیسین تأیید کننده این موضوع هستند. سازندهای خوش بیلاق، درود و روتله نیز در منطقه قابل ملاحظه‌اند.

ه- بر اساس بررسی‌های صحرایی انجام شده بر روی واریزه‌های خاک سرخ و ماسه سنگهای سیلیسی پیشنهاد حفر چهار ترانشه T_1 تا T_4 داده شده است که پس از حفر نمونه برداری‌های لازم از داخل ترانشه‌ها انجام و مقاطع مربوطه ترسیم گردیده است.

و- مطالعات پتروگرافی حاکی از وجود میکرو فاسیسهای آهکی، رخساره‌های تخریبی و آذر آواری اند و نتایج بررسی‌های پترولوزیکی و ژئوشیمیابی سنگهای آذرین حاکی از گسترش ولکانیکهای حد واسط تا بازیک در منطقه اند.

ز - در کل ۱۷ نمونه جهت مطالعات XRF و XRD از کلیه واحد های سنگی منطقه برداشته شده است و با توجه به اینکه دو واحد خاک سرخ و ماسه سنگهای سیلیسی در منطقه ملاحظه گردیده ، که نیاز به بررسی بیشتر داشته اند لذا داده های مربوطه را بطور مجزا با روشهای مختلف توصیف تجربی ، روش $\bar{X} + 2S$ و آنالیز فاکتوری مورد تجزیه و تحلیل ژئوشیمیایی قرار گرفته اند .

ح - توصیف تجربی نمونه های خاک سرخ حاکی از آن است که دو نمونه Nak_{21} و Nak_{25} در شباهت شیمیایی نزدیکی با رسها و تعداد زیادی از نمونه ها در شباهت شیمیایی با بنتونیت ها قرار می گیرند که نیاز به بررسی های بیشتر دارند . توصیف تجربی ، ماسه سنگهای سیلیسی منطقه را در چهار گروه بر اساس عیار ، ترکیب شیمیایی ، رنگ و سختی قرار می دهد .

ط - تجزیه و تحلیل خوش ای داده ای خاک سرخ اکسیدها را به سه خوش تفکیک می کند و حاکی از وجود رابطه پاراژنتیکی نزدیکی بین CaO با MgO ، Fe_2O_3 با Al_2O_3 و K_2O با Na_2O می باشد . همچنین تحلیل خوش ای ماسه سنگهای سیلیسی نشان می دهد که می توان اکسیدها را در چهار خوش جای داد و SiO_2 در خوش سوم قرار می گیرد .

ی - روش $\bar{X} + 2S$ در خاکهای سرخ آنومالی را تشخیص نمی دهد ولی در ماسه سنگها سیلیسی تمامی نمونه ها را آنومال معرفی می کند که بیشترین امتیاز تحلیل ویژگی در این ماسه سنگها به فاکتور سوم داده شده است .

ک - روش فاکتوری در نمونه های خاک سرخ سه فاکتور عمده را با عنوان کنترل کننده تعییرات معرفی می کند که آنومالترين نمونه ها به ترتیب Nak_1 ، Nak_{21} و Nak_{25} می باشند .

روش مذکور آنومالرین نمونه های مرتبط با ماسه سنگهای سیلیسی را به ترتیب Nak_{14} ، Nak_{22} معرفی می کند.

ل - برآورد ذخیره حاکی از وجود ۱۷۰۲۰۰ تن ماسه سنگ سیلیسی با عیار متوسط ۹۱/۱۷٪ و ۴۷۵۰۰ تن خاک سرخ با عیار متوسط ۱۸/۷٪ است. این ذخیره با توجه به دقت در کاتاگوری ذخایر زمین شناسی قرار می گیرد و احتمال حضور ذخایر دیگری از این نوع در خارج از محدوده با توجه به وضعیت گسله های متعدد داده می شود.

۲-۹ پیشنهادات

با توجه به اینکه در منطقه مورد مطالعه بحث اصلی بررسی ماسه سنگهای سیلیسی و خاک های سرخ معطوف می گردد پیشنهادات ذیل بر اساس بررسی های صحرایی و پردازش داده ها ارائه می گردد:

الف - به دلیل وضعیت تکتونیکی پیچیده منطقه امکان تکرار شدگی واحدهای معدنی در خارج از محدوده نیز وجود دارد لذا نیاز به مطالعات بیشتر جهت تعیین گسترش ماده معدنی در منطقه می باشد.

ب - در خصوص بررسی واحدهای ماسه سنگ سیلیسی بررسی تغییرات اکسیدهای SiO_2 ، MnO_2 ، TiO_2 ، Cr_2O_3 ، Al_2O_3 ، FeO ، Fe_2O_3 ، از اهمیت زیادی برخوردار است. لذا نیاز به نمونه برداری با فواصل کوچکتر جهت رسیدن به این هدف می باشد.

ج - با توجه به اینکه باندهای خاک سرخ در تپه های غرب روستای نکارمن که خارج از محدوده مورد مطالعه می باشند، گستردنگی قابل ملاحظه ای دارند و در این قسمت در حد امکانات طرح نمونه برداری انجام گرفته ولی با توجه به امکان تغییرات خواص شیمیایی و ویژگیهای نیمه صنعتی این واحدها در فواصل کم نمونه برداری و نیاز به تعیین دقیق این تغییرات لذا بررسی این بخشها می توانند در نتیجه گیری نهایی کمک مؤثری نمایند.

پیوست یک

گزارش زمین شناسی و نگارنیک نقشه منطقه

مقدمه

منطقه مورد مطالعه بخشی از زون البرز محسوب می‌شود که در شمال غرب شهرستان شاهroud و حدفاصل روستای نکارمن و ابرسج بین طولهای جغرافیایی $50^{\circ} 55/5'$ ، 54° و $54^{\circ} 55/5'$ و عرضهای جغرافیایی $32^{\circ} 36^{\prime \prime}$ ، $36^{\circ} 37^{\prime \prime}$ و $36^{\circ} 36^{\prime \prime}$ واقع شده است که میانگین ارتفاع ۲۰۵۰ متر می‌باشد.

گزارش نقشه زمین‌شناسی منطقه

قدیمی ترین واحد سنگی موجود در منطقه را رسوبات اردوبیسین تشکیل می‌دهند که شامل رخساره‌های آهکی (آهک و دولومیت‌های ممبر 4 سازند میلا، O_{M_4} - معادل لشکرک)

، تخریبی (ماسه سنگهای کوارتز آرنایتی ممبر ۵ میلا ، Q_K - معادل قلی) و آذرآواری و آذرین (ولکانیک آرنایت) می باشد . حضور رخساره های آهکی معرف محیط کربناته دریایی باز با نزخ رسوبگذاری زیاد و فرو نشینی بسیار زیاد است . وجود رخساره های آذرآواری و آذرین احتمالاً آغاز ریفت قاره ای در ناحیه هستند که با فورانهای بازالتی دریای همراه بوده است . فسیل کروزیانا و ایگنوفسیل ها پالئو دیکتیون ، پالئوفیکوس و پلانولیتس شواهد سنی و محیطی رسوبات مذکورند . کاملترین رخمنون رسوبات اردوبیسین در دره آب استاش واقع در بالای مزرعه کلاته مشاهده می شود .

حرکات خشکی زایی کالدونین در اوخر اردوبیسین منطقه البرز را از آب خارج نموده است و به این دلیل رسوبات متعلق به سیلورین و دونین زیرین در منطقه مشاهده نمی شوند . لذا سنگهای ولکانیک آندزیت تا بازالت پورفیری سلطان میدان (S_n) به سن سیلورین برروی رسوبات اردوبیسین قرار خواهند گرفت .

رسوبات کنگلومرا ، ماسه سنگ ، شیل و آهک حاوی فسیل های براکیو پود ها ، مرجانها ، تنتاکولیتس ، بریزووئر و تریلوپیت برروی سلطان میدان واقع می شوند . فسیل های مذکور حاکی از فاصله سنی دونین میانی (?) - بالایی رسوبات مذکورند که مربوط به سازند خوش بیلاق می باشند . کاملترین رخمنون این رسوبات در دره ابرسج مشاهده می شود . لازم به یادآوری است که سازند خوش بیلاق در پروفیل پیماش شده شامل چهار ممبر است ولی از آنجائیکه برروی نقشه امکان تفکیک دقیق آنها وجود ندارد ، لذا در نقشه زمین‌شناسی ۲۰۰۰ : ۱ منطقه ، چهار ممبر به صورت دو ممبر D_{kh1} و D_{kh2} مشخص شده است .

در شمال نکارمن بطور محلی رخمنوهایی از آهکهای میکراتی خاکستری بالایه بنده منظم حاوی فسیل فستلا (از خانواده بریوزوئر) و پردوکتید (از خانواده برآکپود) ملاحظه می شود که نشانگر رسوبات کربونیفر زیرین (سازند مبارک) اند. کنگلومرا، شیل، ماسه سنگ قرمز، آهک ماسه ای و آهک حاوی میکرو فسیل های شاخص پرمین (شووازین و آهکهای انکوئیدی) برروی این رسوبات قرار گرفته اند که معرف سازند درود (P_d) می توانند باشند. رخمنون این سازند را می توان در غرب روستای نکارمن ملاحظه کرد. در ادامه آهکهای زیست تخریبی و استروماتولیتی خاکستری رنگ سازند روته (P_r) قرار دارند.

در شرق روستای نکارمن توالی از رسوبات پرمین وجود دارد که شدیداً به هم ریخته اند. با توجه به لیتوژوژی و مطالعه مقاطع نازک امکان جود سازند درود و روته داده می شود. نقشه ۲۵۰۰۰۱: گرگان در قاعده این توالی بخشی را عنوان نسن (P_n ؟) در نظر گرفته است. در برداشتهای صحرایی فسیل خاصی که نشانگر این سازند باشد مشاهده نشده است. لذا با استناد به منبع مذکور این بخش را به عنوان نسن در نظر گرفته ایم.

در شرق روستای ابرسچ (نزدیک بابا عبدال...) رخمنوهای دو ممبر سازند الیکا قابل ملاحظه است که به دلیل واقع شدن در خارج از نقشه از توضیح آنها صرفنظر می شود.

رسوبات کواترنر (Q_4) شامل مخروط افکنه های قدیمی و جدیدتر و پادگانه یا تراسهای آبرفتی ضخیم می باشند.

گزارش تکتونیک نقشه

ساختارهای ثانویه از قبیل چین، گسل، درزه و ناپیوستگی به فراوانی در منطقه قابل ملاحظه اند که این موضوع از ویژگیهای ساختمانی زون البرز می باشد. چین خورده‌گی دره آب استاش، دسته درزه های نا منظم سنگهای آتشفسانی سلطان میدان، درزه های متقطع رسوبات سازند خوش بیلاق، گسله های تراستی شرق ابرسج که خوش بیلاق و سلطان میدان را در مجاورت سازند الیکا قرار داده، کنتاکت گسله بین خوش بیلاق و رسوبات اردوبیسین در شمال شرق و جنوب غرب ابرسج و راندگی رسوبات پرمین به زیر رسوبات اردوبیسین در شمال روستای نکارمن، همگی شواهد وجود محیطی نا آرام در این منطقه بوده و هستند.

!

پیوست دو

نتایج آنالیز XRD و XRF نمونه ها

نتایج آنالیز XRD و XRF نمونه های برداشته شده از مناطق مختلف در جداول (پ-۲-۱) و (پ-۲-۲) آورده شده اند.

جدول پ-۲-۱ نتایج آنالیز XRD کلیه نمونه های برداشته شده از منطقه

شماره نمونه	[کانیهای فرعی] نتایج XRD
Nak ₁	Q , Cal , F , Hematite , Goethite , [Clay , Gypsum , Dol]
Nak ₃	Q , Cal , Hematite , [Dol , Clay]
Nak ₄	Q , Cal , Dol , F , Clay , Hematite
Nak ₅	Q , Cal , Hematite , [F , Clay]
Nak ₆	F , Pyr , Hematite , Clay , Cal , Dol
Nak ₇	F , Cal , Hematite , Q , Goethite , Clay
Nak ₁₀	Q , Dol , F , [Hematite , Clay , Cal]
Nak ₁₄	Q , Cal [Jarosite , F , Clay]
Nak ₁₅	Q , Dol , F , Cal , [Clay]
Nak ₁₆	Q , Dol , Cal , [Clay]
Nak ₁₇	Hematite , F , Cal , Cllosite , Illite , [Q]
Nak ₁₉	Dol , Q , Hematite , Cal , Clay
Nak ₂₁	Q , Kaolinite , Hematite , Cal , F , Jarosite , Illite
Nak ₂₂	Q , [Dol , Clay , F , Jarosite]
Nak ₂₅	Q , Kaolinite , Hematite , F , Dol , Sericite , Cal
Nak ₂₆	Q , Cal , [F , Clay]
Nak ₃₀	Dol , Hematite , Q , Hydromica

Q : کوارتز ، Cal : کلسیت ، Dol : دلوامیت ، F : فلدسپات ، Pyr : پروکسن

جدول پ-۲-نتایج آنالیز XRF کلیه نمونه های برداشته شده از منطقه

شماره نمونه	نتایج XRF										LOI
	SiO ₂	Al ₂ O ₃	TiO ₂	Fe ₂ O ₃	CaO	MgO	Na ₂ O	K ₂ O	SO ₃		
Nak ₁	۴۵/۴	۱۱/۷	۰/۰۸	۴/۱۹	۱۶/۴	۰/۷۴	۰/۰۶	۳/۸۹	n.d	۱۵/۱	
Nak ₃	۹۲/۹	۲/۶	۰/۲۹	۰/۶۳	۰/۹۸	۰/۰۹	۰/۰۳	۰/۰۵	n.d	۱/۵	
Nak ₄	۵۲/۳	۹/۱۰	۰/۴۴	۲/۶۲	۱۳/۵	۱/۴۸	۰/۰۶	۲/۹۵	۱/۲۷	۱۵/۴	
Nak ₅	۹۰/۵	۲/۶۷	۰/۲۱	۰/۴۲	۲/۶	۰/۱۲	۰/۳۸	۰/۸۲	n.d	۲/۸۹	
Nak ₆	۴۹/۹	۱۴/۸	۱/۹۱	۹/۲۴	۱۲/۴	۳/۱	۴/۱۶	۰/۱۵	n.d	۳/۶	
Nak ₇	۵۰/۴	۱۵/۲	۱/۹۳	۹/۹۳	۸/۶۲	۱/۳۲	۶/۰۴	۰/۱۶	n.d	۵/۶۴	
Nak ₁₀	۵۵/۶	۱۲/۷	۰/۰۶	۳/۶۳	۲/۹	۸/۱۷	۰/۹۸	۴/۳۶	n.d	۱۰/۲	
Nak ₁₄	۹۶/۲	۱/۰۰	۰/۱۰	۰/۴۲	۰/۱۶	۰/۰۷	۰/۰۳	۰/۲۹	۰/۰۷	۰/۵۷	
Nak ₁₅	۵۴	۸/۷۰	۰/۶	۴/۰۳	۱۱	۳/۶۹	۱/۰۸	۲/۳۵	n.d	۱۳/۸	
Nak ₁₆	۸۷/۳	۱/۶۵	۰/۱۰	۰/۹۸	۴/۰	۰/۴۸	۰/۰۳	۰/۴۹	n.d	۴/۲۸	
Nak ₁₇	۴۳/۹	۱۴/۰	۱/۹۴	۲۰	۰	۱/۳۲	۴/۷۸	۱/۳۲	n.d	۶/۳۰	
Nak ₁₉	۲۰/۲	۸/۰۴	۰/۱۳	۳/۸۷	۲۵/۸	۷/۳۲	۰/۱۸	۱/۸۹	۰/۰۳	۳۲/۱	
Nak ₂₁	۵۵/۷	۱۸/۸	۱/۳۲	۹/۲۴	۲/۹	۰/۳۱	۰/۲۴	۱/۷۹	۰/۰۷	۹/۰۵	
Nak ₂₂	۹۲	۳/۸۸	۰/۲۵	۰/۴۹	۰/۹	۰/۰۸	۰/۰۴	۱/۲۲	n.d	۰/۹۱	
Nak ₂₅	۵۵/۷	۱۸/۶	۱/۷۲	۶/۹۱	۳/۴	۰/۴۳	۰/۲۴	۳/۰۲	۰/۰۳	۹/۶۷	
Nak ₂₆	۸۸/۷	۳/۹۲	۰/۲۷	۰/۷۱	۱/۴۸	۰/۱۴	۰/۰۴	۰/۸۶	۰/۷۹	۲/۸۲	
Nak ₃₀	۳۲/۸	۱۴	۲	۱۰/۶	۱۴	۳/۷۷	۰/۱۲	۳/۴۷	۰/۰۶	۱۹	

منابع و مراجع

الف / فارسی

- ۱- آمار نامه استان سمنان
- ۲- فرهنگ و جغرافیای روستاهای کشور - ۹- شهرستان شاهروود ، سال ۱۳۷۲ ، ناشر :
- سازمان نقشه برداری کشور - مؤلف : مدیریت کارتوگرافی - قسمت بازنگری نقشه و گرد اوری اطلاعات جغرافیایی .
- ۳- زمین شناسی ایران - دکتر درویش زاده - انتشارات نشر دانش امروز (وابسته به انتشارات امیر کبیر) - ۱۳۷۱ .
- ۴- چینه شناسی ایران - دکتر خسرو تهرانی - انتشارات دانشگاه تهران - ۱۳۹۷ .
- ۵- گزارش زمین شناسی منطقه ابر سچ - تابستان ۱۳۷۸ - دانشگاه آزاد - علی اکبر ایراجیان ، محسن ذیانی نژاد ، سید جواد میر حسینی .
- ۶- کلیاتی درباره چینه شناسی ایران و مقاطع تیپ تشکیلات - خسرو تهرانی (۱۳۶۷) - انتشارات دانشگاه تهران ، شماره ۱۹۷۷ .
- ۷- زمین شناسی ایران (پالئوزوئیک ایران) - منصور علوی نائینی ، طرح تدوین کتاب ، ۱۳۷۲ .
- ۸- میکرو فاسیس و محیط رسویی سازند قلی د رکوههای سالوک ، شاهوار و جنوب غرب بجنورد و شمال شاهروド - م . برگریزان ، پایان نامه دکتری دانشگاه آزاد اسلامی .

- ۹- سنگ شناسی محیط های رسویی و توالی سنگهای پرمین در ناحیه البرز ، شمال ایران .
ح . مختارپور ، پایان نامه دکتری دانشگاه آزاد اسلامی .
- ۱۰- مآگماها و سنگهای مآگمایی مبانی پترولوزی آذربین - ترجمه دکتر درویش زاده و عباس آسیابانها - ۱۳۷۰ .
- ۱۱- پترولوزی سنگهای آذربین و کانسارهای مآگمایی - دکتر محمد حسن کریم پور - نشر مشهد - ۱۳۷۷ .
- ۱۲- زمین شناسی ایران - کائولن و رسهای نسوز - منصور قربانی ، کاوه ارزانی - گزارش ۱۶ - سازمان زمین شناسی کشور - معاونت طرح و برنامه ، طرح تدوین کتاب .
- ۱۳- کانیها و سنگهای صنعتی - دکتر محمد حسن کریم پور - دانشگاه فردوسی مشهد - ۱۳۷۸ .
- ۱۴- ذخایر بوکسیت کارستی (با بستر کربناته) - محمد شهریاری - جهاد دانشگاهی دانشکده فنی دانشگاه تهران - بهار ۱۳۶۵ .
- ۱۵- زمین شناسی ایران - سیلیس - منصور قربانی - گزارش شماره ۱۷ - سازمان زمین شناسی کشور - طرح تدوین کتاب - سال ۱۳۷۳ .
- ۱۶- بررسی و مطالعه سیلیس ناحیه سمنان (منطقه چاشم ، هیرد و لارستان) - ناصر عابدیان - سازمان زمین شناسی کشور ، تهران ۱۳۶۴ .
- ۱۷- ارزیابی ذخیره و مطالعات فنی - اقتصادی سیلیس کیسه جین - پایان نامه کارشناسی ارشد - محسن عبدالغفوریان - دانشگاه تهران - دانشکده فنی .

-۱۸- گزارش پی جویی و شناسایی ذخایر سیلیس البرز مرکزی - استان مازندران -

. ۱۳۶۷

ب/لاتین

- 1- Toward a Paleogeography and tectonic evolution of Iran , Geol . Surv . Iran , Rep . NO . 55 , 1981 , Berberian , M . and King . G .c . p .
- 2- Etude geologique de la region de Djam , Geological survey of Iran , Rep NO . 23 , 1972 , M.A.Naini .
- 3- Classification of carbonate rocks according to depositional Texture , A m . Assoc . Petrol . Geol . Mem . 1 , 1962 , Dunham R . J .
- 4- Classification of carbonate rocks according to depositional Texture , A m . Assoc . Petrol . Geol . Mem . 1 , 1962 , Folk , R . L .